



๒๕

เครื่องกำเนิดออกซอนโดยพลาสม่าที่ความดันบรรยายกาศ

Atmospheric Pressure Plasma Ozonizer d/100

๑๐ ธรรมนรรชัย เทพนาวุฒิ

Thawatchai Tepnuan

วิทยานิพนธ์วิทยาศาสตรมหาบัณฑิต สาขาวิชาฟิสิกส์

๑๐ มหาวิทยาลัยสงขลานครินทร์ ๖๗๐๐๐ หาดใหญ่ สงขลา

Master of Science Thesis in Physics

Prince of Songkla University

2542

Order Key	19621
BIB Key	196196

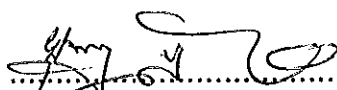
๑

เลขที่ฯ	TD461	ปี	๒๕๖
เลขหน้าปก	2542		
วันที่ฯ	๕.๑.๒๕๖	๒๕๔๒	

R.2 (1)

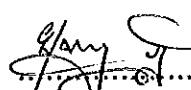
ชื่อวิทยานิพนธ์ เครื่องกำเนิดไฟโซนโดยพลารามาที่ความดันบรรยายกาศ  
ผู้เขียน นายรัตน์ชัย เทพนาด  
สาขาวิชา ฟิสิกส์

คณะกรรมการที่ปรึกษา

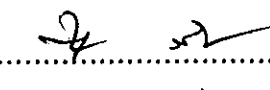
.....ประธานกรรมการ  
(ผู้ช่วยศาสตราจารย์ บุญเรือง ภูริสวัสดิ์กุล)

.....กรรมการ  
(รองศาสตราจารย์ ดร.ชัยวิทย์ ศิริวัชนาไนย)

คณะกรรมการสอบ

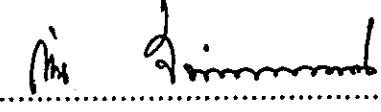
.....ประธานกรรมการ  
(ผู้ช่วยศาสตราจารย์ บุญเรือง ภูริสวัสดิ์กุล)

.....กรรมการ  
(รองศาสตราจารย์ ดร.ชัยวิทย์ ศิริวัชนาไนย)

.....กรรมการ  
(ผู้ช่วยศาสตราจารย์ ดร.พิกุล วนิชากิจชาติ)

.....กรรมการ  
(ผู้ช่วยศาสตราจารย์ ชาคริต ทองยại)

๖ บันทึกวิทยาลัย  มหาวิทยาลัยสงขลานครินทร์ อนุมัติให้นับวิทยานิพนธ์ฉบับนี้เป็นส่วน  
หนึ่งของการศึกษา ตามหลักสูตรวิทยาศาสตรบัณฑิต สาขาวิชาฟิสิกส์ X ด้วย<sup>ให้คะแนน</sup>

.....  
(รองศาสตราจารย์ ดร.กานัน จันทร์พรหมนา)

คณบดีบันทึกวิทยาลัย

ชื่อวิทยานิพนธ์	เครื่องกำเนิดโอลูโซนโดยพลาสม่าที่ความดันบรรยายกาศ
ผู้เขียน	นายรัตน์ชัย เทพนาล
สาขาวิชา	ฟิสิกส์
ปีการศึกษา	2541

### บทคัดย่อ

การศึกษาออกแบบ และสร้างเครื่องกำเนิดโอลูโซนที่มีดิสชาร์จแบบไไซเรนท์ จัดเป็น พลาสม่าแบบไม่สมดุล ถึงแม้ว่าจะมีวิธีอื่น ที่สามารถผลิตโอลูโซนได้ เช่น กัน แต่วิธีการดิสชาร์จแบบ นี้มีข้อดีที่เหนือกว่าวิธีการอื่นๆ ซึ่งสามารถผลิตโอลูโซนได้ในปริมาณที่มากกว่าในการใช้พังงานที่ เท่ากัน และวิธีการผลิตโอลูโซนแบบนี้ยังเป็นรูปแบบเบื้องต้นที่สามารถพัฒนาใช้ในเชิงพาณิชย์ และ อุตสาหกรรมได้อีกด้วย ดังนั้นจึงมีความจำเป็นต้องใช้การดิสชาร์จแบบไไซเรนท์ เพื่อช่วยในการ ศึกษาประการถูกการณ์ทางกายภาพที่มีผลกระทบต่อการผลิตโอลูโซนของเครื่องกำเนิดโอลูโซนแบบนี้ และสามารถนำผลผลิตที่ได้ไปประยุกต์ใช้ โดยทั่วไปในท้องตลาดเครื่องกำเนิดโอลูโซนไม่ว่าจะ กำเนิดด้วยวิธีใดจะมีราคาสูง และเป็นความลับในเชิงพาณิชย์ งานวิจัยนี้จึงจำเป็นได้ทุกผลงานออกแบบและสร้างเครื่องกำเนิดโอลูโซนที่อาศัยเทคนิคดิสชาร์จแบบไไซเรนท์ขึ้นมา เมื่อจากเป็นเทคนิค นี้ทำงานที่ความดันบรรยายกาศจริงทำให้มีความผุ้ย่างกันของกาววิธีอื่น และให้ผลผลิตที่ใกล้เคียงหรือดี กว่าวิธีอื่น

จากการศึกษาออกแบบและสร้างเครื่องกำเนิดโอลูโซนที่อาศัยเทคนิคดิสชาร์จแบบ ไไซเรนท์ ประกอบไปด้วย 3 ส่วน คือ 1) แหล่งจ่ายไฟฟ้าแรงสูงกระแสเดียว ความถี่ 50 Hz 2) การ เครื่งมอเตอร์แห้งสำหรับใช้ในการผลิตโอลูโซน และ 3) เหล็กโอลูโซนเซอร์ เมื่อทดสอบแล้ว พบว่า เครื่องกำเนิดโอลูโซนทำงานได้อย่างเหมาะสม ที่ สนามไฟฟ้า  $3.22 \times 10^3 \text{ kV/m}$  (ศักยไฟฟ้า 7.90 KV) อัตราการไหลของอากาศ  $1.42 \text{ l/min}$  อัตราผลผลิตโอลูโซนที่ได้อยู่ระหว่าง  $18 - 30 \text{ mgO}_3/\text{h}$  ที่ สถาบันนี้เมื่อเปลี่ยนแปลงพารามิเตอร์ต่างๆ ทางกายภาพแล้ว พบว่า ศักยไฟฟ้าแรงสูงกระแสเดียว ที่เพิ่มขึ้นทำให้ผลผลิตโอลูโซนเพิ่มขึ้นเป็นพหุกัณฑ์ของอิเล็กซ์โซนีต์ แต่เมื่อตัดต่อ จุดความชื้นในการเครื่มอากาศ ให้ผลผลิตโอลูโซนเพิ่มขึ้นจนถึงระดับหนึ่ง แล้วผลผลิตโอลูโซนที่ได้จะลดลง เมื่อใช้สาร ดูดความชื้นในการเครื่มอากาศ ให้ผลผลิตโอลูโซนมากกว่าไม่ใช้สารดูดความชื้น ตั้งแต่ 2 – 7 เท่า นอกจากนี้แล้วสัดส่วนที่ใช้ทำข้าวอิเล็กตรอยภัยในยังมีผลต่อการผลิตโอลูโซนด้วย พบว่า ควรทองแดง จะให้ผลผลิตโอลูโซนมากกว่าอุณหภูมิเมืองบาง ประมาณ 11.5 % และจากการนำผลผลิตโอลูโซนที่

สภาวะที่เหมาะสมไปประยุกต์ใช้ในการบำบัดน้ำดินผ่านการกรอง น้ำเสีย และน้ำทิ้ง ปริมาณของน้ำทิ้งหมคที่ใช้ 250 มิลลิลิตร พบว่า ถ้าใช้ไอลูโซนใช้เวลาในการผ่านน้ำ 0.5 นาที ที่สามารถฆ่าเชื้อแบคทีเรียชนิดต่างๆ ที่ปริมาณเชื่อ  $10^3$  CFU/ml ได้ 100 % ซึ่งเป็นไปตามที่บ่งชี้ในมาตรฐานของน้ำดื่ม สำหรับน้ำดินผ่านการกรอง และใช้เวลา 3 นาที ในน้ำทิ้งซึ่งทำให้ปราศจากเชื้อแบคทีเรียชนิด Vibrio sp. ที่ระดับ 500 CFU/ml ได้ 100 % ซึ่งเชื่อตัวนี้เป็นชนิดที่ทำให้เกิดโรคในทุกๆ อดีต และยังปรับสภาพของน้ำทิ้งให้คลีนด้วย สำหรับน้ำเสียจะต้องใช้เวลา 10 นาที ในการทำให้ปราศจากเชื้อแบคทีเรียได้ 100% ที่ระดับเชื่อ  $2 \times 10^4$  CFU/ml

ดังนั้นจึงมีความเป็นการสมเหตุสมผลที่จะนำไอลูโซนที่ได้จากการผลิตด้วยเทคโนโลยีสารบัญแบบใช้เดนท์ไปประยุกต์ใช้ให้เกิดประโยชน์ทั้งในห้องถีน และอุตสาหกรรมต่างๆ แต่ทั้งนี้ต้องมีการออกแบบและพัฒนาต่อไปเนื่องจาก เครื่องกำเนิดไอลูโซนนี้เป็นเพียงการทดลองในห้องปฏิบัติการเท่านั้น

Thesis Title                    Atmospheric pressure plasma ozonizer  
Author                         Mr. Thawatchai Tepnuan  
Major Program                 Physics  
Academic Year                1998

### Abstract

Plasma ozonizer generated by silent discharge has been designed and contructed. The silent discharge is a form of non equilibrium plasma. This method is superier than the commercial technic in generation of ozone given equal energy input. Most commercial units have classified information and even more expensive in price.

The contructed plasma ozonizer comprises of three components, namely (1) 50 Hz AC powersupply (2) preparation of dry air (3) ozonizer cell. It is found that the optimum working condition are electric field  $3.22 \times 10^3$  kV/m (at 7.90 kV) and flow rate 1.42 l/min. Ozone production rate is 18 – 30 mgO<sub>3</sub>/h. By varying various parameter, the increase with gas flow rate and then drop away. The ozone production with dry air is 2- 7 fold higher than normal air. The ozone production of electrode with wire copper higher than thin aluminium is 11.50%. In applying ozone in filtered water ; wastewater and shrimp farm water; It is found that all bacteria and exterminated within 3 minutes. Vibrio. sp. bacteria in shrimp water farm can also be killed 3 minutes.

Further study is needed in apply the silent discharge ozoniser in industrial works.

## กิตติกรรมประกาศ

รายงานวิทยานิพนธ์ฉบับนี้ สำเร็จลงได้ด้วยความกรุณาจากหลายบุคคล และหน่วยงาน จึงขอขอบพระคุณไว้ ณ ที่นี่ ดังมีรายนามต่อไปนี้

- ผศ.ดร. ภูริษา พิชัยกุล รับเป็นอาจารย์ที่ปรึกษาให้คำแนะนำในงานวิจัย ถ่ายทอดวิชาการ
- รศ.ดร. ชัยวิทย์ ศิลารชนาไนย ให้คำชี้แนะแนวทางในการทำวิทยานิพนธ์ และให้คำแนะนำที่เป็นประโยชน์
- ครุฑานาญก์ ธรรมรงค์ สุวรรณ์อมณี ให้คำแนะนำเกี่ยวกับความรู้เรื่องไฟฟ้า
- ครุวีระ ไทยสหาน และพี่ๆ ห้องปฏิบัติการ workshop ที่ให้การอบรมฟื้นสอนในการทำงานที่เกี่ยวกับงานช่าง
- ภาควิชาศึกษาฯ ไฟฟ้า ที่ให้ความอนุเคราะห์เครื่องมือวัดไฟฟ้าแรงดันสูง และเจ้าหน้าที่ห้องปฏิบัติการไฟฟ้าของวิศวกรรมไฟฟ้าให้ความสำคัญในการใช้งาน
- ภาควิชาจุลชีวิทยา ให้ความอนุเคราะห์ในการฝึกหัดข้ามสาขาในการวิเคราะห์ตรวจเชื้อแบตเตอรี่เบซนิดเพ่างๆ ในน้ำ และ รศ. วิลาวัณย์ เทรพิญะยะกระฤกุล ที่ให้คำแนะนำแนวทางในการบำบัดน้ำ และการตรวจสอบวิเคราะห์เชื้อ
- ภาควิชาชีวเคมี ที่ให้ความอนุเคราะห์ในการใช้อุปกรณ์ UV-spectrometer และพี่ๆ ห้องปฏิบัติการชีวเคมีชั้น 5 NML ที่อำนวยความสะดวก
- โรงพยาบาลสัตว์สุราษฎร์ธานี ของ คุณลักษณ์ สุขเยี่ยค ที่ให้ความอนุเคราะห์ทางด้านแหล่งน้ำในการศึกษา และข้อมูลในการทำน้ำดื่มในทางพานิชย์
- หน่วยการประปา ของมหาวิทยาลัยสงขลานครินทร์ วิทยาเขตหาดใหญ่ ที่ให้ความอนุเคราะห์ทางด้านข้อมูลความรู้ในการทำน้ำประปา และน้ำที่นำมาทดลองวิจัย
- คณะบัณฑิตวิทยาลัย มหาวิทยาลัยสงขลานครินทร์ ที่สนับสนุนทุนอุดหนุนการวิจัย

สุดท้ายนี้ ผู้เขียนขอขอบพระคุณ คุณบิດามารดา และญาติ พี่น้อง เพื่อนๆ ห้องLOGY ที่ให้ความช่วยเหลือ กำลังใจ เป็นห่วงเป็นใย มาตลอด

ธนพนธ์ชัย เทพนาวลด

(6)

## สารบัญ

	หน้า
บทคัดย่อ.....	(3)
Abstract .....	(5)
กิตติกรรมประกาศ .....	(6)
สารบัญ .....	(7)
รายการภาพประกอบ .....	(9)
<b>บทที่</b>	
1    บทนำ.....	1
บทนำต้นเรื่อง .....	1
การตรวจสอบสาร .....	3
วัตถุประสงค์ .....	15
2    ทฤษฎี .....	16
– ทฤษฎีการคิดสร้างแบบไฮเดนท์ .....	16
– การสร้างไฮโซน .....	17
– การเกิดขึ้นของในโครงคิดสร้าง และ การเมรคความท่างไฟฟ้า.....	23
3    วัสดุและวิธีการวิจัย .....	25
– วัสดุ .....	25
– อุปกรณ์ .....	26
– วิธีดำเนินการ .....	31
– หลักการออกแบบ และสร้างระบบการดำเนินติดไฮโซน ที่ความดันบรรยายกาศซึ่งเซลล์ไฮโซนเชื่อมต่อเป็นคิดก็จะไฟแรงท์	31
– พารามิเตอร์ต่างๆ ที่มีผลต่อการผลิตกําชีวิตไฮโซนของ เซลล์ไฮโซนเชื่อมต่อ .....	41
– การประยุกต์ใช้กําชีวิตไฮโซนที่ผลิตได้กับการผ่าเขื้อแบบที่เรียบใน น้ำคืนผ่านการกรอง น้ำทิ้ง และน้ำนาครุ่ง .....	49
4    ผลและการอภิปรายผล .....	58

5	บทสรุป .....	86
	– วิเคราะห์ .....	86
	– สรุป .....	92
	– ข้อเสนอแนะ .....	94
	บรรณานุกรม .....	96
	ภาคผนวก .....	104
	ประวัติผู้เขียน .....	124

## รายการภาพประกอบ

ภาพประกอบ	หน้า
1 ภาคตัดขวางของหลอดไอโซในเซอร์	12
2 ไอโซในเซอร์ที่มีคิสชาร์จแบบใช้เรนท์	13
3 ไอลอยด์แกรมของไอโซในเซอร์ที่ขึ้นอิเล็กโทรดต่างๆ กัน	13
4 ไอโซในเซอร์ที่ไม่มีไอลอยด์อิเล็กตริกอยู่ระหว่างชั้วไฟฟ้า	14
5 ภาคตัดขวางตามยาวของไอโซในเซอร์แบบเซรามิกส์	14
6 แผนภูมิอธิบายความสัมพันธ์ของการคิสชาร์จทางพิสิกส์ และพลาสม่าเคมี ในการคิสชาร์จแบบใช้เรนท์	18
7 ไอลอยด์แกรมผลลัพธ์งานศักย์ของออกซิเจน	21
8 กลุ่มนุภาคทางเคมีที่เกิดขึ้นโดยไม่ได้รับการคิสชาร์จในอากาศ	21
9 ลักษณะโครงสร้างของไม่ได้รับการคิสชาร์จภายในช่องว่างอากาศ	24
10 ลักษณะของไอโซในเซอร์เซลล์ที่ยาศักย์เทคนิคคิสชาร์จแบบใช้เรนท์	24
11 ตัวสูบอากาศแบบไม่ใช้น้ำมัน	27
12 ลักษณะของตัวถ่านหานที่ใช้ในงานวิจัย	27
13 ชุดกระป๋องเปียกและแห้ง สำหรับวัดความชื้นสัมพัทธ์ของอากาศ สิ่งแวดล้อม ที่ใช้ในงานวิจัย	28
14 เครื่อง UV-Visible spectrophotometer ที่ใช้ในงานวิจัย	29
15 ลักษณะของ Midget Impinger ขนาด 125 และ 250 ml ที่ใช้เป็น ส่วนสัมผัสระหว่างกําชา และสารละลาย ในการวิจัย	30
16 เครื่องมือวัดอุณหภูมิที่ผิววัสดุ	30
17 ภาพถ่ายส่วนประกอบของเซลล์ไอโซในเซอร์ที่ใช้ในการศึกษาวิจัย – แผ่นอะคิติก พลาสติกและน็อต	32
– ท่อแก้วทนความร้อน (Pyrex tube)	33
– อิเล็กโทรดภายในและภายนอก	33
18 ภาพถ่ายเซลล์ไอโซในเซอร์ที่ประกอบเรียบร้อยแล้ว	34
19 วงจรจ่ายไฟฟ้าแรงดันสูงกระแสสลับ ที่ต่ออนุกรมกับเซลล์ไอโซในเซอร์	36

20 แสดงภาพถ่ายส่วนประกอบของเหลวเจลไฟฟ้าแรงดันสูงกระแสลับ	37
21 แสดงภาพถ่ายแม่แหนบของเหลวเจลไฟฟ้าแรงสูง	37
22 โครงสร้างของระบบการเตรียมอากาศ	38
23 ภาพถ่ายตัวกรองอากาศแห้งที่ใช้สาร Zeolite 5A สร้างขึ้นเองที่ใช้ในงานวิจัย	39
24 ภาพถ่ายโอลด์มิเตอร์แบบไฟฟ้าสถิติ ที่ใช้ในการปรับเทียบไฟฟ้าแรงดันสูง กระแสลับของเหลวเจลไฟฟ้าที่ใช้ในงานวิจัย	40
25 ค่าการปรับเทียบโอลด์ก่อนเข้าหม้อแปลงกับศักย์ไฟฟ้าแรงสูง	40
26 กราฟการปรับเทียบมาตรฐานของก๊าซไฮโดรเจนที่ใช้ในการวิจัย	42
27 ภาพถ่ายงานปรับเทียบตี	43
28 ภาพถ่ายเม็ดสารทดสอบวัดปริมาณ ไอโซนที่ละลายในน้ำ	43
29 ภาพถ่ายความเสียหายอันเนื่องมาจากการติดไฟฟ้านานเกินทนความร้อน	44
30 ขั้นตอนการกรองน้ำของโรงทำน้ำประปา มหาวิทยาลัยสงขลานครินทร์ อีนาโกหาดใหญ่ จังหวัดสงขลา	56
31 ขั้นตอนการกรองน้ำ ของโรงงานทำน้ำดื่มคัดกรองเรียนราทพิพัช อีนาโกหาดใหญ่ จังหวัดสงขลา	56
32 ขั้นตอนในการนำเชื้อโรคที่มีในน้ำดื่มกลับก๊าซไฮโดรเจนที่ใช้ในการศึกษาวิจัย	57
33 กราฟแสดงผลผลิตไฮโดรเจนกับสถานะไฟฟ้า ที่ เวลาการคิด沙าร์จ 1 นาที และความชื้นสัมพัทธ์สูงแก่ดือน 60 % R.H.	59
34 กราฟแสดงความสัมพันธ์ระหว่าง การเปลี่ยนออกซิเจนไปเป็นไฮโดรเจน กับ $E/n_{\mu}$ ที่ อัตราการไหลดของอากาศ 1.42 l/min	60
35 กราฟแสดงความสัมพันธ์ระหว่างอัตราการผลิต ไฮโดรเจนกับอัตราการไหลด ของอากาศที่ สถานะไฟฟ้า $322 \times 10^3$ kV/m เวลาการคิด沙าร์จ 1 นาที	61
36 กราฟแสดงความสัมพันธ์ระหว่าง การเปลี่ยนแปลงออกซิเจนไปเป็นไฮโดรเจน กับอัตราการไหลดของอากาศ ที่ สถานะไฟฟ้า $322 \times 10^3$ kV/m	62
37 กราฟแสดงความสัมพันธ์ระหว่างการเปลี่ยนออกซิเจนไปเป็นไฮโดรเจน กับ เวลาในการสัมผัสของอากาศภายในเซลล์ไฮโดรเจน (min) ที่ สถานะไฟฟ้า $3.22 \times 10^3$ kV/m	63
38 กราฟแสดงความสัมพันธ์ระหว่าง ความเห็นขั้น ไฮโดรเจนกับอัตราการผลิต ไฮโดรเจน ที่ สถานะไฟฟ้า $3.22 \times 10^3$ kV/m	64

39	กราฟแสดงปริมาณ ไอโอดินกับการใช้สารซีไอโอลิต์ในระบบการทำนิด ไอโอดิน	65
40	กราฟแสดงความสัมพันธ์ระหว่าง ปริมาณ ไอโอดินกับวัสดุที่ใช้ทำข้าว อิเล็กโทรคปายในเซลล์ไอโอดินเรอร์	66
41	กราฟแสดงความสัมพันธ์ระหว่าง ปริมาณ ไอโอดินกับพื้นที่ในการคิดิษาร์จ ไฟฟ้าของอิเล็กโทรด ที่ สนามไฟฟ้า $3.22 \times 10^3$ kV/m อัตราการไหล ของอากาศ 1.42 l/min	67
42	กราฟแสดงความสัมพันธ์ระหว่างปริมาณ ไอโอดินกับเวลาการคิดิษาร์จ ที่อัตราการไหลของอากาศ 1.42 l/min	68
43	กราฟแสดงความสัมพันธ์ระหว่างอุณหภูมิที่ผิวภายนอกข้าวอิเล็กโทรด กับ เวลาการการทำงานของเครื่องการทำนิด ไอโอดิน ที่ สนามไฟฟ้า $3.22 \times 10^3$ kV/m อัตราการไหลของอากาศ 1.42 l/min อุณหภูมิก่อนและหลังการทำคล่องเป็น 28.2 และ 28.2 องศาเซลเซียส	69
44	กราฟแสดงความสัมพันธ์ระหว่างอุณหภูมิที่ผิวภายนอกข้าวอิเล็กโทรด กับ เวลาการทำงานของระบบการทำนิด ไอโอดิน ซึ่งเปรียบเทียบกันระหว่าง ห้องปรับอากาศ กับ ห้องปกติที่ สนามไฟฟ้า $3.22 \times 10^3$ kV/m และอัตรา การไหลของอากาศ 1.42 l/min	70
45	ลักษณะของผิวอะลูมิเนียมบางที่ไม่ได้ผ่านการทำางาน เมื่อส่องดูด้วยกล้อง <sup>*</sup> จุลทรรศน์อิเล็กตรอนแบบสแกน	72
46	ลักษณะของผิวอะลูมิเนียมบางที่ผ่านการทำางาน เมื่อส่องดูด้วยกล้อง <sup>*</sup> จุลทรรศน์อิเล็กตรอนแบบสแกน	72
47	ลักษณะของผิวไดอิเล็กตริกที่ยังไม่ได้ผ่านการทำางาน เมื่อส่องดูด้วยกล้อง <sup>*</sup> จุลทรรศน์อิเล็กตรอนแบบสแกน	73
48	ลักษณะของผิวไดอิเล็กตริกที่ผ่านการทำางานเป็นระยะเวลา 10 ชั่วโมง เมื่อส่องดูด้วยกล้องจุลทรรศน์อิเล็กตรอนแบบสแกน (SEM)	74
49	กราฟแสดงความสัมพันธ์ระหว่างปริมาณแบคทีเรีย กับเวลาการสัมผัส ไอโอดินที่ สนามไฟฟ้า $3.22 \times 10^3$ kV/m อัตราการไหลของอากาศ 1.42 l/min	76
50	กราฟแสดงความสัมพันธ์ระหว่างปริมาณแบคทีเรีย กับเวลาการสัมผัส ไอโอดินที่ สนามไฟฟ้า $32.24$ kV/m อัตราการไหลของอากาศ 1.42 lpm	77

51	กราฟแสดงความสัมพันธ์ระหว่างปริมาณเบคทีเรีย กับ เวลาการสัมผัส ไอโอดิน ที่สนามไฟฟ้า $3.22 \times 10^3$ kV/m อัตราการไหลของอากาศ 1.42 l/min	78
52	กราฟแสดงความสัมพันธ์ระหว่างปริมาณไอโอดิน กับ เวลาการสัมผัสไอโอดิน ที่ สนามไฟฟ้า $3.22 \times 10^3$ kV/m อัตราการไหลของอากาศ 1.42 l/min	79
53	กราฟแสดงความสัมพันธ์ระหว่างพีอีช กับ เวลาการสัมผัสไอโอดิน ที่ สนามไฟฟ้า $3.22 \times 10^3$ kV/m อัตราการไหลของอากาศ 1.42 l/min	80
54	กราฟแสดงความสัมพันธ์ระหว่างปริมาณเชื้อไวรัสไอโอดิน กับ เวลาการสัมผัส ไอโอดินของน้ำหน้ากุ้ง ที่ สนามไฟฟ้า $3.22 \times 10^3$ kV/m อัตราการไหล ของอากาศ 1.42 l/min	81
55	กราฟแสดงความสัมพันธ์ระหว่างปริมาณเชื้อเบคทีเรียทึบหนด กับ เวลา การสัมผัสไอโอดินของน้ำหน้ากุ้ง ที่ สนามไฟฟ้า $3.22 \times 10^3$ kV/m อัตราการ ไหลของอากาศ 1.42 l/min	82
56	กราฟแสดงความสัมพันธ์ระหว่างปริมาณแอนโนเมียโน่ กับ เวลาการสัมผัส ไอโอดินของน้ำหน้ากุ้ง ที่ สนามไฟฟ้า $3.22 \times 10^3$ kV/m อัตราการไหลของ อากาศ 1.42 l/min	83
57	กราฟแสดงความสัมพันธ์ระหว่างปริมาณ พีอีช กับ เวลาการสัมผัสไอโอดิน ของน้ำหน้ากุ้ง ที่ สนามไฟฟ้า $3.22 \times 10^3$ kV/m อัตราการไหลของอากาศ 1.42 l/min	84
58	กราฟแสดงความสัมพันธ์ระหว่างความกระด้าง กับ เวลาการสัมผัสไอโอดิน ของน้ำหน้ากุ้ง ที่ สนามไฟฟ้า $3.22 \times 10^3$ kV/m อัตราการไหลของอากาศ 1.42 l/min	85
59	กราฟแสดงการเปลี่ยนเพิ่มอัตราการผลิตไอโอดินที่ได้จากการทดลอง กับที่ได้ในทางทฤษฎี	87
60	กราฟแสดงความสัมพันธ์ในทางทฤษฎี ระหว่างอัตราการผลิตไอโอดิน กับ อัตราการไหลของอากาศ	88
61	ผลของสนาม E/n และพลังงานอิเล็กตรอนเฉลี่ยที่มีต่อผลคุณ nd	93

## บทที่ 1

### บทนำ

#### บทนำคันเรื่อง

ก๊าซ ไอ โอดีนเป็นอันญูปหนึ่งของออกซิเจนซึ่งอยู่ในรูปโครงสร้าง O<sub>3</sub> เป็นก๊าซที่มีความเสถียรค่า พบนากในชั้นสตราโตสเฟียร์ ที่สูงจากพื้นโลก ประมาณ 20 – 30 กิโลเมตร ซึ่งมีระยะห่างในการป้องกันรังสี UV จากดวงอาทิตย์ ส่วนที่ผิวโลกในธรรมชาติพบ ไอ โอดีนอยู่มาก ยกเว้นในเขตชุมชนเมืองที่มีความหนาแน่นของก๊าซการบ่อน.ai ออกไซด์สูง (Eliasson et al., 1991) กระบวนการผลิต ไอ โอดีนมีได้หลากหลายรูปแบบ เช่น ไอ โอดีนที่ผลิตโดยใช้กระบวนการผลิตสารไฟฟ้าแบบไชเรนท์มีรายงานและศึกษาภัณฑานาเนื่อ โดยสมบัติเฉพาะของก๊าซ ไอ โอดีน พบร้า ก๊าซ ไอ โอดีนเป็น ก๊าซชนิดหนึ่งที่มีศักยภาพสูงในการฆ่าเชื้อโรค ไอ โอดีนเป็นตัวออกซิไดส์ที่รุนแรงที่สุดชนิดหนึ่ง (รองจากฟลูออริน) การประยุกต์ใช้ ไอ โอดีนในเชิงพาณิชย์ในยุโรปได้เริ่มประมาณปี ค.ศ. 1900 โดยใช้ในกระบวนการบำบัด และฆ่าเชื้อสำหรับน้ำดื่ม และได้เริ่มเผยแพร่ทั่วไปยังอเมริกาโดยใช้ในการกำจัดกลิ่นและสารที่ไม่พึงประสงค์ของน้ำ ปัจจุบันทั่วโลกในประเทศและภายนอกประเทศไทยมีการนำเครื่องกำเนิด ไอ โอดีนมาใช้ในอุตสาหกรรมอย่างมากมาย อาทิ เช่น บริษัทหาดทิพย์ จำกัด (มหาชน) จำกัดหาดใหญ่ จังหวัดสงขลา นำ ไอ โอดีนที่ได้จากเครื่องผลิต ไอ โอดีนมาใช้ฆ่าเชื้อโรคในน้ำดื่มน้ำบรรจุขวด และอีกหลายๆ แห่งได้นำ ไอ โอดีนมาใช้ในฆ่าเชื้อโรคในน้ำดื่ม และในอากาศ เป็นต้น ในกระบวนการผลิต ไอ โอดีนนั้นมีด้วยกันหลายวิธี ทั้งทางเคมีและทางกายภาพ ส่วนใหญ่ที่นำไปประยุกต์ใช้งานในระดับมหาวิทยาลัย จะใช้กระบวนการทางกายภาพในการผลิตก๊าซ ไอ โอดีน ซึ่งเรียกว่า เทคนิคที่ใช้ว่า การดิสชาร์จไฟฟ้า (Electrical Discharge)

การดิสชาร์จไฟฟ้าเป็นปราศจากการผันผวนแบบไม่สมดุล (Non Equilibrium Plasma) (เป็นภาวะที่อุณหภูมิของก๊าซและไออ่อนของก๊าซ ขณะที่อุณหภูมิของอิเล็กตรอนสูงกว่า) อย่างไรก็ดีในการผลิตก๊าซ ไอ โอดีนด้วยกระบวนการทางกายภาพมีวิธีที่มีหลักการรูปแบบ ซึ่งมีจุดเด่นด้วยแตกต่างกันออกไป ยกตัวอย่าง เช่น การใช้หลอดครั้งสีเหลืองม่วง (Ultraviolet light source) ก๊าซออกซิเจนจะได้รับพลังงานในรูปไฟตอนของรังสีเหลืองม่วง และกลาบเป็นก๊าซ ไอ โอดีน ดังนั้น การผลิตก๊าซ ไอ โอดีน ด้วยวิธีนี้จะพบปัญหาเกี่ยวกับการเลือกใช้วัสดุที่ทำห่อก๊าซเพื่อที่จะให้รังสีเหลืองม่วงท่านนี้ทำเป็นจะต้องเป็นแก้วควอตต์ ส่วนการดิสชาร์จแบบอื่นๆ ก็ต้องอยู่ในภาวะที่ระบบต้องมีความดันต่ำกว่า

บรรยายการซึ่งมีความยุ่งยากในการผลิตก๊าซไอโอดินเป็นอย่างมาก ดังนั้น ผู้ทำการทดลองได้ใช้เทคนิคดิชาร์จไฟฟ้าแบบไขelenที่ซึ่งมีข้อได้เปรียบคือ (Eliasson et al., 1991) สามารถเกิดขึ้นได้ที่อุณหภูมิและความคันบรรยายกาศ พลาสม่าดิสชาร์จไฟฟ้าชนิดนี้มีลักษณะพิเศษ คือ ผิวคันหนึ่งของข้ออี้เด็กโรคไฟฟ้าหรือห้องส่องค้นมีสารไอโอดิกริกอยู่ ทั้งนี้เพื่อให้เกิดการดิสชาร์จย่างถม่ำเสมอ สารไอโอดิกริกที่นิยมใช้คือ เซรามิกส์ และแก้ว การไอโอดินในขึ้นเมื่อผ่านก๊าซออกซิเจนหรืออากาศแห้งเข้าไปในช่องระหว่างข้ออี้เด็กโรคไฟฟ้า ทำให้ก๊าซออกซิเจนแตกตัวเป็นอะตอมและรวมตัวกันใหม่เป็นก๊าซไอโอดิน (พลังงานที่ใช้ในการแตกตัวของไนโตรเจนออกไซด์ ออกซิเจนจะอยู่ในช่วง 1-10 eV) สำหรับประเทศไทย ยังไม่มีก๊าซวิจัยในส่วนราชการและเอกชนที่สนใจและศึกษาอย่างจริงจังในกระบวนการผลิตก๊าซไอโอดิน โดยใช้หลักการทำงานฟิสิกส์พลาสม่า ดังนั้น หน่วยสาขาวิชาฟิสิกส์พลาสม่า ภาควิชาฟิสิกส์ มหาวิทยาลัยสงขลานครินทร์ อำเภอหาดใหญ่ จังหวัดสงขลา ได้เล็งเห็นความสำคัญในการประยุกต์ใช้งาน จึงได้เสนอหัวข้อวิทยานิพนธ์นี้เพื่อศึกษาวิจัยและเผยแพร่องค์ความรู้ในสาขาวิชาฟิสิกส์พลาสม่าให้กว้างขวางต่อไป

จากที่กล่าวมาแล้วข้างต้นจะเห็นได้ว่าเทคนิคนี้มีความเหมาะสมในการดำเนินคือไอโอดิน ดังนั้น จึงเป็นไปได้ที่จะใช้เทคนิคการดิสชาร์จไฟฟ้าแบบไขelenที่นำมาใช้ในการออกแบบและสร้างเครื่องกำเนิดไอโอดินและศึกษาถึงพารามิเตอร์ทางฟิสิกส์ต่างๆ ที่มีผลต่อการผลิตไอโอดิน พร้อมทั้งศึกษาผลกระทบเมื่องคันจากการนำไอโอดินที่ภาวะเหมาะสมมาประยุกต์ใช้ในการฆ่าเชื้อที่บ่อชีวี คุณภาพของน้ำตามมาตรฐานที่กำหนดในน้ำเสีย, น้ำคืน และน้ำน้ำกรุง เพื่อการนำระบบไปประยุกต์ใช้จริงในอนาคตต่อไป

## การตรวจเอกสาร

### 1. ประวัติการค้นพบโอโซน

ปี ค.ศ 1785 เป็นเวลา 11 ปีหลังจากมีการค้นพบออกซิเจนโดย J. Priestley, M. van Marum ได้สังเกตพบกลิ่นฉุนขณะพิเศษเมื่ออยู่ใกล้เครื่องยนต์หางไฟฟ้าที่กำลังเคลื่อนที่ในขณะนั้นซึ่งไม่ทราบว่าเป็นโอโซน และไม่ทราบว่ากลิ่นนี้เกิดจากอะไร จนกระทั่งในปี ค.ศ. 1840 C.F. Schoben ได้สังเกตพบกลิ่นเฉพาะนี้จากการทดลองแยกสารละลายด้วยไฟฟ้า และการสปรitzer หางไฟฟ้าแล้วได้ตั้งชื่อว่า “Ozone” ซึ่งมาจากคำภาษากรีก “ozein” หมายถึง การได้กลิ่น โอโซนเป็นก้าชที่สามารถแสดงได้ด้วยสูตรโครงสร้างทางเคมี คือ O<sub>3</sub> (Soret, 1866)

ปี ค.ศ. 1857 Werner von Siemens ได้แสดงให้เห็นว่าโอโซนสามารถผลิตได้โดยการใช้ออกซิเจนไหลดันผ่านช่องว่างในการคิดิษาร์จระหว่างแก้วทรงกระบอก 2 ชั้น การปลดปล่อยไฟฟ้าตัวยึดไฟฟ้าแรงสูงจะระเหยและลับอย่างสนิทสนมผ่านผนังแก้วซึ่งเข้าได้ชัดเจน “การแยกก้าชด้วยไฟฟ้า” จุดประสงค์นี้ได้เป็นที่เชื่อถือ และยอมรับในการผลิตโอโซนในปรินิมาณที่เพียงพอสำหรับการศึกษาในห้องปฏิบัติการที่เรียกว่า “การคิดิษาร์จแบบใช้เลนท์” สำหรับเครื่องกำเนิดโอโซนที่ใช้ในห้องพานิชย์เป็นครั้งแรกในการฆ่าเชื้อโรคในน้ำ (Oudshoorn in the Netherlands., 1893.)

### 2. สมบัติทั่วไปของก้าชโอโซน

โอโซนเป็นอันธรรูปหนึ่งของออกซิเจน (Andrews, 1856) มีความหนาแน่นเป็น 1-1.5 เท่าของความหนาแน่นของออกซิเจน มีน้ำหนักโมเลกุล 48.00 กรัมต่โอมล เป็นก้าชที่ไม่เสถียรที่ความดันบรรยากาศ อากาศที่มีโอโซนผสมอยู่ (Ozonized air) จะมีกลิ่นฉุนແสนจนูก ฉุนและกลิ่นที่ฉุนนี้สามารถรู้สึกได้ในบรรยากาศหลังจากน้ำฝนแล่น และรอบๆ การคิดิษาร์จไฟฟ้าอื่นๆ (Ozone in water and wastewater treatment, 1972.) ความเข้มข้นของโอโซนในอากาศประมาณ 0.01 – 0.05 ppm. มุขย์สามารถที่จะรับรู้ได้ ที่ระดับความเข้มข้นนี้ถ้าสูดหายใจเข้าไปประจำเวลาหนึ่งจะทำให้เรียนคีรณะและเกิดการระคายเคืองต่อเซลล์ของมนุษย์และคอ แต่ถ้าความเข้มข้นโอโซน น้อยกว่า 0.001 ppm. ทำให้สคชื่น ส่วนความเข้มข้นที่สูงกว่า 1 ppm. จะทำให้เป็นอันตรายถึงแก่ชีวิต และมีผลกระทบต่อพืชอีกด้วย (Francis, 1972) ที่ระดับอุณหภูมิปกติโอโซนในปรินิมาณความเข้มข้นสูงๆ ในสถานะก้าชจะมีสีน้ำเงินอ่อน และหากควบแน่นในรูปของเหลวจะมีสีน้ำเงินเข้มซึ่งไม่เสถียรอย่างมาก และจะทำให้ระเบิดได้ ก้าชโอโซนละลายในน้ำได้ดีกว่าก้าชออกซิเจนประมาณ 30 เท่า ในช่วงอุณหภูมิ 0-30 องศาเซลเซียส (Venosa et al., 1979) ในสารละลายโอโซนจะมีค่าคงร่องชีวิตประมาณ 165 นาที ในน้ำกลั่น (Wynn et al., 1973) และภายในได้เงื่อนไขที่ความดันและอุณหภูมิปกติ

ก๊าซไอโซนยังสามารถละลายในกรดอะซิติก (acetic acid) อะซิติกแอนไฮไดรต์ (acetic anhydride) กรดไพริโโนนิก (propionic acid) ไพริโโนนิกแอนไฮไดรต์ (propionic anhydride) ไดคลอโรฟอร์ม (dichloroform) และ คาร์บอนเตตระคลอไรด์ (carbon tetrachloride) ไดมากกว่าที่ ละลายในน้ำ ไอโซนอ็อกซิไดส์โลหะทุกชนิด ยกเว้นทอง และ โลหะในกลุ่มพลาตินัม นอกจากนี้ ก๊าซไอโซนยังกัดกร่อนยาง และสารประกอบพวงยาง (Hoigne et al., 1975) ก๊าซไอโซนยังมีคุณ สมบัติในการอ็อกซิไดส์สารอินทรีย์ให้เปลี่ยนรูปต่างๆ จากฟอริกไอออน (ferric ion) ไปเป็นเฟอริค (ferric) แมกกาเนี่ส์ไดออกไซด์ (manganese dioxide) ไปเป็นแมกกาเนี่ส์ (manganese) หรือ เปอร์แมกกาเนตซัลไฟด์ (permanganatesulphide) ไปเป็น ชัลไฟต์ (sulphate) และ ในไตรฟีฟีฟายด์ (nitrate) เป็นต้น สำหรับการอ็อกซิไดส์ไอโซไครด์ไปเป็นไอโซคิโนดิวาก๊าซไอโซนไดใช้ เป็นพื้นฐานสำหรับมาตรฐานการวิเคราะห์หาไอโซนในน้ำ และอากาศต้องแต่งตัวในอัตราจดึงป้าญบัน

ไอโซนถ่ายตัวในน้ำได้รวดเร็วกว่าในอากาศ (Stumm, 1956;1958) สำหรับการถ่าย ตัวของก๊าซไอโซนในสารละลายจะให้โนเกลูลออกซิเจน และตัวทำปฏิกิริยาทางเคมี พากฟรีเรดิคัล ,  $\text{HO}_2^-$  , ไอออนของไฮโตรเจน ( $\text{H}^+$ ) เกลือและ ไฮดรอกซิลที่เป็นกลางซึ่งเป็นตัวเร่งในการถ่ายตัว ของไอโซนโดยต้องคำนึงถึงความชื้น, ชีดเวอร์, พลาตินัม, แมกกาเนี่ส์ออกไซด์, ไฮเดรย์ไฮดรอก ไซด์, ไฮเดรย์คาร์บอนเนต, โนร์มีน, คลอรีน และ ในโตรเจนเพนออกไซด์ ความร้อนจะช่วยเร่งการ ถ่ายตัวของไอโซนไปเป็นอ็อกซิเจนได้รวดเร็วขึ้น และก๊าซไอโซนจะถ่ายตัวทันทีทันใดที่ อุณหภูมิประมาณ 270 C (518 F) นอกจากนี้ก๊าซไอโซนยังสามารถถ่ายตัวได้ด้วยกระบวนการทาง เคมีที่สำคัญและเป็นตัวกระตุ้น (Diaper, E.W.J., 1969)

### 3. งานวิจัยที่เกี่ยวข้อง

คุณสมบัติของไอโซนในการผ่าตัดที่เรียบง่ายไม่มีผลกระทบແเนื่องจากกระแท้ง Fox , C.B. (1873) ได้มีการทำการทำทดลองศึกษาเกี่ยวกับสิ่งมีชีวิตเด็กๆ ที่ทำให้เกิดมีการແเน่เสียงในของ เหลว และได้พบว่า ก๊าซไอโซนจะทำลายสิ่งมีชีวิตเด็กๆ ที่มีอยู่ในของเหลวเหล่านี้ได้ เช่น เชื้อรา พันธุ์ และแบคทีเรีย ต่อมา de Meritens (1886) และ Froelich (1890) ได้ทำการทดลอง และ อบรมถึงคุณสมบัติในการอ็อกซิไดส์ของไอโซนที่เกี่ยวข้องกับการผ่าตัดที่เรียบง่ายในสมัยนั้น ใน ปี 1893 Ohlmueller ได้ทำการทดลองใช้ก๊าซไอโซนกับแบคทีเรีย พบร่วมกับการใช้ก๊าซไอโซนในการ ทำน้ำให้บริสุทธิ์ไม่ใช่เป็นวิธีที่ประยุกต์ เมื่อจากต้องใช้ความพยายามอย่างสูงในการสร้างสาร ประกอบที่สามารถอ็อกซิไดส์ได้ในเวลานั้นจึงทำให้วิธีนี้ได้รับความนิยมในการนำมาริชีงานน้อย มาก ในปี 1906 ได้มีการนำไอโซนมาประยุกต์ใช้บำบัดน้ำมีน้ำครั้งแรกที่เมือง Nice ประเทศฝรั่งเศส (Kinman, 1971) ในระยะเวลาต่อมาประเทศฝรั่งเศสได้มีการประยุกต์ใช้ไอโซนมากขึ้นอันเป็นผล

เนื่องจากมีการวิจัยพบว่า โรคไทฟอยด์ และน้ำที่เป็นแหล่งกำเนิดของโรคค่าต่างๆ ได้ถูกทำลายโดย การใช้ก๊าซไอโซน (de Lipkowaki, 1937) และได้มีการรวบรวมข้อมูลที่เกิดขึ้นของโรคไทฟอยด์ และพาราไทฟอยด์ ที่เมือง Nice ประเทศฝรั่งเศส พบว่า น้ำคุ้มที่ผ่านการฆ่าเชื้อคัวบก๊าซไอโซน ไม่ได้เป็นสาเหตุที่ทำให้เกิดโรคค่าต่างๆ (Lebout, 1950)

จากการศึกษาเครื่องกำเนิด ไอโซนจากโรงงานต่างๆ หลายแห่งในสหรัฐอเมริกา (Consoer, 1941) พบว่า ค่าใช้จ่ายต่อปีสำหรับการใช้ก๊าซไอโซน เช่นที่ เมือง Whiting คิดเป็นเงิน 4.44 \$ ต่อล้านแกลลอน ซึ่งให้ผลเป็นที่น่าพอใจในระดับหนึ่ง นอกจากนี้ยังพบว่า ปริมาณเรือโคลีฟอร์มที่ถูกทำลายโดยก๊าซไอโซนจะเป็นสัดส่วนโดยตรงกับปริมาณความเสื่อมของก๊าซไอโซน ในน้ำ นั่นคือ 90.5 % โดยประมาณ สำหรับไอโซนตอกค้าง 0.06 mg/liter 94.5 % สำหรับไอโซน ตอกค้าง 0.08 mg/liter และ 98.0 % สำหรับไอโซนตอกค้าง 0.16 – 0.20 mg/liter ในขณะนั้นบทบาท ของไอโซนในอเมริกานำไปประยุกต์ใช้ในการกำจัดคลินิค รถ และแมลงการน้ำจากแหล่งน้ำที่นำมา ใช้ประโยชน์ (Bean, 1959)

(Smith et al., 1944) ได้ทำการศึกษาเบรียบเทียบถึงการใช้ไอโซน และคลอรินในการ ฆ่าเชื้อแบคทีเรีย ที่ค่าพีอช (pH) ต่างๆ ที่อุณหภูมิ 27.5 องศาเซลเซียส พบร้า พีอช (pH) 5.0 และ 6.0 สำหรับน้ำ 1 ลิตร มีแบคทีเรียอยู่  $8 \times 10^5$  bacteria/ml ไอโซนจะใช้เวลาในการฆ่าเชื้อเหล็กนี้ เพียง 5 นาที , ที่ พีอช (pH) 7.0, 8.0 และ 9.0 ไอโซนใช้เวลาในการฆ่าเชื้อ 7.5 นาที ความเสื่อมขึ้น ไอโซนเปลี่ยนแปลงจาก 0.13-0.20 มิลลิกรัมต่อลิตร ในทางกลับกัน พบร้า ต้องใช้ความเสื่อมขึ้นของ คลอรินในการฆ่าเชื้อเหล็กนี้ด้วยเวลาที่รวดเร็วเท่ากันกับไอโซน เป็น 2.7 มิลลิกรัมต่อลิตร ที่ พีอช (pH) 5.0 ถึง 7.9 มิลลิกรัมต่อลิตร ที่ พีอช (pH) 8.0 ซึ่งจะเห็นได้ว่าที่เพื่อนำไปเดียวกันใช้ความเสื่อม ขึ้นที่แตกต่างกันอย่างมากในการฆ่าเชื้อแบคทีเรียในน้ำ นอกจากนี้ (Howlett, 1947) ได้อธิบายเพิ่ม เติมว่าการใช้ก๊าซไอโซนในการนำน้ำให้บริสุทธิ์จะมีราคาแพงกว่าการใช้คลอริน แต่ก็มีความเสื่อม “ไปได้ที่จะลดราคากลับทุนในการใช้ก๊าซไอโซนในต่างถิ่น ได้ในอนาคต ต่อไป (Whitson, 1948) ได้ สังเกตการทำงานเครื่องกำเนิดไอโซนที่ติดตั้งในปี 1936 มีความจุของไอโซน 10 mgd พบร้า ถึงแม้ การกำเนิดไอโซนจะมีราคาแพงกว่าการใช้คลอริน แต่ก็มีข้อที่ดีกว่าคลอริน นั่นคือ น้ำที่ผ่านไอโซน จะไม่มีก๊าซไอโซนตอกค้างอยู่หรือเจือปนอยู่ และไม่ทำให้กุญแจของแนวที่เรียกว่า “ไปซึ่งสังเกต” ได้จากน้ำที่ผ่านการฆ่าเชื้อคัวบไอโซนแล้วส่งผ่านเข้าไปในระบบการส่งจ่ายน้ำ

(Leiguarda et al., 1949) ได้ทำการทดลองศึกษา การใช้ก๊าซไอโซนฆ่าเชื้อแบคทีเรีย ทึ้งในน้ำบริสุทธิ์และน้ำจากแม่น้ำ พบร้า น้ำเริ่มน้ำที่มีเชื้อ  $10^4$  E.coli/ml. กับไอโซน 0.12 มิลลิกรัม ต่อลิตร ที่ พีอช (pH) 6.0 ทำให้ออยู่ที่อุณหภูมิ 10 องศาเซลเซียส หลังจาก 5 นาที จะไม่พบแบคทีเรีย ที่มีชีวิตอยู่เลย และ ไอโซนที่มีอยู่ถูกทำให้ลดลงเป็น 0.09 มิลลิกรัมต่อลิตร ที่ พีอช (pH) 8.0 และ

อุณหภูมิสูงๆ ความเข้มข้นของไอโซนถูกทำให้ลดลงอย่างรวดเร็ว ประสิทธิภาพของก๊าซไอโซนที่เกี่ยวข้องกับการฆ่าเชื้อแบคทีเรียไม่ได้เป็นผลมาจากการอุณหภูมิเพียงอย่างเดียว แต่อาจจะมีผลเด่นอย่างที่เกี่ยวข้องกับ pH สำหรับน้ำที่มี *C. perfringens*  $2 \times 10^3$  spores/ml. กับไอโซน 0.25 มิลลิกรัมต่อลิตร ใช้เวลา 15 นาที จะไม่พบสปอร์อยู่เลย เมื่อไอโซน 5 มิลลิกรัมต่อลิตร ใช้เวลา 2 นาที จะไม่พบสปอร์อยู่เลย ที่ pH 8.0 ประสิทธิภาพในการฆ่าเชื้อแบคทีเรียถูกทำให้ลดลงนั่นคือ ปริมาณไอโซน 0.25 มิลลิกรัมต่อลิตร แม้เวลาผ่านไป 120 นาทีก็ไม่มีผลต่อบอร์ส์ ในปีเดียว กันนี้ (Ingram et al., 1949) ได้ศึกษาสภาพความไวของฟังไช และแบคทีเรียที่มีต่อไอโซนในน้ำ พน ว่า น้ำที่มีไอโซน 0.5 - 1.0 มิลลิกรัมต่อลิตร ใช้เวลา 1-3 นาที ที่จะทำลายกระปองกันเชื้อเหล่า น้ำได้ 99 % ต่อนา Novel และคณะ (1949) ได้ทำการทดลองศึกษาประยุกต์การฆ่าเชื้อคัวย คลอรินและไอโซนในน้ำที่มาจาก Lake Geneva ใน Petit-Lac. ได้ผล ดังนี้ ไอโซน ความเข้มข้น 1.0 มิลลิกรัมต่อลิตร ลดจำนวนแบคทีเรียที่ติดอยู่ที่ตัวรองน้ำจาก 190/ml. ให้น้อยกว่า 1/ml. ภายใน เวลา 1 นาที สำนคลอริน ความเข้มข้นเดียวกัน ลดจำนวนแบคทีเรียเหลือ 40/ml. ใช้เวลา 5 นาที และ ลดจำนวนแบคทีเรียเหลือ 2/ml. ใช้เวลา 40 นาที จากผลการทดลองทางจำนวนของไอโซนที่ต้องการ เพื่อประกันความปลอดภัยของน้ำจากแบคทีเรีย ผลที่ได้มีความสำคัญต่อคุณภาพน้ำ จำนวนไอโซน โดยเฉลี่ยที่ต้องการสำหรับฆ่าเชื้อโรคในน้ำที่ผ่านการกรองแล้วอยู่ที่ 0.5-0.6 มิลลิกรัมต่อลิตร นอก จากนี้ Gubelmann และคณะ (1953) ยังพนว่าสารอินทรีย์จะถูกออกซิได้โดยย่างรวมเร็วโดยการ เพิ่มปริมาณความเข้มข้นของไอโซนที่ต้องการในการฆ่าเชื้อโรคในน้ำ (Rohrer, 1952) ได้มีการราย งานผลการศึกษาการยับยั้ง poliomyelitis virus โดยใช้คลอรินไคลอไรด์และไอโซน พนว่า การ เจือปนที่เพียงพอสำหรับการฆ่าเชื้อโรคในน้ำจะต้องใช้ ไอโซน 0.15 มิลลิกรัมต่อลิตร คลอรินไคล ออกไรด์ 0.08 มิลลิกรัมต่อลิตร และ คลอริน 0.25 มิลลิกรัมต่อลิตร (Heitche et al., 1953;1954;1955)

Dickeman et. al., (1954) รายงานการศึกษาผลกระทบของไอโซนที่มีต่อบาคทีเรียใน น้ำก็อก และน้ำดื่ม ที่อุณหภูมิ 28 องศาเซลเซียส จุลทรรพ์ที่ใช้ทดสอบ คือ staphylococci, enterobacteria, bacilli และ pseudomonads. ความเข้มข้นของไอโซนสามารถหาได้โดยการ ไตเตอร์ ไอโซน-แมง ถ้าตัวอย่างน้ำดื่มนี้มีการอินทรีย์เพิ่มขึ้น ความเข้มข้นของไอโซนที่ใช้จะต้องสูงขึ้นคัวย สรุปได้ว่าการติดตั้งการบำบัดน้ำควรจะให้ไอโซนอยู่ที่ระดับความเข้มข้น 2 มิลลิกรัมต่อลิตร ใช้ เทคนิคการถังผึ้งสอย่างน้อย 5 นาที ได้มีรายงานสนับสนุนผลการศึกษาในส่วนนี้ กล่าวว่า การรวมสาร ที่มีอยู่ในน้ำกับไอโซนต้องคำนึงถึงการหาจำนวนของไอโซนที่จะใช้ในการบำบัดคัวย น้ำที่ไม่มีนก พิษใช้ความเข้มข้นของไอโซน 0.1-0.2 มิลลิกรัมต่อลิตร ใช้เวลา 5 นาที รับประกันว่าสามารถฆ่าเชื้อ

โรคได้หมด ส่วนน้ำที่เป็นน้ำพิษหรือน้ำที่มีแบคทีเรียสูงผิดปกติ ต้องใช้ความเข้มข้น 0.4-0.5 มิลลิกรัมต่อลิตร (Holluta et al., 1954)

(Bringman, 1955) ได้สังเกตพบว่า คลอริน 0.1 มิลลิกรัมต่อลิตร ต้องใช้เวลา 4 ชั่วโมง ในการฆ่าเชื้อ *E. coli*  $6 \times 10^4$  เซลล์ที่มีอยู่ในน้ำ ในขณะที่ ไอโซน 0.1 มิลลิกรัมต่อลิตร ใช้เวลา 5 วินาที เท่านั้น เมื่ออุณหภูมิเพิ่มขึ้น จาก 22 ถึง 37 องศาเซลเซียส เวลาที่ใช้ในการยับยั้งคั่งไอโซน จะลดลงจาก 5 วินาที เป็น 0.5 วินาที ผลการทดลองจะชี้ให้เห็นว่า การฆ่าเชื้อด้วยไอโซนต้องคำนึงถึงองค์ประกอบบนหลัก เหล่านี้คือ เวลาการสัมผัส, ความเข้มข้น ไอโซน และอุณหภูมิของน้ำ เวลาการสัมผัสของไอโซนมีความสำคัญมากในการทำลายเชื้อ *E. coli* 99% ที่ความเข้มข้นของกรด hypochlorous เดียวกัน อัตราการฆ่าสำหรับสปอร์ของ *Bacillus species* โดยการใช้ไอโซนมากกว่า คลอรินประมาณ 300 เท่า ในทำนองเดียวกันนี้ (Kessel et.al., 1955) พบว่า ไอโซนใช้เวลาได้ย่างมีประสิทธิภาพมากกว่าคลอรินในการลด *poliomyelitis virus* ในขณะเดียวกันการฆ่าเชื้อไส้สินระหว่างน้ำจะต้องใช้คลอริน 0.5 - 1.0 มิลลิกรัมต่อลิตร เป็นเวลา 1.5 - 2.0 ชั่วโมง ในขณะที่ใช้ไอโซน 0.05 - 0.45 มิลลิกรัมต่อลิตร เป็นเวลา 2 นาที ในปีเดียวกันนี้ (Lagrange et al., 1952) ได้ทำการศึกษาการเปรียบเทียบประสิทธิภาพของ ไอโซนและคลอรินในการทำลาย parasite schistosoma mansoni ในน้ำ พบร้า คลอริน 1 มิลลิกรัมต่อลิตร ใช้เวลาในการฆ่าเชื้อได้อย่างสมบูรณ์ ในเวลา 4 นาที และ ไอโซน 0.9 มิลลิกรัมต่อลิตร ใช้เวลา 3 นาที ได้มีการศึกษาเปรียบเทียบความแตกต่างระหว่างการใช้ไอโซน และคลอริน (Hann, 1956) พบร้า กระบวนการที่ใช้ไอโซนมีราคาต่ำน้ำ แพงกว่ากระบวนการที่ใช้คลอริน โดยคำนึงถึงการใช้กำลังไฟฟ้าและต้นทุนของกระบวนการผลิต ไอโซน ซึ่งเจ้าได้หั่งข้อสังเกตว่า เนื่องจากเครื่องกำเนิดไอโซนและการทำงานส่วนใหญ่ใช้พลังงานไฟฟ้าในการดำเนินการ เครื่องทำน้ำขนาดใหญ่ใช้กำลังไฟฟ้า 10 kWh. บางที่ใช้ 12 - 15 kWh. ในเครื่องขนาดเล็ก สำหรับการเชื้อไอโซน 1 ppm. RATE ทางไฟฟ้าอยู่ในช่วงๆ ก 75 เซนต์ ถึง 2 คงคลาสต่อ 1 ล้านแกลลอน ของน้ำที่บำบัด จึงอยู่กับขนาดของเครื่องและอัตราพลังงานทางไฟฟ้า

(Fetner et al., 1956) รายงานผลการทดสอบการฆ่าเชื้อด้วยไอโซน และคลอรินกับ *E. coli* ที่อุณหภูมิ 1 องศาเซลเซียส ในน้ำกลั่น โดยใช้ไอโซนความเข้มข้น 0.4 - 0.5 มิลลิกรัมต่อลิตร และใช้เวลาในการสัมผัสนานกว่า 1 นาที ส่วนคลอรินจะใช้ความเข้มข้น 0.25 - 0.30 มิลลิกรัมต่อลิตร ใช้เวลา 1 - 10 นาที ซึ่งการกระทำของคลอรินต่อบาคทีเรียจะเพิ่มมากขึ้นเนื่องจากความเข้มข้น ระยะเวลาในการสัมผัส สำหรับ ไอโซนจะไม่มีผลต่อกล่าวความเข้มข้นต่อกว่าความเข้มข้น ไอโซนวิกฤติ (0.4 - 0.5 มิลลิกรัมต่อลิตร)

(Miller et al., 1959) รายงานถึงความเป็นไปได้ของการทำให้ปราศจากเชื้อ โรคของของเสียได้ด้วยไอโซน ผลจากห้องปฏิบัติการ พบร้า ไอโซนประสนความสำเร็จไม่เพียงการทำให้

ปราศจากเชื้อโรคแต่ยังมีเชื้อโรคที่อยู่ในของเสีย *Bacillus anthracis*, *influenza virus* และ *B. subtilis* morph *globigii* และการยับยั้งสารพิษ ของ *Clostridium botulinum*. แล้วยังสนับสนุนการใช้โอโซน 100 - 200 มิลลิกรัมต่อลิตร เป็นเวลา 30 นาที ในการทำให้ปราศจากโรคด้วย

(Guinvarc 'h, P. 1958) ได้เสนอผลการศึกษาการทำงานของเครื่องกำเนิดโอโซน Saint Maur ozone plant ในเมืองปารีส ประเทศฝรั่งเศส เมื่อเวลา 3 ปี ซึ่งประกอบไปด้วยระบบ การกรองทราย และการตัดตะกอนด้วย เฟอริกคลอไรด์ น้ำที่ผ่านโอโซนจะมีความเข้มข้น 0.1 มิลลิกรัมต่อลิตร ถึง 0.05 มิลลิกรัมต่อลิตร ที่ อุณหภูมิต่ำกว่า 10 องศาเซลเซียส การเพิ่มโอโซนจะถูกควบคุมโดยอัตโนมัติโดยการเปลี่ยนแปลงศักย์ไฟฟ้าที่ให้โอโซน หลังการบำบัด น้ำจะปราศจาก เชื้อ *E. coli* และจำนวนของ *C. perfringens* ลดลง 50%

(Army investigators, 1958) ได้ทำการบันทึกการที่จะใช้ประ โอโซนจากก๊าซ โอโซนสัมผัส กับสิ่งสกปรกเพื่อทำให้สิ่งสกปรกปราศจากเชื้อโรคอย่างมีประสิทธิภาพ และพัฒนาวิธีให้มีประสิทธิภาพและสามารถนำไปใช้ในทางเศรษฐกิจ ได้ สิ่งนี้ชีวิตที่จะถูกทำลาย (Hopt. 1958) กล่าวว่า น้ำที่บรรจุด้วยสิ่งเจือปนควรจะถูกทำให้สะอาด ด้วยโอโซนจำนวนเพียงเดือนละก้อนอย่างเดียวที่จะใช้คลอรีน จำนวนมาก

(Piskunov et al., 1963) พบว่า โอโซน 1.1 - 3.6 กรัมต่อลูกบาศก์เมตร ( $\text{g}/\text{m}^3$ ) ลดการปนเปื้อนของแบคทีเรียได้ถึง 94 % ลดสีลง 2 - 2.5 เท่า และ ปีโอดี 30 % โดยประมาณ การเจือ โอโซน 0.27 - 1.0 6 กรัมต่อลูกบาศก์เมตร ( $\text{g}/\text{m}^3$ ) ตามด้วยการเติมคลอรีน, การตัดตะกอน และการกรอง มีผลกระทบที่คือการเติมคลอรีนในขั้นตอนที่สอง โดยเฉพาะมีผลต่อค่า BOD และกำจัดตัว การทดสอบในห้องปฏิบัติการวัด โอโซนต่อก้างหลังจาก 2 ชั่วโมง เป็น 0.55 ถึง 0.7 มิลลิกรัมต่อลิตร

(Suckov, 1964) ได้ศึกษาผลของการใช้โอโซนเป็นสารฆ่าเชื้อโรคที่มีประสิทธิภาพ สำหรับน้ำดื่มน้ำซึ่งเติมไม้ไผ่แยกที่เรียyled และ ไวรัส เท่ายังให้สรุปปรากฏการณ์ที่เกิดขึ้นหลายๆ ชั่วโมง หลังจากการใช้โอโซน น้ำถูกทำให้ปราศจากเชื้อโรคอย่างไม่สมบูรณ์ (99.95%) แต่จะไม่เกิดขึ้นเมื่อ น้ำถูกฆ่าเชื้อโรคด้วยโอโซนที่เจือปน 0.2 มิลลิกรัมต่อลิตร เป็นเวลา 15 นาที เป็นผลทำให้มีการยับยั้ง เอ็นเทrovirus ไวรัส (enteroviruses) ได้ถึง 99.7 - 99.9 % โอโซนที่ตัดก้าง 0.1 - 0.2 มิลลิกรัมต่อลิตร ถูกเพียงพอสำหรับการฆ่าเชื้อโรค สำหรับการฆ่าเชื้อโรคด้วยโอโซน ได้รับผลกระทบเพียง เดือนละก้อนจากการเปลี่ยนแปลงของอุณหภูมิ และพื้นที่ (O' Donovan, 1965) การบำบัดด้วยโอโซนทำให้น้ำสะอาดและไม่มีการตัดก้างของโอโซน ตัวน้ำที่ได้มาโดยการบำบัดด้วยคลอรีนจะมีการตัดก้างของคลอรีนเหลืออยู่

(Gabovich, 1966) รายงานถึงผลกระทบทางเคมี และทางกายภาพของน้ำที่มีต่อการใช้ โอโซนอย่างมีประสิทธิภาพในการฆ่าเชื้อโรค ได้มีการทดลองที่จะเดือดผลกระทบที่มีต่อแบคทีเรีย

กับการเพิ่มขึ้นของอุณหภูมิน้ำ จาก 4 - 6 องศาเซลเซียส และ 18 - 21 องศาเซลเซียส ใช้อิโโซนเพิ่มขึ้น 60 % และใช้อิโโซนเพิ่มขึ้นสูงถึง 20% ประสิทธิภาพของไอโซนที่นำไปใช้ประจำอยู่นั่นคือลด การเพิ่มขึ้นของพื้นที่ แต่การกระทำต่อแบคทีเรียไม่ได้ลดน้อยลง

(Drimal et al., 1990) รายงานถึงประสิทธิภาพในการทำน้ำให้บริสุทธิ์ซึ่งสามารถประับความสำเร็จได้ด้วยไอโซนไซออร์ที่ข้าวอิเด็กโดยเป็นห้องสำหรับการคิดขาวร์ช (Janca et al 1985) มีลักษณะเป็นห้องทรงกระบอกซึ่งผลิตได้ทั้งไอโซนและรังสียูวี ซึ่งอุปกรณ์ประกอบด้วยหลอดแก้วสำหรับการคิดขาวร์ช, ช่องว่างคิดขาวร์ช, ห้องแก้วซิลิกาและชั้นของระบบหล่อเย็นด้วยน้ำที่มีจุดศูนย์กaltung ร่วมกัน ห้องแก้วสำหรับการคิดขาวร์ชมีเส้นผ่าศูนย์กลาง 20-50 มิลลิเมตร และช่องว่างสำหรับเป็นข้าวอิเด็กโดยความยาว 50 เมนติเมตร เติมด้วยไอโซน นีออน+อาร์กอน+protox ความดันรวมประมาณ 500 Pa. ห้องแก้วภายในอุณหภูมิเส้นผ่าศูนย์กลาง 25 มิลลิเมตรและยาว 43 เมนติเมตร อุปกรณ์นี้จะทำให้มีการคิดขาวร์ชแบบไฮเดนท์ที่บีเวนช่องว่างคิดขาวร์ช ประมาณ 1.5-3.0 มิลลิเมตร พื้นที่ๆ กับมีการกระตุ้นให้มีการผลิตรังสียูวีได้อีกด้วยที่ข้าวอิเด็กโดยภายในที่มีไอโซนก้าวต่างๆ ผ่อนอยู่ (ภาพประกอบ 1) ออกซิเจนหรืออากาศที่ไห้ผ่านระบบจะใช้ชีไอโอไกต์และ  $P_2O_5$  เป็นตัวดักจับไอโซน สำหรับความเข้มข้นไอโซนแสดงโดยการใช้การคุณลักษณะทางแสง กำลังที่ใช้ของระบบการกำเนิดไอโซนนี้ คือ 11.5 Wh/gO<sub>3</sub> และ 7.0 Wh/gO<sub>3</sub> สำหรับการผลิตไอโซนความเข้มข้น 1 % จากอากาศแห้งและออกซิเจน ตามลำดับ

(Eliasson et al., 1986) รายงานว่า ผลผลิตไอโซนเป็นตัวที่คือถึงการสร้างออกซิเจนอะตอนในการคิดขาวร์ช และได้แสดงถึงความเป็นไปได้ในการวัดไอโซนในไฟเรนท์คิดขาวร์ชต่อหน่วยพลังงานที่แน่นอน โดยหาได้จากอัตราสัมประสิทธิ์สำหรับการแยกตัวของโนโลหะออกซิเจนเนื่องจากการชนของคัวยอิเด็กตรอน และประสิทธิภาพของกระบวนการแยกตัว เปรียบเทียบผลการวัดกับการคำนวณที่ได้จากการ Boltzmann ซึ่งพัฒนาโดย Lund (1975)

(Harano et al., 1991) ได้รายงานผลการศึกษาการเพิ่มออกซิเจนให้กับเขม่าในไฮเดนท์คิดขาวร์ช เพื่อพัฒนาเทคนิคการกำจัดเขม่าให้มีประสิทธิภาพมากยิ่งขึ้น จากเดิมการกำจัดเขม่าที่สะสมอยู่บนตัวกรองถูกทำให้หลุดลงในไฮเดนท์คิดขาวร์ชโดยการเติมน้ำหรือออกซิเจนไปจนถึงก๊าซอาร์กอนซึ่งเป็นก๊าซนำพา ในกรณีระหว่างมีการไห้ผลตัวของความเข้มข้นของเขม่าถูกทำให้หลุดลงได้โดยการเพิ่มเวลาไห้เขม่าอยู่ในเครื่องทำปฏิกิริยาที่มีการคิดขาวร์ชนานขึ้น อนุภาคเขม่าถูกออกซิเดตด้วย OH radicals ที่อุณหภูมิห้องและความดันบรรยายการตรวจสอบได้โดยการใช้ระบบไฮเดนท์คิดขาวร์ช (ภาพประกอบ 2) อัตราปฏิกิริยาของเขม่ากับ OH radicals หาได้โดยการเปรียบเทียบผลการคำนวณกับผลการทดลอง

(Nomoto et al., 1995) ได้รายงานถึงการออกแบบและสร้างไอโซไนเซอร์เซลล์ที่มีการคิสชาร์จแบบผิวและคิสชาร์จแบบไฟเลนท์ควบคู่กันไป (ภาพประกอบ 3) พบว่า การคิสชาร์จแบบไฟเลนท์จะเพิ่มมากขึ้นเมื่อการคิสชาร์จแบบผิวนั้นข้าไฟฟ้าแบบคงลักษณะทำร่วมด้วยซึ่งทำให้ปริมาณไอโซนเพิ่มมากขึ้นถึง  $110 \text{ g/kWh}$  ในกรณีของ  $\text{N}_2 + \text{O}_2$  ผสมกัน และ  $274 \text{ g/kWh}$  ในกรณีของออกซิเจน

(Eliasson et al., 1984) ได้รายงานถึงผลผลิตไอโซนที่ได้นามากอย่างไม่คาดหวัง จากการคิสชาร์จก๊าซผสม  $\text{N}_2/\text{O}_2$  นอกจากนี้ยังมีอีกครองที่ชนโดยตรงทำให้มีการแตกตัวของโนเลกุลออกซิเจน ทำให้ได้จำนวนออกซิเจนอะตอนเพิ่มมากขึ้น ซึ่งเกิดขึ้นโดยปฏิกิริยาที่เกี่ยวข้องกับในไตรเจนโนเลกุลและในไตรเจนอะตอนที่ได้รับการกระตุ้น การคำนวณภาคตัดขาดยาวเนื่องจากการชนด้วยอิเล็กตรอน สามารถยอมรับได้เป็นอย่างดีโดยการวัดผลผลิตไอโซนและเวลาคงที่ในการสร้างไอโซน

(Yamabe et al., 1994) ได้ศึกษาถึงหลอดกำเนิดไอโซนชนิดใหม่ซึ่งไม่มีไคลอเล็กตริกอยู่ระหว่างข้าไฟฟ้า (ภาพประกอบ 4) จะได้นำซึ่งการคิสชาร์จแบบเรืองแสง และได้ศึกษาถึงลักษณะพื้นฐานของการกำเนิดไอโซนและความสามารถที่เป็นไปได้ในการพัฒนาผลผลิตไอโซนสำหรับการวัดไอโซนใช้การฉุดกลืนแสงที่ความชาร์จถึง 253 นาโนเมตร จากหลอดปอร์หัชингฟัล  $\text{He}/\text{O}_2$  ที่ความคันบรรยายกาศ

(Pignolet et al., 1990) ได้เสนอแบบจำลองรวมถึงปรากฏการณ์ส่งผ่านเพื่อคำนวณผลผลิตไอโซนในการคิสชาร์จแบบโคลโนนาซึ่งมีลักษณะ Positive point to plane และได้ศึกษาผลของความดัน, อุณหภูมิ, ความเร็วการไหลเฉลี่ย, กระบวนการจลน์ และการแพร่กระจาย ที่ความคันต่างๆ พบว่า ผลผลิตสูงสุดของไอโซนสามารถที่จะถูกเปลี่ยนแปลงด้วยภาวะที่เหมาะสมของความเร็วการไหลเฉลี่ย และเวลาที่สัมผัสนั้นของอนุภาคเริ่มนั้นภายในปริมาตรที่มีการคิสชาร์จ

(Loiseau et al., 1993) ได้ศึกษาถึงรูปแบบจำลองรวมไปถึงปรากฏการณ์จลน์, ปรากฏการณ์ส่งผ่าน และความลักษณะของอุณหภูมิได้อธิบายในเชิงการกระจาดของไอโซนตามแนวแกนและตามแนวรัศมี ในการป้อนออกซิเจนเข้าไปในไอโซนในเซอร์ซึ่งเป็นท่อทรงกระบอกสมมาตรแบบจำลองได้ทำขึ้นในกรณีของอุปกรณ์ทางอุตสาหกรรมซึ่งเป็นแบบ cylinder-to-cylinder พบว่า ความลักษณะของอุณหภูมนี้ผลเพียงเดือนอย่างเท่านั้น ในกรณีของห้องปฏิบัติการที่ไอโซนในเซอร์จะเป็นแบบ wire-to-cylinder ซึ่งในที่นี้ความลักษณะของอุณหภูมิตามแนวรัศมีมีความสำคัญ ที่ความคันบรรยายกาศดังงานจลน์ทางเคมีมีผลกระทบต่อระบบมากกว่าการแพร่กระจาย

(Tan et al., 1991) ได้รายงานการใช้ไอโซนและเอมเบรนนำบัดเหล่งน้ำบนพิพิพ์โลกซึ่งประกอบไปด้วยสี และ DBP (disinfection by-product) ได้อ่่างมีประสิทธิภาพ กระบวนการใช้เอมเบรนเป็นเทคโนโลยีการนำบัดที่น่าจะนำไปใช้ได้ในอนาคตอันใกล้กันนี้

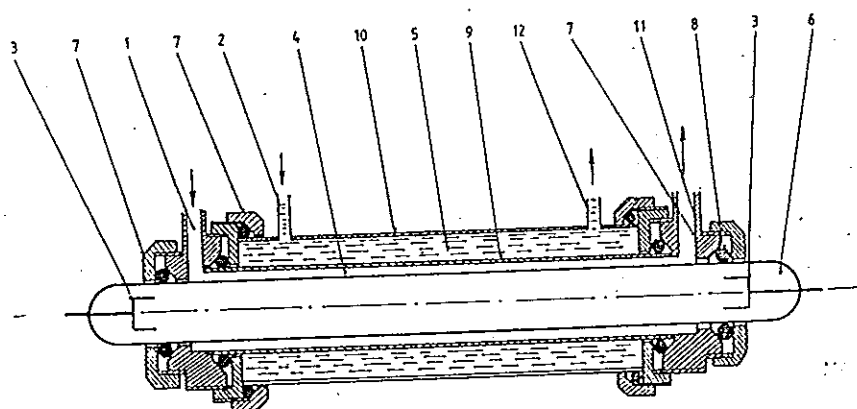
(Hegele et al., 1997) ได้รายงานการศึกษาการวัดความหนาแน่น ไอโซนโดยการคุณภาพนิรภัยอัตโนมัติ ไว้โดยเด็ดหลังการปิดปิดล้อยกระดับแบบวากและลบในช่องว่างที่มีรูปทรงแบบ wire-to-plate ความยาว 45 เมตร ระยะระหว่างข้ออิเล็กโทรด 2.5 เมตร คุณภาพส่วนใหญ่เกี่ยวกับการวัดผลผลิต ไอโซนด้วยการปิดปิดล้อยกระดับวากอธินายโดย (F. Hegele, and H. Akiyama, 1997) หลังจากการปิดปิดล้อยกระดับหรือตอนบ่าย ไอโซนหนึ่งหรือทั้งสองชนิดความหนาแน่น ไอโซนสูงสุดจะอยู่บริเวณพื้นที่ด้านล่างของข้อว่าไฟฟ้าที่เป็นลวดตรงไปยังแผ่นศักย์ไฟฟ้าเป็นศูนย์ ความหนาแน่น ไอโซนจะลดลงอย่างรวดเร็ว การปิดปิดล้อยกระดับผลิตความหนาแน่น ไอโซนได้มากกว่าการปิดปิดล้อยกระดับแบบ เป็น 2 เท่า โดยใช้ช่วงเวลาเพียงสักพักกัน

(Isobel et al., 1996) ได้รายงานว่า การแตกตัวเนื่องจากอิเล็กตรอนแก่ตัวกันในไอโซนิกซึ่งเมื่อพลังงานอิเล็กตรอนตกกระแทบอยู่ในช่วง 0-10 eV. พบว่า มีข้อบ่งชี้ของการเรโซแนนท์ที่อยู่ 3 บริเวณ โดยมีคุณบัคกลางอยู่ที่ 1.4, 3.5 และ 7.5 eV. การแตกตัวเนื่องจากอิเล็กตรอนแก่ตัวกันนี้ได้เคยรายงานมาแล้วโดย (Curran, 1961)

(Masuda et al., 1988) ได้พัฒนาไอโซไนเซอร์แบบใหม่ที่ใช้การดิสcharจ์ตามผิวความถี่สูงเป็นแหล่งกำเนิด และเชรานมิกอะลูมินานริสุกี้ม้ากเป็นส่วนประกอบโดยอิเล็กตริก ชั้นเยื่อเมมbrane บางมีรูปทรงทึ้งแบบแผ่นและทรงกระบอก ไอโซไนเซอร์ (ภาพประกอบ 5) ที่เสนอให้สามารถลดความเข้มข้นไอโซในได้สูงอย่างง่ายๆ ( $5,000\text{-}15,000$  volume PPM. สำหรับอากาศ;  $50,000\text{-}100,000$  volume PPM. สำหรับ ออกรซิเจน) โดยไม่ได้มีอะไรพิเศษเพิ่มเติมชั้นมาเลย และกำลังสามารถทำให้มีประสิทธิภาพสูงชั้น (ยกตัวอย่าง  $170 \text{ gO}_2/\text{kWh}$ . สำหรับอากาศ) โดยการเลือกพารามิเตอร์ที่ทำงานได้อย่างเหมาะสม ดังนั้น ไอโซไนเซอร์นี้จะไม่ไวต่อความชื้นสัมพัทธ์สิ่งแวดล้อม

ภาพประกอบ 1 ภาคตัดขวางของหลอดไอโซไนเซอร์

(ที่มา : Janca et al., 1985)

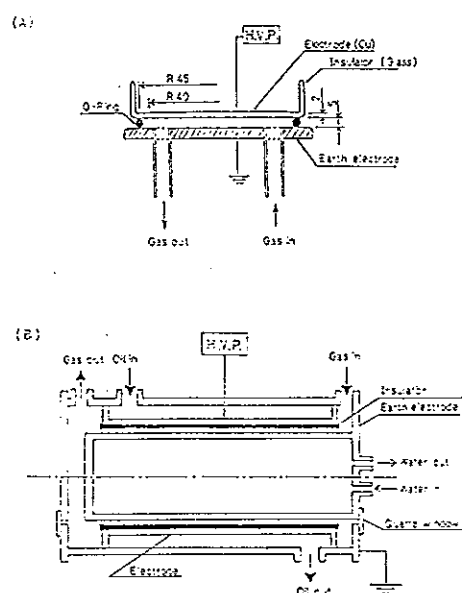


- 1: gas inlet; 2: cooling water inlet; 3 : hollow electrode;
- 4 : gas gap for formation the silent discharge;
- 5 : irradiated layer of colling water; 6 : inner discharge tube electrode;
- 7 : Teflon plug; 8 : silicon ring; 9 : silica tube; 10 : metal tube;
- 11 : gas outlet; 12 : cooling water outlet.

ภาพประกอบ 2 โถโซโนเซอร์ที่มีดิสชาร์จแบบไชเรนท์

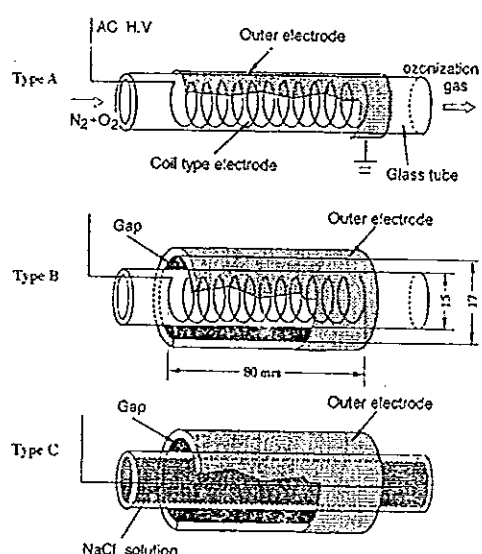
(a) รูปทรงแผ่นขาน (b) รูปทรงกรวยบอค

(ที่มา : Harano A. et al., 1991)

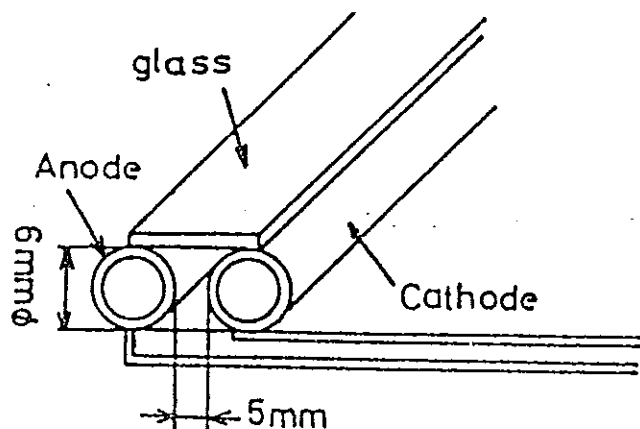


ภาพประกอบ 3 โคลัมแกรนของโซโนเซอร์ที่ขึ้นอิเล็กโทรดค่าต่างๆ กัน

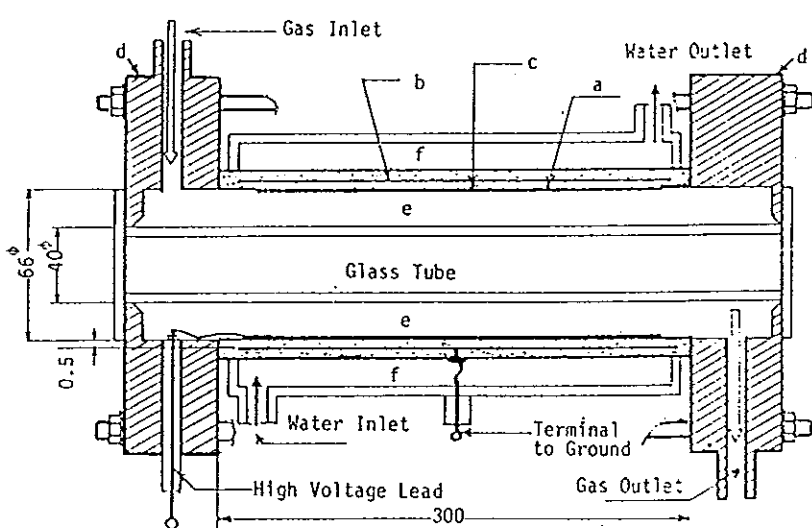
(ที่มา : Yukihiro N. et al., 1995)



ภาพประกอบ 4 ไอโซไนเซอร์ที่ไม่มีไดอิเล็กตริกอยู่ระหว่างขั้วไฟฟ้า  
(ที่มา : Yamabe C. et al., 1994)



ภาพประกอบ 5 ภาคตัดขวางความยาวของ ไอโซไนเซอร์แบบเซรามิกส์  
(ที่มา : Masuda et al 1988 )



(a) Discharge electrode. (b) Induction electrode. (c) Inner ceramic layer  
(d) Insulator Heads. (e) Gas passageway. (f) Cooling water jacket.

## วัตถุประสงค์

1. เพื่อศึกษาวิธีการกำเนิดไอโอดีนที่ความดันบรรยากาศโดยเทคนิคการดิสชาร์จไฟฟ้า (Electrical Discharge) แบบ ไชเดนท์
2. เพื่อออกแบบและสร้างระบบการกำเนิดไอโอดีนแบบท่อทรงกระบอก
3. เพื่อศึกษาพารามิเตอร์ทางฟิสิกส์ต่างๆ ที่มีผลกระทบต่อการกำเนิดไอโอดีนของอุปกรณ์
4. เพื่อศึกษาความเป็นไปได้ในการนำก๊าซไอโอดีนไปใช้งานด้านการบำบัดและฆ่าเชื้อโรคของน้ำดื่ม, น้ำเสีย และน้ำในบ่อน้ำกุ้ง เป็นต้น

## บทที่ 2

### ทฤษฎี

ในหัวข้อนี้จะได้กล่าวถึงรายละเอียดของทฤษฎีต่างๆ ที่เกี่ยวข้องในการทดสอบและวิจัย เป็นข้อๆ ไปตามลำดับ ดังนี้

#### 2.1 ทฤษฎีการคิดสาร์เจนแบบไฟเลนท์

พลาสมาแบบสมดุลที่ความดันต่ำหรือสถานะไฟฟ้าแรงสูงมีอิเล็กตรอน และไอออนบางส่วนจะมีพลังงานจนไม่โดยเฉลี่ยสูงกว่า พลังงานที่เกี่ยวข้องกับการเคลื่อนที่อย่างสูงของโนเดกต์ พลาสماแบบสมดุลที่ความดันสูง อนุภาคที่ถูกเร่งจะไม่เคลื่อนที่ไปไกลมาก ก่อนที่จะมีการชน ครั้งต่อไป หรือที่สถานะไฟฟ้าต่ำมากๆ พลังงานจนของอนุภาคที่ถูกเร่งอาจจะໄกส์เดียงกับพลังงาน จนของนิวตรอน คือ สถานะที่ทำกันของพลังงาน (Eliasson and Kogelschatz, 1991) การคิดสาร์เจนแบบไฟเลนท์คิดสาร์เจนเป็นการคิดสาร์เจนก้าวแบบไม่สมดุล สามารถทำงานที่ระดับความดันสูง (0.1 - 10 bar) (Eliasson and Kogelschatz, 1991) ซึ่งจะไม่เหมือนกับการคิดสาร์เจนแบบไม่สมดุลอื่นๆ ความไม่สมดุลในที่นี้หมายถึง อิเล็กตรอนในพลาสามีปริมาณพลังงาน หรืออุณหภูมิสูงกว่าอนุภาคที่เป็นกลาง การคิดสาร์เจนแบบไฟเลนท์ซึ่งโดยปกติแล้วจะเกิดขึ้นในก้าวที่มีความดันสูงซึ่งประกอบด้วยปริมาณของกระแสไฟลามนต์ (current filament) ในช่วงสั้นๆ จำนวนมาก

การคิดสาร์เจนแบบไฟเลนท์จัดเป็นแหล่งกำเนิดอิเล็กตรอนที่มีสถานะไม่คงตัว และไม่เป็นหนึ่งเดียว มันจะเป็นแหล่งกำเนิดของไฟลามนต์ที่ต่ำมาก และจะเกิดขึ้นเป็นช่วงๆ ซึ่งประกอบไปด้วยพลังงานอิเล็กตรอนที่เพียงพอ กระแสไฟฟ้าจะเป็นสิ่งที่แสดงให้เห็นถึงจำนวนที่มากมาย ของสปายค์ (spikes) ระหว่างช่วงของความต่างศักย์ในขณะที่เกิดการคิดสาร์เจน

ข้อได้เปรียบของการคิดสาร์เจนแบบไฟเลนท์ (Eliasson and Kogelschatz, 1991) คือ 1) มีผลตึงพลังงานเฉลี่ยของอิเล็กตรอนที่เกิดขึ้นโดยการเปลี่ยนแปลงผลคุณของความหนาแน่นของก้าว ( $n$ ) กับความกว้างของช่องว่าง ( $d$ ) และ 2) สามารถทำให้เห็นขั้นตอนที่แตกต่างกัน 3 ขั้นตอน ระหว่างช่วงของชีวิตของไฟลามนต์แต่ละเส้น ดังนี้

ขั้นตอนที่ 1 การสร้างการคิดสาร์เจนที่มีการบรรยายความทางไฟฟ้าเกิดขึ้น ในขั้นตอนนี้จะใช้เวลาในการเกิดเสร็จสิ้นภายในนาโนวินาที ( $ns$ )

ขั้นตอนที่ 2 กระแสพัลส์ต่อนาหรือการถ่ายโอนประจุข้ามช่องว่างจะใช้เวลาในการถ่ายโอนกระแสภายใน 1-100 นาโนวินาที (ns) และ

ขั้นตอนที่ 3 ในเวลาเดียวกันจะมีการกระตุ้นของอะตอม และไมเดกูลิกเกิดขึ้นด้วยเพื่อเป็นการเริ่มต้นของการเกิดพลังงานขนาดนี้ ในขั้นตอนนี้จะมีปฏิกิริยาทางเคมีเกิดขึ้นและจะเสร็จสิ้นในช่วงเวลาดังต่อไปนี้

ในการคิดหารูปแบบใช้เล่นที่จะต้องมีเงื่อนไขพารามิเตอร์ดังต่อไปนี้

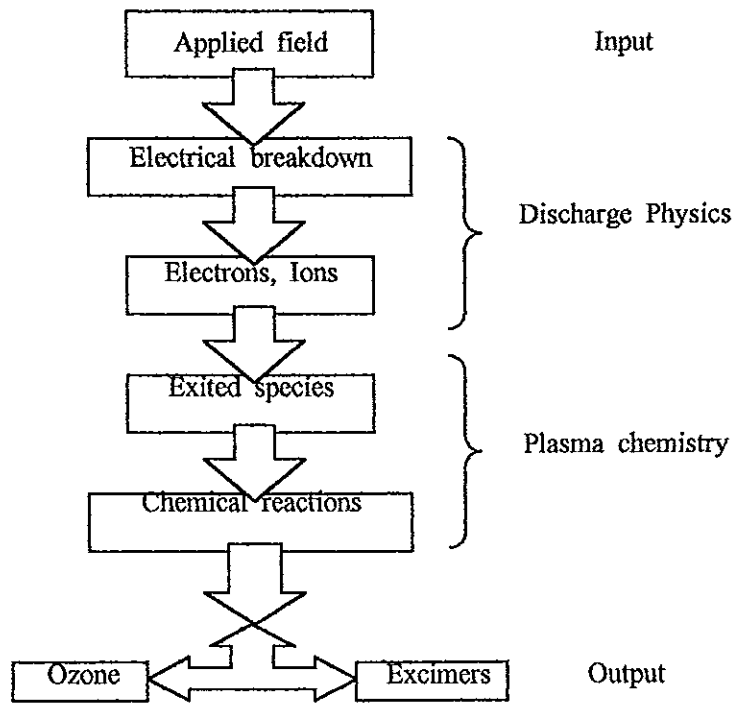
#### ลักษณะของพารามิเตอร์การคิดหารูปแบบใช้เล่นที่ (Eliasson et al., 1991)

ความดัน (Pressure)	1	bar.
สนามไฟฟ้า (Electric field)	0.1-100	kV/cm.
สนามไฟฟ้าที่ถูกซักนำ (Reduced field)	1-500	Td.
พลังงานอิเล็กตรอน (Electron energy)	1-10	eV.
ความหนาแน่นของอิเล็กตรอน (electron density)	$10^{14}$	$\text{cm}^{-3}$ .
ระดับขั้นของการไอออกไนโตรเจน (degree of ionization)	$10^{-4}$	ไร้หน่วย.

## 2.2 การสร้างโอโซน

การสังเคราะห์โอโซนในการคิดหารูปแบบใช้เล่นที่จัดเป็นการประยุกต์ที่สำคัญมากอย่างหนึ่งในกระบวนการทางเคมี และกระบวนการคิดหารูปแบบไม่สมดุล ในการคิดหารูปแบบปรินิมาตรทางเคมีจะเป็นการเร่งการเพิ่มขึ้นของอนุภาค ( เช่น อนุภาค อิเล็กตรอน และไอยոน ) ซึ่งจะทำปฏิกิริยากับอนุภาคทางเคมี ( เช่น อะตอม ไมเดกูล และเรติคัล ) ปฏิกิริยาเหล่านี้ก่อให้เกิดการกระตุ้น และการแตกตัวของกลุ่มอนุภาคทางเคมีซึ่งหลังจากนั้นจะก่อให้เกิดการสังเคราะห์กกลุ่มอนุภาคใหม่ทางเคมีเข้ม การเกิดขึ้นของโอโซนจะแสดงให้ด้วยแผนภูมิความสัมพันธ์ของการคิดหารูปแบบฟิสิกส์และทางพลาสติกเคมีในการคิดหารูปแบบใช้เล่นที่ ดังภาพประกอบ 6

ภาพประกอบ 6 แผนภูมิอธินายความสัมพันธ์ของการคิดสร้างทางฟิสิกส์ และพลาสม่าเคมีในการคิดสร้างแบบไฮเดนท์

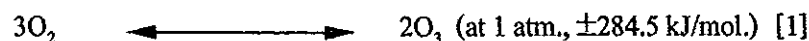


[ที่มา : Eliasson B. et al., 1991]

ไอโซนถูกผลิตขึ้นในการคิสชาร์จแบบที่มีสารไคลอเล็กทริก (Dielectric) วางกันต่อกันและเด่นของการคิสชาร์จแบบนี้คือ แสดงให้เห็นถึงขั้นของไคลอเล็กทริกระหว่างช่องของการคิสชาร์จ และที่ขึ้นอีกครั้งอย่างน้อย 1 ค้าน (Eliasson et al., 1987) จากเหตุผลนี้เองทำให้การคิสชาร์จแบบไฟเลนท์ หมายถึง การคิสชาร์จแบบมีไคลอเล็กทริกระหว่างกัน สารไคลอเล็กทริกมีหน้าที่สำคัญ 2 ประการ (Eliasson and Kogelschatz, 1991) คือประการแรกจะเป็นหน่วยป้องกันการอาร์คและสปาร์คของไฟฟ้าด้วยการจำกัดกระแสระหว่างขัวอีกไครคโดยการจำกัดปริมาณของประจุที่ถูกด่ายอนโดยไม่ไครคิสชาร์จเดี่ยว (Single microdischarge) และประการสุดท้ายสารไคลอเล็กทริกจะทำให้เกิดไม่ไครคิสชาร์จอย่างสม่ำเสมอตลอดทั่วทั้งพื้นที่ผิวด้วยขัวอีกไครค ไอโซไนโซร์ (Ozoniser) ที่เคยทำกันมานั้นใช้ศักยไฟฟ้ากระแสสลับในช่วง 50 หรือ 60 Hz. ในขณะที่ไอโซในเซอร์กำลังสูงในสมัยใหม่จะใช้ไทริสตอร์ (Thyristor) เป็นตัวป้อน ซึ่งจะควบคุมความถี่ใหม่การเปลี่ยนแปลงจาก 0.5-5 kHz. ทำให้ความหนาแน่นกำลัง (Power density) ในการคิสชาร์จเพิ่มขึ้น (Eliasson et al., 1987)

### 2.2.1 การสร้างโอโซนในอากาศ (Ozone generation in air)

โอโซน ( $O_3$ ) มีโครงสร้างไม่เกลูลที่ไม่เสถียร เกิดจากกระบวนการกันของออกซิเจน 3 อะตอม ปฏิกิริยาทั้งหมดของการสร้างโอโซน อธิบายได้ด้วยปฏิกิริยาการดูดความร้อน (Endothermic reaction) ดังสมการ (Bruno et al., 1991)

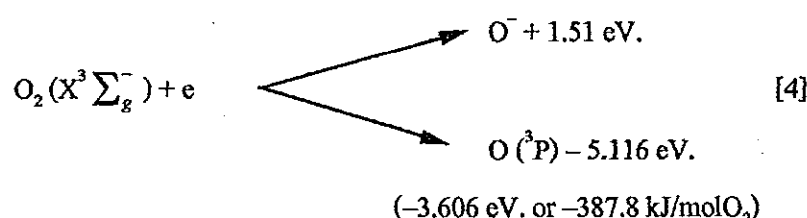


ในการผลิตโอโซนต้องเก็บข้อมูลของออกซิเจนซึ่งเกิดปฏิกิริยา กับ ไม่เกลูลของออกซิเจน สำหรับ อะตอมของออกซิเจนจะต้องใช้พลังงาน  $493.3 \text{ kJ/mol O}_2$  และ  $682.8 \text{ kJ/mol O}_2$  เปลี่ยนเป็นสภาวะ  $O(^3P)$  และ  $O(^1D)$  ตามลำดับ ดังแสดงในภาพประกอบที่ 7 (Francis, 1972)

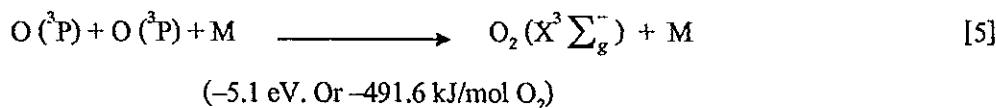


เมื่อ  $M$  หมายถึง อะตอมหรือ ไม่เกลูลอื่น ๆ

การแตกตัวของไม่เกลูลของออกซิเจน เป็นปัจจัยในการรับประทานของออกซิเจนในรูปของ ไอโซน พลังงานที่ใช้ทำให้เกิดการแตกตัวได้จากอนุภาคอิเล็กตรอนหรือ โฟตอน ที่ได้จากแหล่งกำเนิดไฟฟ้าแรงสูงซึ่งทำให้มีการคิด沙าร์จไฟฟ้าภายในช่องคิด沙าร์จ การกระทำของอิเล็กตรอนต่อ ออกซิเจนซักนำให้มีไอโซนของออกซิเจนเกิดขึ้นหรือเกิดอะตอมของออกซิเจนระดับพลังงาน ( $^3P$ )



ไอโซนของออกซิเจนสามารถที่จะกลับ恢复正常กันใหม่อยู่ในรูปไม่เกลูลที่ระดับพลังงาน ( $X^3\Sigma_g^-$ ) ของ ออกซิเจน ได้โดยกระบวนการคายความร้อน (Exothermic reaction) ยกมา ดังปฏิกิริยา

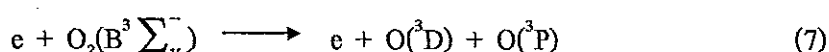
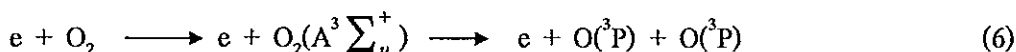


สำหรับการผลิตไอโอดินจากอากาศให้มีประสิทธิภาพจำเป็นจะต้องทำให้อากาศมีค่าอุณหภูมิจุดน้ำค้างค่าๆ ไม่เพียงความชื้นสัมพัทธ์ของอากาศเท่านั้นยังเกี่ยวกับปฏิกิริยาตน์ และสภาพการนำไฟฟ้าของผิวไดอิเล็กตริกซึ่งจะทำให้เกิดในโครงสร้างจำนวนมาก ในการดิสชาร์จจะให้ในโครงเรนไออกอน N<sup>+</sup>, N<sub>2</sub><sup>+</sup>, อะตอมของไนโตรเจน และกุ่ม โมเลกุลและอะตอมในภาวะกระตุ้นซึ่งจะเพิ่มความต้านทานให้กับระบบปฏิกิริยา (Eliasson et al., 1991) ในอากาศจะประกอบไปด้วย ออกซิเจนประมาณ 20 % และไนโตรเจนประมาณ 80 % คำนวณการเปลี่ยนแปลงทางเคมีในช่วงไนโตรดิสชาร์จใช้โครงสร้างในการทำปฏิกิริยาถึง 143 ปฏิกิริยา (Eliasson et al., 1991) ทั้งหมดในภาพประกอบ 8

ในการกำเนิดไอโอดินในอากาศสามารถสรุปได้ ดังต่อไปนี้

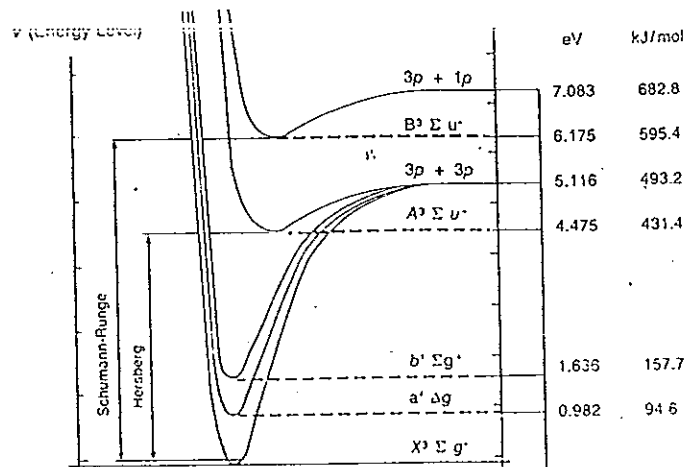
- 1.) ภายใต้เงื่อนไขปกติของไอโอดินจะร่วนออกจากไอโอดินแล้วยังตรวจพบออกไซด์ของ N<sub>2</sub>O และ N<sub>2</sub>O<sub>3</sub> อีกด้วย แต่ความเข้มข้นของออกไซด์มีขนาดต่ำกว่าความเข้มข้นของไอโอดิน
- 2.) ที่พลังงานจำเพาะสูงๆ การผลิตไอโอดินจะล้มเหลวและไนโตรเจนออกไซด์จะถูกผลิตขึ้นเท่านั้น (ถ้าพิจารณาปลดปล่อยออกมา, ในส่วนของไอโอดินจะน้อยลง) ในส่วนนี้พบว่าออกไซด์ของ NO และ NO<sub>2</sub> จะต่ำกว่า N<sub>2</sub>O
- 3.) การผลิตไอโอดินในอากาศ (ความเข้มข้นและประสิทธิภาพ) จะเพิ่มขึ้นมากกว่าที่ควรจะเป็นถ้าประมาณว่าออกซิเจนในอากาศ 21%

ขั้นตอนปฏิกิริยาที่สำคัญส่วนใหญ่ที่ดำเนินไปสู่การสร้างไอโอดินเกิดจากการแตกตัวของโมเลกุลออกซิเจน โดยอิเล็กตรอนที่มีพลังงานเหมาะสม (6-9 eV) ปฏิกิริยา three-body ในกุ่ม O, O<sub>2</sub> และ M ซึ่งเป็นตัวร่วมในการชนกันดับสาม (O<sub>2</sub>, O<sub>3</sub>, ในอากาศจะมี N<sub>2</sub>) ดังปฏิกิริยา ต่อไปนี้



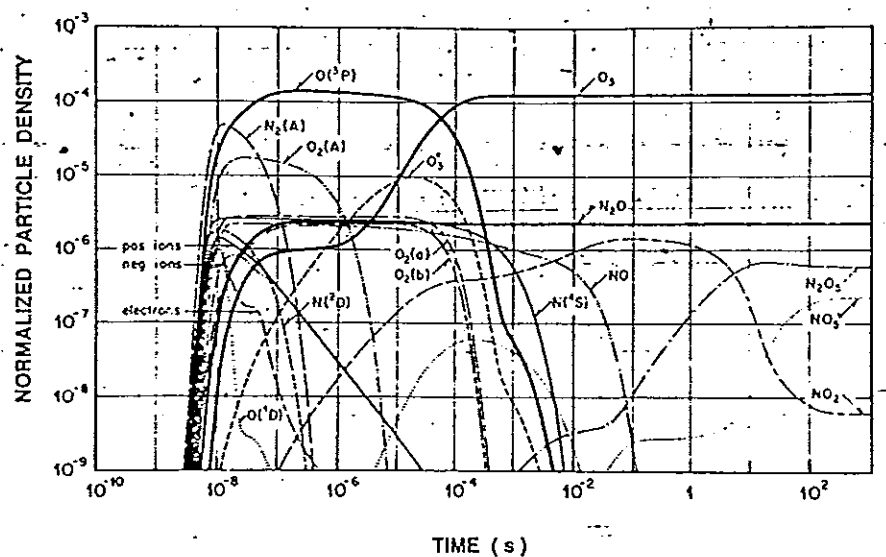
ในที่นี่ O<sub>3</sub><sup>+</sup> เป็นกุ่มไอโอดินที่อยู่ในภาวะกระตุ้น

ภาพประกอบ 7 ไออะแกรมพลังงานศักย์ของออกซิเจน



[ที่มา : หนังสือ Ozone in water and wastewater treatment. 1972, USA]

ภาพประกอบ 8 กลุ่มอนุภาคทางเคมีที่เกิดขึ้นโดยไม่procดิสชาร์จในอากาศ ( $80\% N_2 + 20\% O_2$ ,  $p = 1$  bar,  $T = 300$  K, รูปแบบที่เป็นเนื้อเดียวกัน)

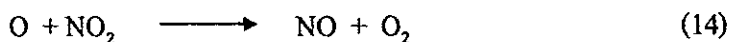
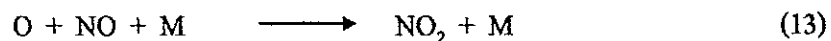


[ที่มา : Eliasson et al., 1991]

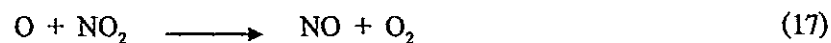
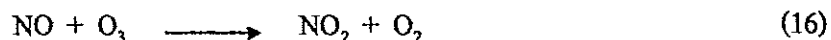
สำหรับการผลิตไอโอดินในอากาศความเข้มข้นไอโอดินไม่ถูกตัวอย่างแม่นอน ความเข้มข้นไอโอดินเพิ่มขึ้นเมื่อพัฒนาจำพวกที่ใช้เพิ่มขึ้น และอาจทำให้มีความเป็นพิษเกิดขึ้นซึ่งสัมพันธ์ต่อระดับของ  $\text{NO}_x$  ( $\text{NO}$ ,  $\text{NO}_2$ ,  $\text{NO}_3$ ,  $\text{N}_2\text{O}_3$ ) ในกระบวนการที่เกี่ยวข้องกับอะตอมในไตรเจนหรือสถานะโมเลกุลที่ถูกกระตุ้น  $\text{N}_2(\text{A}^3\Sigma_g^-)$  และ  $\text{N}_2(\text{B}^3\Pi_g)$  มีปฏิกิริยาดังต่อไปนี้ (Eliasson et al., 1991)



ผลที่ได้เพิ่มขึ้นในปฏิกิริยาการรวมกันของอะตอมออกซิเจน เป็นดังปฏิกิริยา



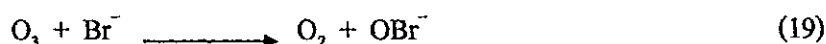
ไอโอดินจะถูกปฏิกิริยากระบวนการทำลายที่เกี่ยวข้องกับ  $\text{NO}$  และ  $\text{NO}_2$  ปฏิกิริยาดังต่อไปนี้

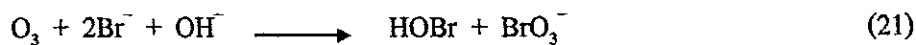
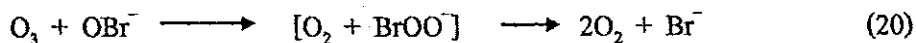


ปฏิกิริยาเหล่านี้มีความสำคัญในการสร้างไอโอดินในอากาศและยังมีปฏิกิริยาที่ชันซ้อนอีกนากนายที่เกี่ยวข้องในการกำเนิดไอโอดิน ถูกได้จากภาพนواก (ง)

### 2.2.2 ปฏิกิริยาไอโอดินกับน้ำทะเล

เมื่อนำน้ำทะเลผ่านไอโอดินจะมีปฏิกิริยาเหล่านี้เกิดขึ้น (Haag, et al., 1983)





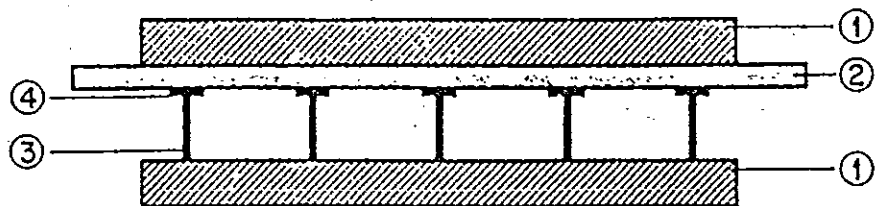
ปฏิกิริยาเหล่านี้เป็นปฏิกิริยาสูญไช่ซึ่งทำลายไอโอดินอย่างรวดเร็ว ความเข้มข้นของ  $\text{Br}^-$  น้ำทะเล เป็น 65-75 มิลลิกรัมต่อลิตร ( $\text{mg/l}$ ) ในปฏิกิริยา กับไอโอดินที่ความเข้มข้นสำหรับการฆ่าเชื้อโรคซึ่ง เป็นปัจจัยหลักๆ ของการใช้ไอโอดินกับไบรมีน ไอโอดิน จากสมการที่ 21 พบว่าไม่มีข้อเสียอัน เนื่องมาจากการสูญเสียไอโอดิน เพราะว่า  $\text{HOBr}$  ที่เป็นสารฆ่าเชื้อโรคที่ดีเมื่อยืนกัน และปฏิกิริยา นี้จะเกิดขึ้นได้เพียงอย่างเดียว ถ้าส่วนสัมผัสระหว่างก้าชกับสารละลายที่ได้ออกแบบนี้เพื่อนในการ ไฟล์ที่เหมาะสม และมีประสิทธิภาพการถ่ายเทระห่วงอากาศกับน้ำอย่างน้อย 80-85 เมอร์เซ็นต์ โดยประมาณ

### 2.3 การเกิดขึ้นของไมโครดิสชาร์จ และการเบรคดาวน์ไฟฟ้า

ข้อมูลเกี่ยวกับการเกิดการดิสชาร์จ ได้ถูกแสดงไว้ดังภาพประกอบที่ 9 โดยการประยุกต์ใช้ ความต่างศักย์ไฟฟ้าแรงสูงกระแสลับในการดิสชาร์จแบบมีโคอิเล็กทริกวาวก์ในออกซิเจนหรือ อากาศที่ปริมาณ และระดับความดันบรรยากาศ การดิสชาร์จโดยการถ่ายโอนข้ามช่องว่างอากาศ (Space gap) ทำให้เกิดจำนวนของไมโครดิสชาร์จ (Microdischarge) ที่มีความชันๆ จำนวนมาก มาก ในไมโครดิสชาร์จเหล่านี้จะถูกแบ่งกันไปในที่ว่างและช่วงเวลาต่างๆ ที่ศักย์ไฟฟ้าสูงสุด และศักย์ ไฟฟ้าต่ำสุดนั้นกระแสการจัด (Displacement current) มีค่าเท่ากับสูญญ์ ( $\text{A}/\text{dt} = 0$ ; U : ศักย์ไฟฟ้า และ  $t$  : เวลา) และการทำงานของไมโครดิสชาร์จสุดคล่อง ขณะเริ่มทำงานอีกครั้งเมื่อมีการ เบรคดาวน์ของสนามไฟฟ้าเกิดขึ้นในช่องว่างระหว่างครึ่งคลื่นตัดไปเท่านั้น (Eliasson et al., 1991)

สำหรับในงานวิจัยนี้จะใช้หลักการดิสชาร์จแบบไซเรนท์ในการสร้างเซลล์ไอโอดินเซอร์ เพื่อผลิตก้าชไอโอดิน ซึ่งมีลักษณะของไอโอดินเซอร์ที่ใช้ในการผลิตไอโอดินเป็นดังภาพประกอบที่ 10 ลักษณะของไซเรนท์ดิสชาร์จแบบไม่สมดุลเป็นปราฏการณ์ที่อยู่ระหว่างการดิสชาร์จแบบไม่ โrona และการดิสชาร์จแบบเรืองแสง เกิดขึ้นที่ความตันสูงๆ ประมาณ 1 บาร์บาท (1 atm) หรือสูง กว่านี้ ทำให้เทคนิคนี้เป็นที่นิยมในการนำมาประยุกต์ใช้ย่างมากนัก เนื่องจากไม่มีปัญหาเกี่ยวกับ ระบบสุขภูมิอากาศ ระบบการดิสชาร์จแบบนี้ส่วนใหญ่ประกอบด้วย ห่อแก้ว ซึ่งว่างดิสชาร์จ แหล่ง จ่ายศักย์ไฟฟ้าแรงสูงกระแสลับ แหล่งจ่ายความถี่วิทยุ (RF) หรืออาจใช้ควบคู่กันทั้งสองอย่าง

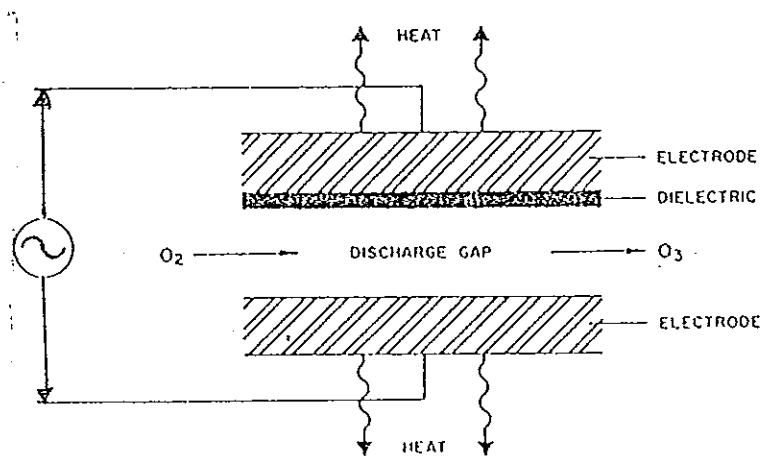
ภาพประกอบ 9 แสดงโครงสร้างของไนโตรคิสิชาร์จภายในช่องว่างอากาศ



1 : electrodes ; 2 : dielectric ; 3 : microdischarge channel and 4 : surface discharge

[ที่มา : Kogelschatz U. 1987]

ภาพประกอบ 10 แสดงลักษณะของไนโตรคิสิชาร์จ ที่อ้าศัยเทคนิคใช้เลนท์คิสิชาร์จ



(ที่มา : หนังสือ Ozone in water and wastewater treatment, 1977, USA)

### บทที่ 3

#### วัสดุและวิธีการวิจัย

การวิจัยนี้ทำให้ทราบถึงลักษณะพารามิเตอร์ต่างๆ ในทางฟิสิกส์มีผลต่อการดำเนินคือโซน และผลการนำก๊าซโซโนนไปประยุกต์ใช้ในการฝ่าเชื้อแบคทีเรียที่มีอยู่ในแหล่งน้ำต่างๆ ซึ่งจำเป็นต้องใช้วัสดุและอุปกรณ์ในการวิจัยนี้ แสดงได้ดังรายการต่อไปนี้

#### วัสดุ

วัสดุที่ใช้ในการศึกษาวิจัยครั้งนี้ แสดงได้ดังรายการต่อไปนี้ คือ

- 1.1 สารเคมีเกรดเชิงวิเคราะห์ ใช้ในการเตรียมสารละลาย สำหรับวิเคราะห์ปริมาณโซโนนที่ผลิตได้ในอากาศ
  - 1.1.1 โพแทสเซียมไอกาโนไซด์ (KI)
  - 1.1.2 ไอโอดีน(I)
  - 1.1.3 โซเดียมไดไฮดรอเจนฟอสฟท์ ( $\text{Na}_2\text{HPO}_4$ )
  - 1.1.4 โพแทสเซียมไคไฮดรอเจนฟอสฟท์ ( $\text{KH}_2\text{PO}_4$ )
- 1.2 สารซีโอໄอลิต์ (Zeolite) ชนิด 5A สำหรับดูดซับความชื้นอากาศ
- 1.3 แผ่นอะลูมิเนียมบาง (Aluminum foil)
- 1.4 ท่อ พีวีซี (PVC Tube) ขนาดเส้นผ่านศูนย์กลาง 2 นิ้ว
- 1.5 ท่อโพลีไอกล ขนาด 0.25 นิ้ว ของ Metalurgica Detroit
- 1.6 โลหะไร้สนิม (Stainless steel) เพื่อใช้สำหรับเป็นขั้วไฟฟ้า
- 1.7 หลอดทดลอง (Test tube) ขนาด 10 มิลลิลิตร
- 1.8 ขวดรูปมนต์ ขนาด 200 มิลลิลิตร
- 1.9 Volume Flash ขนาด 25, 50, 100 และ 2,000 มิลลิลิตร
- 1.10 ไมโครปีเพ็ต ขนาด 50 ถึง 1,000 ไมโครลิตร
- 1.11 การยอดเมลท์ท็อบกู้ ของ บริษัท เพชรบาร์เก็ตติ้ง จำกัด ซึ่งต้องใช้กับปืนกาล
- 1.12 แกร์ / O-ring / หัวบรรจุแก๊ส / ข้อต่อทองเหลือง , สแตนเลส

## อุปกรณ์

อุปกรณ์ที่ใช้ในสำหรับการศึกษาวิจัยครั้งนี้ ได้แบ่งอุปกรณ์ออกเป็นประเภทของแต่ละ การทดลอง ซึ่งสามารถแยกเป็นตอนๆ ได้ดังนี้

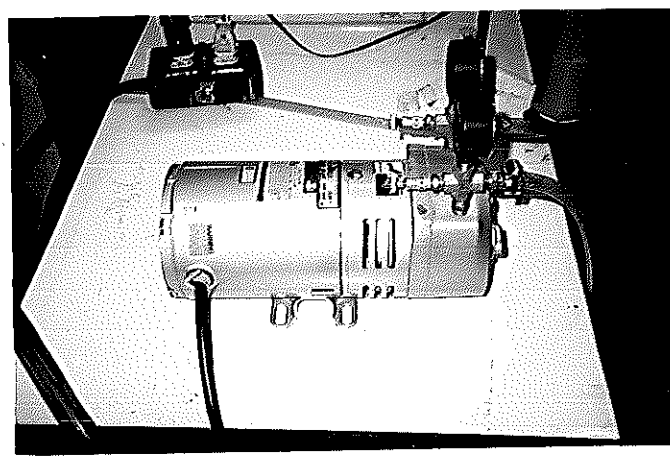
ตอนที่ 1 วัสดุอุปกรณ์ที่ใช้ และสร้างเครื่องกำเนิดไฟฟ้าโซนิกไฟฟ้าแบบใช้เดนท์

ตอนที่ 2 อุปกรณ์ที่ใช้ในการวิเคราะห์ปริมาณไฟฟ้า

ตอนที่ 1 วัสดุอุปกรณ์ที่ใช้ในการออกแบบ และสร้างเครื่องกำเนิดไฟฟ้าโซนิกไฟฟ้าแบบเดนท์

1. ตัวสูบอากาศแบบไม่ใช้น้ำมัน (Oil-less Pump) 220 โวลต์, 0.25 แรงม้า, 2.8 แอมป์, 50 เฮิรตซ์, single phase และโมเดล 0523-101Q-G21DX (บริษัท GAST)
2. ตัวต้านทาน (Resistor) ขนาด 300 กิโลโอห์ม ( $k\Omega$ ), 200 วัตต์, Type J. (ยี่ห้อ IRH)
3. หม้อแปลงไฟฟ้าแรงสูง (Transformer) กระแสสลับ (A.C.) ขนาด 15 กิโลโวลต์ 30 มิลลิแอมป์ (mA.) (บริษัท Thai Sanyo Denki)
4. เครื่องจ่ายศักย์ไฟฟ้าที่เปลี่ยนค่าได้ (Variac) ตั้งแต่ 0 ถึง 240 โวลต์ (บริษัท CHUAN HSIN) กระแสสลับ
5. นาฬิวัคศักย์ไฟฟ้า (Volt meter) กระแสสลับ ตั้งแต่ 0-300 โวลต์ (ยี่ห้อ TEE)
6. นาฬิวัคอัตราการไหลอากาศ (Flow rate meter) ตั้งแต่ 0-22 ลูกบาศก์พุ่คต่อชั่วโมง (บริษัท MATHESON)
7. สายเคเบิล (Cable) ไฟฟ้าแรงสูง ขนาด 40 กิโลโวลต์ และ 15 กิโลโวลต์ รหัส RS 388-142 (บริษัท RS)
8. นาฬิวัคกำลังไฟฟ้า (Watt hour meter) ขนาด 220 โวลต์ (V) 5 แอมป์ (A) 50 เฮิรตซ์ (Hz) 1 เฟส และ Type DD28
9. ชุดกระเบาะเมียกและแท่ง สำหรับวัดความชื้นสัมพัทธ์ของอากาศ
10. ปืนกาว (Glue gun) รุ่น TG-05 ของไทร์วัน

ภาพประกอบ 11 แสดงตัวสูบอากาศแบบไม่ใช้น้ำมัน



ภาพประกอบ 12 แสดงลักษณะของตัวค้านทาน ที่ใช้ในงานวิจัย



30 กิโล

Japan

ติกพีวีซี ฯ

การได้ปริร

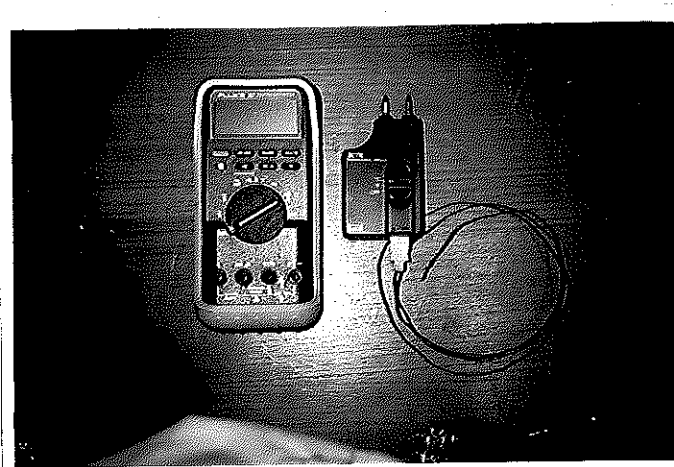
กษาผลตีบย

ภายนอกที่

ภาพประกอบ 15 แสดงลักษณะของ Midget Impinger ขนาด 125 และ 250 ml. ที่ใช้เป็นส่วนสัมผัสระหว่างก๊าซและสารละลาย ในการวิจัย



ภาพประกอบ 16 เครื่องมือวัดอุณหภูมิที่พิวัสดุ



## วิธีดำเนินการ

ในการดำเนินการวิจัยครั้งนี้ได้แบ่งการศึกษาออกเป็นขั้นตอนตามลำดับ ดังนี้คือ

- ตอนที่ 1 ออกแบบและสร้างระบบการกำเนิดโอดิโซนที่ความดันบรรยายกาศแบบต่างๆ และปรับเปลี่ยนเพิ่มผลผลิตโอดิโซนที่ได้จากทดลองโอดิโซนไซโรร์แบบต่างๆ
- ตอนที่ 2 ศึกษาพารามิเตอร์ต่างๆ ที่มีผลต่อการผลิตก๊าซโอดิโซนของเซลล์โอดิโซนในไซโรร์ที่มีคิสชาร์จแบบไอลเดนท์
- ตอนที่ 3 ศึกษาการประยุกต์ใช้ก๊าซโอดิโซนที่ผลิตได้กับการฝ่าเมืองเบคทีเรียนน้ำดื่ม ผ่านการกรอง, น้ำทึ้ง และน้ำนาทุ่ง

**ตอนที่ 1 ศึกษาหลักการ, ออกแบบและสร้างระบบการกำเนิดโอดิโซนที่ความดันบรรยายกาศซึ่งเซลล์โอดิโซนไซโรร์มีคิสชาร์จแบบไอลเดนท์**

ในตอนนี้จะได้ศึกษาหลักการของเซลล์โอดิโซนไซโรร์ และระบบการกำเนิดโอดิโซนที่ห้อง รวมไปถึงการออกแบบและสร้างเซลล์โอดิโซนไซโรร์ และระบบห้องหอนค ในการศึกษานี้ได้แบ่งระบบการกำเนิดโอดิโซนออกเป็น 3 ส่วน ดังต่อไปนี้ คือ (1) เซลล์โอดิโซนไซโรร์; (2) ระบบการเตรียมอากาศ และ (3) แหล่งจ่ายไฟฟ้าแรงดันสูงกระแสสลับ เพื่อให้ง่ายในการศึกษาวิจัยเกี่ยวกับการกำเนิดโอดิโซน ทั้งนี้ได้แบ่งการศึกษาวิจัยออกเป็น ดังนี้

1. ศึกษาทฤษฎีและหลักการออกแบบเซลล์โอดิโซนไซโรร์
2. ศึกษาค่าศักย์ไฟฟ้าของแหล่งจ่ายไฟฟ้าแรงดันสูงกระแสสลับ

### 1. ทฤษฎี และหลักการออกแบบ

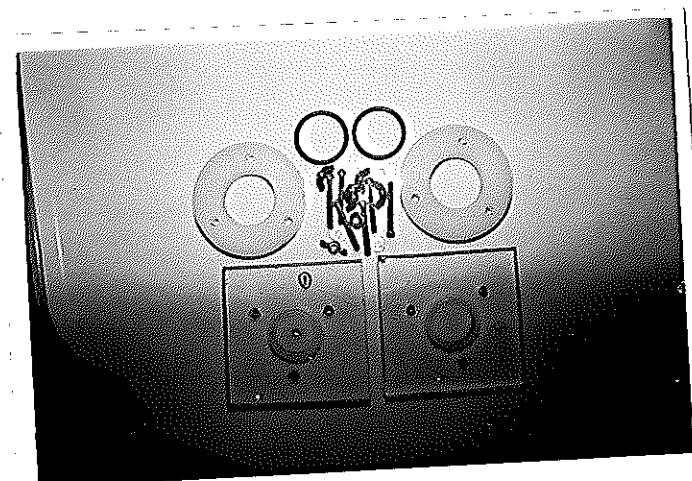
โอดิโซนไซโรร์เซลล์เป็นอุปกรณ์รูปแบบหนึ่งทางไฟฟ้าที่มีคิสชาร์จแบบไอลเดนท์ (Silent discharge) ซึ่งใช้ในการกำเนิดก๊าซโอดิโซน โดยใช้ไฟฟ้าศักย์สูงกระแสสลับที่กำเนิดจากห้องแม่ปิงไฟฟ้าแรงดันสูงกระแสสลับ โดยที่ต่ออนุกรมเซลล์โอดิโซนไซโรร์ซึ่งมีช่องว่างคิสชาร์จ (Discharge gap) ให้อากาศไหลผ่าน ส่วนเซลล์โอดิโซนไซโรร์เมื่อต่ออยู่ในวงจรจะทำหน้าที่เป็นเตม่อนตัวเก็บประจุตัวหนึ่ง เมื่อไฟฟ้าศักย์สูงกระแสสลับคร่อมช่องว่างจะทำให้เกิดคิสชาร์จไฟฟ้าแบบไอลเดนท์ซึ่งเซลล์โอดิโซนไซโรร์จะกำเนิดก๊าซโอดิโซนเพื่อใช้ในการศึกษาวิจัยครั้งนี้

## 1.1 วัสดุและวิธีการ

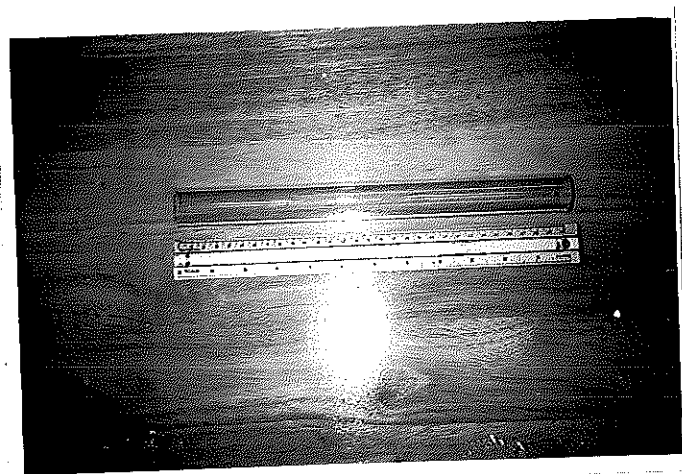
### 1.1.1 เซลล์โซลาร์

จากภาพประกอบ 17 จะพบว่าเซลล์โซลาร์ที่ใช้ในการวิจัยประกอบด้วยข้ออ้างอิงคือครึ่ง 2 ชั้น ที่ทำจากโลหะ ไรส์นิม มีถักยันเป็นรูปทรงกระบอกภายในกลางระหว่างชั้นกันโดยที่ระหว่างอิเล็กโทรคัททั้งสองจะมีห้องแก้วที่อยู่ในความร้อนของอิเล็กโทรคัททั้งสอง ทำให้มีช่องว่างการดิสชาร์จ (Discharge gap) ระหว่างอิเล็กโทรคายานอกกับผิวภายนอกของห้องแก้วที่อยู่ในความร้อน แต่เนื่องจากมีปั๊บหานเกียวกับช่องว่างที่ไม่แนบสนิทพอต่อระหว่างผิวภายนอกของอิเล็กโทรคายานกับห้องแก้วที่อยู่ในความร้อนผู้วิจัยจึงแกะปั๊บหานโดยการใช้แหน่อน้ำมันนีบบานหันรอบข้าวอิเล็กโทรคายานในเพื่อให้อิเล็กโทรคายานในแนบกับห้องแก้วที่อยู่ในความร้อน ซึ่งจะได้ช่องว่างดิสชาร์จ (Discharge gap) ประมาณ 2.45 มิลลิเมตร ด้านปลายห้องสองของข้าวอิเล็กโทรคายานมีแผ่นอะคลิลิกซึ่งติดตัวร่องเป็นวงกลมให้อิเล็กโทรคัททั้งสองสามารถผ่านเข้าไปอยู่ในเนื้อได้ และเพลตอนที่จะเจาะร่องสำหรับมีดคิดกับแผ่นอะคลิลิก พื้นที่ที่มีดอยู่กับการรั่วของก๊าซระหว่างแผ่นอะคลิลิกและเพลตอนสำหรับการใช้ไอลริงชิลิโคน ปลายด้านหนึ่งจะมีอิเล็กโทรคัท ผลลัพธ์จากการดูดอากาศภายในต่อ กับสายไฟที่แรงดันสูง ส่วนอีกด้านหนึ่งจะต่อ กับอิเล็กโทรคายานอก (ดูได้จากภาพประกอบ 16) สำหรับการทดลองนี้ได้เลือกเซลล์โซลาร์ขนาดความยาว 0.3 เมตร ในการทดลองศึกษาวิจัยภาพประกอบ 17 แสดงภาพถ่ายส่วนประกอบของเซลล์โซลาร์ที่ใช้ในการศึกษาวิจัย

(ก) แผ่นอะคลิลิก พลาสติกและน็อต



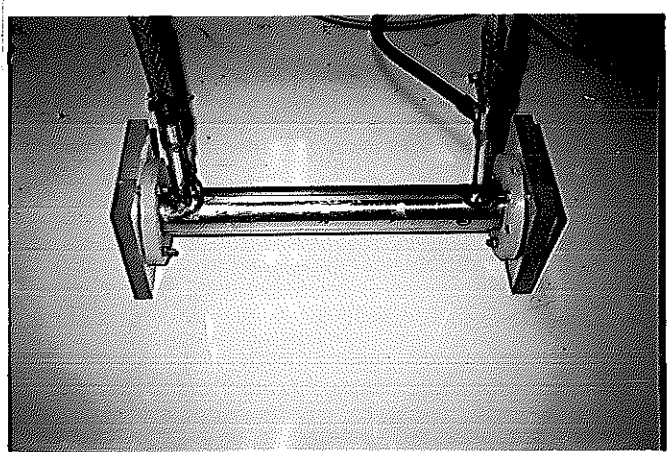
(ข) ท่อแก้วทนความร้อน (Pyrex tube)



(ค) อิเล็กโทรคภายใน และภายนอก



ภาพประกอบ 18 แสดงภาพถ่ายเซลล์ไอโซในเซอร์ที่ประกอบเรียบร้อยแล้ว



เนื่องจากเซลล์ไอโซในเซอร์มีองค์ประกอบที่สัมพันธ์กับลักษณะของตัวเก็บประจุ ตัวยเหตุนี้จึงสามารถหาค่าความจุไฟฟ้าสำหรับเซลล์ไอโซในเซอร์แบบท่อทรงกระบอก คำนวณได้จากสูตร (Francis, 1972)

$$C(f) = (2\pi \epsilon \epsilon_0 L) / (r_e / r_i) \quad [22]$$

เมื่อ :  $r_e, r_i$  = รัศมีภายนอกและภายในของขั้วไฟฟ้า, เมตร (m)

$L$  = ความยาวของขั้วไฟฟ้า, เมตร (m)

$\epsilon$  = ค่าคงที่ไอดิคติกในสัญญาการ เท่ากับ  $8.854 \times 10^{-12}$  ฟาร์ดเมตร

$\epsilon_0$  = ค่าคงที่ไอดิคติกสัมพันธ์, ไวรอน่วย

$C(f)$  = ค่าความจุไฟฟ้า, ฟาร์ด

สำหรับที่เจื่อนไขเหมาะสม การผลิตไอโซนขึ้นอยู่กับความถันพันธ์ ดังต่อไปนี้  
(Rosen, 1973)

$$V \cong pg \quad [23]$$

และ

$$(Y/A) \cong \frac{f\varepsilon V^2}{d} \quad [24]$$

เมื่อ  $(Y/A)$  = ผลผลิตไอโซนต่อหน่วยพื้นที่ของผิวอิเล็กโทรดภายในที่เหมาะสม

$V$  = ศักยไฟฟ้าสูงสุดต่อกันซองช่องว่างคิลโตร์ , โวลต์ (V)

$p$  = ความดันก๊าซในช่องว่างคิลโตร์ , ปอนด์ต่อตารางนิ้ว (psia)

$g$  = ความถ่วงของช่องว่างคิลโตร์ , นิว (in)

$f$  = ความถี่ของแหล่งจ่ายศักยไฟฟ้า , เฮิรตซ์ (Hz)

$\varepsilon$  = ค่าคงที่ไดอิเล็กทริกในสัญญาณ เท่ากับ  $8.854 \times 10^{-12}$  พารัคต่อมเมตร

$d$  = ความหนาของไดอิเล็กทริก , นิว (in)

เมื่อคำนวณทราบค่าของความจุไฟฟ้าของเซลล์ไอโซนเซอร์ ก็สามารถนำค่านี้ไปใช้ในการคำนวณหาพลังงานหั่นหมัดที่ใช้ในการทำให้เกิดไอโซนของระบบໄค์ไอยสูตร ดังต่อไปนี้

$$E = \frac{1}{2} CV^2 \quad [25]$$

ในที่นี่  $E$  = พลังงานไฟฟ้า , จูล (J)

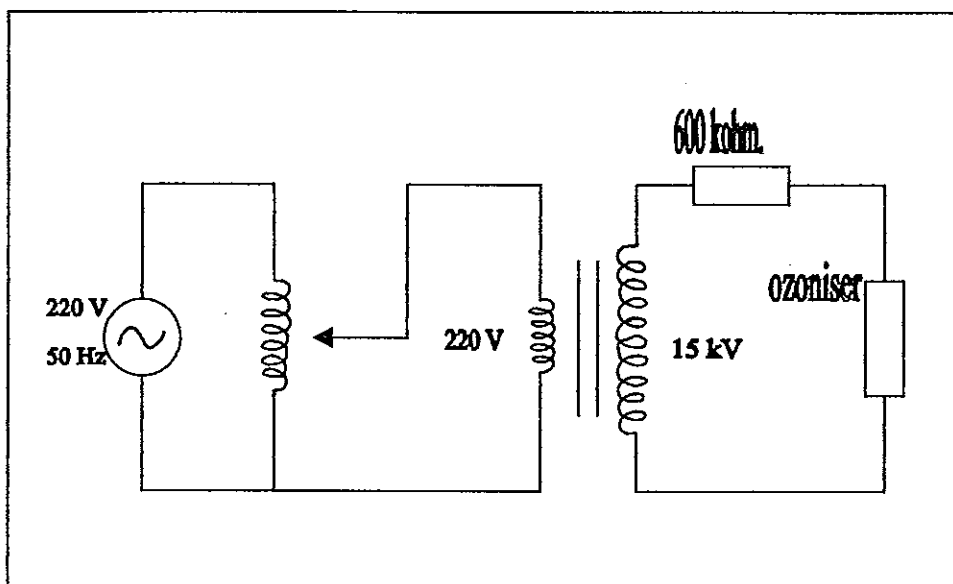
$C$  = ความจุไฟฟ้า , พารัค (F)

$V$  = ศักยไฟฟ้า , โวลต์ (V)

### 1.1.2 แหล่งจ่ายไฟฟ้าแรงดันสูงกระแสสลับ

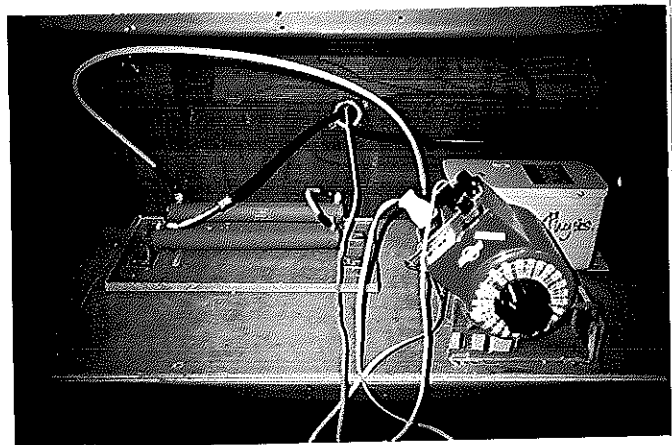
รายละเอียดของวงจรที่ใช้แสดงได้ดังภาพประกอบ 19

ภาพประกอบ 19 แสดงวงจรจ่ายไฟฟ้าแรงดันสูงกระแสสลับ ที่ต่ออนุกรมกับเซลล์โอดิโซนizer

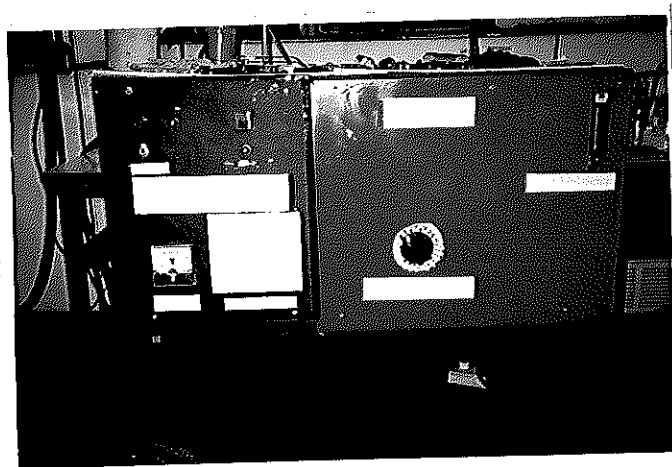


วงจรนี้ประกอบด้วย โวลต์มิเตอร์ที่ปรับค่าได้ตั้งแต่ 0 ถึง 240 โวลต์ ซึ่งจะต่อเข้าไปยังหม้อแปลงไฟฟ้าแรงสูงกระแสสลับ ขนาด 0 ถึง 15 กิโลโวลต์ จากหม้อแปลงจะต่อเข้ากับหัวด้านทำงานขนาด 600 กิโลโอม์ (k $\Omega$ ) ทันกำลังไฟฟ้าได้ 400 วัตต์ (W) เพื่อจำกัดกระแสที่จะเข้าไปยังโอดิโซนizer เซลล์และใช้ป้องกันกระแสไฟลัดลับmanyang หม้อแปลงไฟฟ้า ก่อนที่จะนำแหน่งจ่ายไฟฟ้าแรงดันสูงไปใช้กับโอดิโซนizer เซลล์จะต้องมีการปรับเทียบไฟฟ้าแรงดันสูงกระแสสลับของหม้อแปลงไฟฟ้าที่อุณหภูมิกับค่าโวลต์เท่าที่ป้อนให้กับหม้อแปลงไฟฟ้าเสียก่อน โดยใช้โวลต์มิเตอร์แบบไฟฟ้าสถิต (Electrostatic Voltmeter)

ภาพประกอบ 20 แสดงภาพถ่ายส่วนประกอบของแหล่งจ่ายไฟฟ้าแรงดันสูงกระแสลับ



ภาพประกอบ 21 แสดงภาพถ่ายของความด้านหน้าของแหล่งจ่ายไฟฟ้าแรงสูง

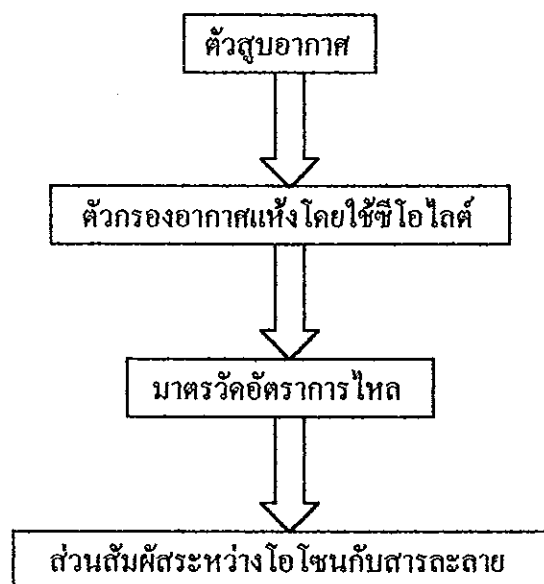


จากภาพประกอบ 19 จะเห็นได้ว่าเมื่อถังจ่ายไฟฟ้าแรงดันสูงกระแสลับที่ใช้ป้อนให้กับเซลล์ไฮโซในเซอร์นี้ไม่มีความลับซับซ้อน และง่ายในการนำไปปฏิบัติ

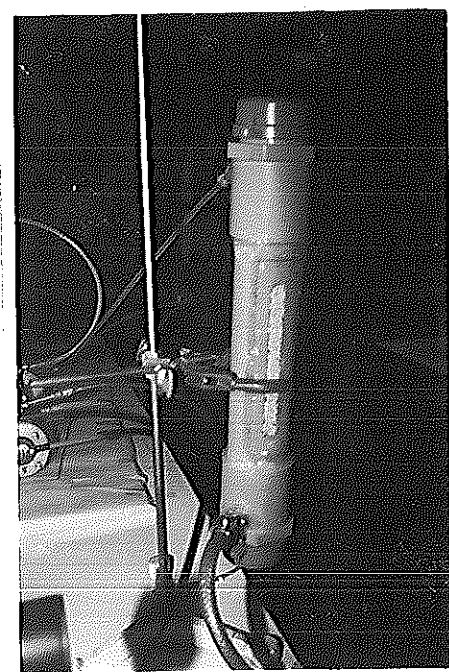
#### 1.1.3 ระบบการเตรียมอากาศ (Air preparation of system)

ในการทดลองได้เลือกใช้อากาศความดันบรรยายกาศ ที่อุณหภูมิห้องปกติและห้องปรับอากาศ ในการผลิตก๊าซไฮโซน ที่เลือกอากาศเนื่องจากคำนึงถึงความประหยัด และเป็นสิ่งที่มีอยู่แล้วในบรรยายกาศพื้นผิวโลกซึ่งหาได้ง่ายอีกด้วย นอกจากนี้ยังคำนึงถึงการนำประยุกต์ใช้งานจริง ในสถานที่จริงนอกห้องปฏิบัติการเมื่อมีการพัฒนาระบบต่อไปในอนาคต

ภาพประกอบ 22 โถอะแกรมของระบบการเตรียมอากาศ



ภาพประกอบ 23 แสดงภาพถ่ายตัวกรองอากาศแห้งที่ใช้สาร Zeolite 5A สร้างขึ้นเองที่ใช้ในงานวิจัย

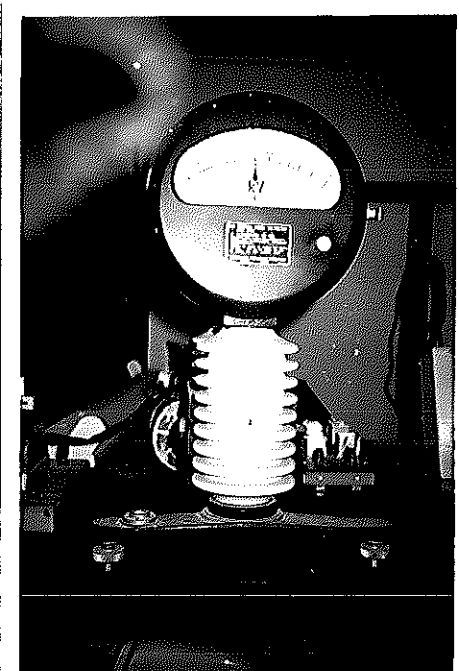


จากภาพประกอบ 23 พบว่าตัวกรองอากาศแห้งประกอบด้วยพลาสติกโพลีไวนิลคลอไรด์ (PVC) เป็นส่วนห่อหุ้มเนื้อสารซีไอ ໄโลต์ทึ่งหนด โดยที่ปลายทั้งสองด้านของพีวีซีนี้จะมีฟองไห้ก๊าซผ่านเข้า-ออก และภายในจะกันด้วยแผ่นโลหะ ไร์สนิมจะชูอย่างสมมาตรกันด้านปลายทั้งสองพร้อมทั้งมีฟองน้ำใบสังเคราะห์รองอีกชั้นหนึ่งเพื่อป้องกันไม่ให้ซีไอ ໄโลต์แพร่กระจายเข้าไปในไอโซในเชอร์ การที่เลือกใช้ซีไอ ໄโลต์เนื่องจากเป็นสารที่มีอยู่แล้วในห้องปฏิบัติการซึ่งจะทำให้ลดค่าใช้จ่าย และซีไอ ໄโลต์ยังมีคุณสมบัติในการดูดซับไอน้ำ ซึ่งจะช่วยให้การผลิตก๊าซ ไอโซมีปัญหาลดน้อยลง

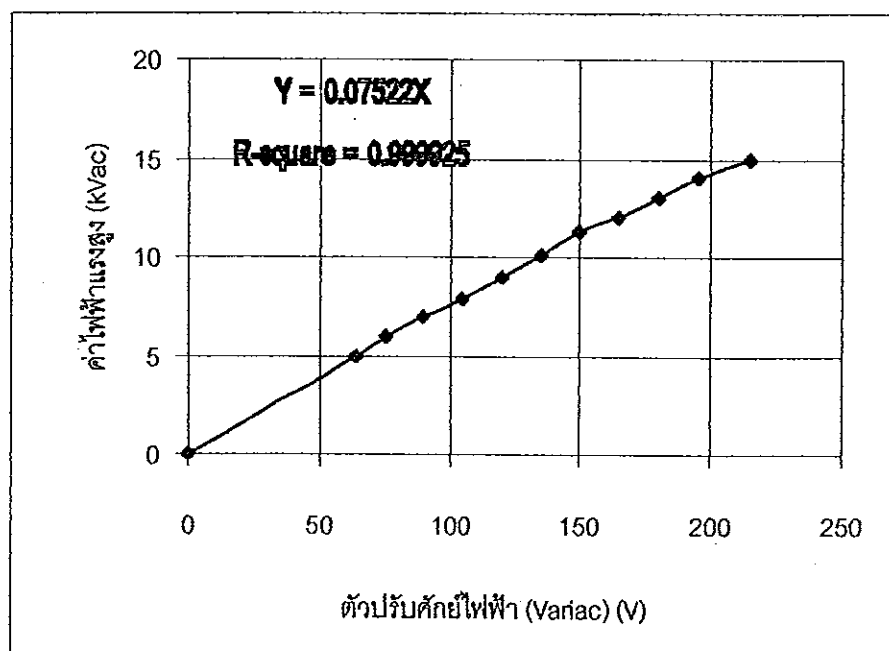
## 2. การวัดค่าศักย์ไฟฟ้าแรงดันสูงกระแสลับของแหล่งจ่ายไฟฟ้าแรงดันสูงกระแสลับ

แหล่งจ่ายไฟฟ้าแรงดันสูงที่จ่ายให้กับไอโซในเชอร์จะให้ไฟฟ้าแรงดันสูงกระแสลับออกมายูในช่วง 0 ถึง 15 กิโลโวลต์ ซึ่งผู้วิจัยจะต้องทำการปรับเทียบให้ทราบตำแหน่งของตัวปรับตัวก็คือไฟฟ้าที่แนนอนก่อนเข้าหม้อแปลงไฟฟ้าแรงดันสูงว่ามีความสัมพันธ์กันอย่างไร โดยใช้อุปกรณ์ซึ่งเป็นมิเตอร์แบบไฟฟ้าสถิต (Electrostatic meter) วัดแรงดันไฟฟ้าแรงดันสูงที่ออกจากหม้อแปลงไฟฟ้าแรงดันสูง

ภาพประกอบ 24 แสดงภาพถ่ายมิเตอร์แบบไฟฟ้าสถิต ที่ใช้ในการปรับเทียบไฟฟ้าแรงดันสูง กระแสสัมของแหล่งจ่ายไฟฟ้าที่ใช้ในงานวิจัย



ภาพประกอบ 25 แสดงค่าการปรับเทียบศักย์ไฟฟ้าก่อนเข้าห้องแม่ปิงกับศักย์ไฟฟ้าแรงสูง



## ตอนที่ 2 ศึกษาพารามิเตอร์ต่างๆ ที่มีผลต่อการผลิตไอโอดีนของเซลล์ไอโอดีนเซอร์

ในตอนนี้จะได้กล่าวถึงการศึกษาถึงการเปลี่ยนแปลงพารามิเตอร์ที่มีผลต่อการผลิตก๊าซไอโอดีนโดยการควบคุมพารามิเตอร์อื่นๆ ที่ไม่เกี่ยวข้องให้คงที่ พร้อมทั้งขั้นตอนการกำเนิดไอโอดีนและทดสอบการทำงานของระบบว่าสามารถที่จะทำงานได้จริงหรือไม่ ในตอนนี้จะแบ่งเป็นสองส่วน ตอนการศึกษาออกแบบคัดคังนี้

1. ศึกษาทฤษฎีและหลักการในการวัดไอโอดีนทางกายภาพและทางเคมี
2. ศึกษาและทดสอบการทำงานของระบบการกำเนิดไอโอดีนทั้งหมด
3. ศึกษาพารามิเตอร์ที่เหมาะสมในการผลิตไอโอดีนของระบบ
4. ศึกษาผลของการเปลี่ยนแปลงพารามิเตอร์ต่อการผลิตก๊าซไอโอดีนที่ภาวะเหมาะสมของระบบ
5. ศึกษาผลการทดลองที่เกิดขึ้นเนื่องจากการผลิตไอโอดีนของระบบ

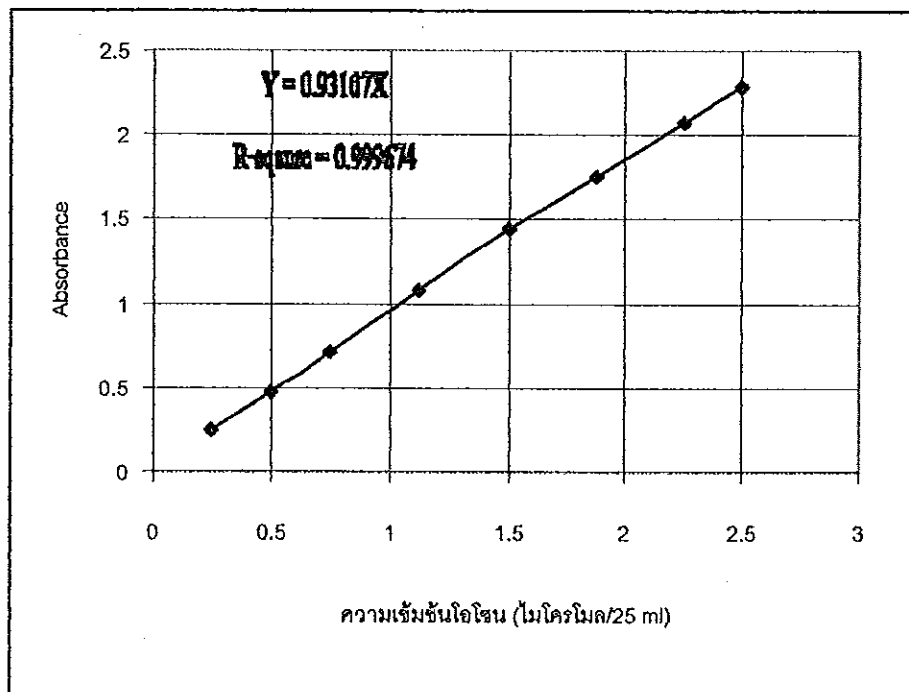
### 1. ศึกษาทฤษฎีและหลักการในการวัดไอโอดีนทางกายภาพและทางเคมี

ก๊าซไอโอดีนที่ผลิตได้นี้จะต้องมีวิธีการวัดที่แม่นยำและน่าเชื่อถือ ได้ในระดับหนึ่งเนื่องจากเป็นก๊าซที่ไม่เสถียรที่ความคันบรรยายมีการแตกตัวไปเป็นออกซิเจนได้ในเวลารวดเร็วซึ่งในที่นี้ผู้วิจัยได้เลือกวิธีโพแทสเซียมไอกอได (KI Method) ซึ่งเป็นวิธีการวัดไอโอดีนในอากาศที่อยู่ในวิธีมาตรฐาน (Moris, 1977) วิธีนี้อาศัยหลักการที่ก๊าซไอโอดีนจะไปออกซิไดส์ (Oxidise) สารประกอบไออกอีดีน (เทเรย์นจาก KI 1%) ซึ่งไม่มีสีให้เปลี่ยนเป็นสีของไอกอไดน แล้วนำไปอ่านค่าการดูดกลืนด้วยเครื่องสเปกโทร ไฟฟอนิเตอร์ ที่ความยาวคลื่น 352 นาโนเมตร ปฏิกิริยาที่ใช้ในการทดสอบก๊าซไอโอดีนที่ทำกับสารประกอบไออกอีนจะเป็นดังนี้ (Moris, 1977)



ค่าการดูดกลืนที่อ่านได้ต้องนำไปเทียบกับกราฟการปรับเทียบมาตรฐานที่ทำไว้ก่อนในขั้นตอนการเตรียมสารละลาย ค่าที่อ่านได้จากกราฟจะเป็น ใบโครงโนโลจีนต่อปริมาณสารที่ใช้เตรียม ในการทดลองนี้จะเป็น  $\mu\text{mol O}_3/25 \text{ mL}$  แล้วนำค่าที่ได้จากกราฟมาตรฐานนี้ไปคำนวณเพื่อหาค่าปริมาณความเข้มข้นของไอโอดีนซึ่งได้จากภาคผนวก ค.

ภาพประกอบ 26 แสดงกราฟการปรับเทียบมาตรฐานของก๊าซไอโอดีนที่ใช้ในการวิจัย



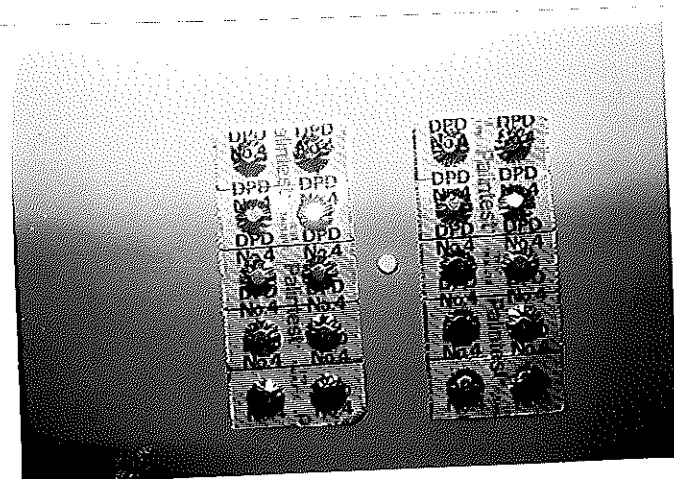
คังนั่นค่าการอุดกัลิน ที่ได้จากการทดสอบจะต้องนำมาปรับเทียบกับค่าที่ได้ในกราฟนี้ เพื่อหาปริมาณไอโอดีน ตามสมการ  $Y = 0.93107X$

สำหรับการหาค่าปริมาณก๊าซไอโอดีนที่ละลายในน้ำ จะใช้ชุดในการทดสอบปริมาณไอโอดีน ซึ่งวัดปริมาณไอโอดีนในช่วง 0.1 – 1.0 มิลิกรัมต่อลิตร โดยอาศัยเม็ดสารทดสอบ ซึ่งใช้ละลายในน้ำ ก้อนที่ต้องการทดสอบก๊าซไอโอดีน ลักษณะของงานปรับเทียบสีและเม็ดสารทดสอบก๊าซไอโอดีนสามารถดูได้จากภาพประกอบ 27 และ 28

ภาพประกอบ 27 แสดงภาพถ่ายงานปริ้นเทียบสี



ภาพประกอบ 28 แสดงภาพถ่ายเม็ดสารทดสอบวัดปริมาณ ไอโซนที่ละลายในน้ำ



## 2. ศึกษาและทดสอบการทำงานของระบบการกำเนิดไอโอดีนทั้งหมด

ในส่วนนี้ผู้วิจัยจำเป็นจะต้องมีการทดสอบและตรวจสอบการทำงานของระบบการกำเนิดก๊าซไอโอดีนเนื่องจากอุปกรณ์ส่วนใหญ่เป็นสิ่งที่ทำขึ้นเองซึ่งอาจมีความผิดพลาดที่จะต้องแก้ไขและปรับปรุงเพิ่มเติมนอกจากนี้ยังมีองค์ประกอบที่อาจจะเกิดขึ้นได้อีกด้วย ดังนั้น才ทำการทดสอบระบบแยกออก เป็นลำดับได้ดังนี้

### 2.1 การตรวจสอบการรั่วไหลของอากาศในระบบ

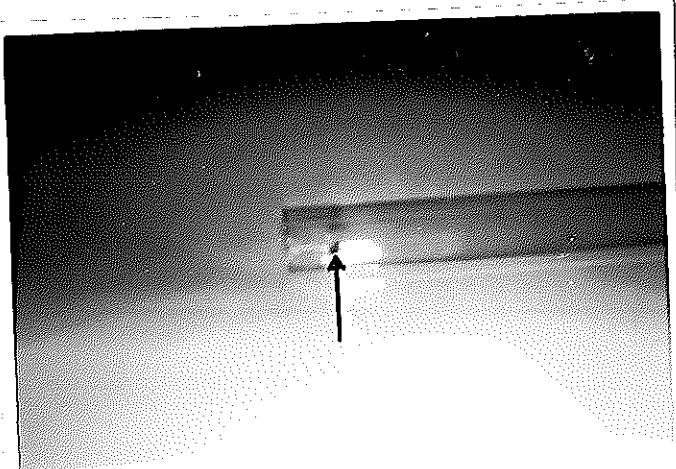
2.1.1 ทำการตรวจสอบได้ด้วยวิธีง่ายๆ ทางกายภาพ คือ การใช้น้ำละลายน้ำยาล้างงานให้เป็นฟองแล้วฉีดลงบนบริเวณรอยต่อที่เป็นทางเดินของอากาศ ผู้วิจัยก็สามารถสังเกตการรั่วไหลของอากาศที่ออกจากระบบได้ ทำการแก้ไขโดยการใช้การท่ออนกรูอุดรอยรั่ว

2.2 การตรวจสอบอาร์คไฟไฟฟ้าที่เกิดขึ้นภายในเซลล์ไอโอดีนเชื้อร้ายที่คิด沙าร์จไฟฟ้าเพิ่มนาก็เป็น

2.2.1 การตรวจสอบนี้จำเป็นต้องมีความรอบคอบและระมัดระวังเป็นพิเศษเนื่องจากเป็นไฟฟ้าแรงสูง ทำได้โดยทดลองปรับค่าศักย์ไฟฟ้าต่ำๆ แล้วเพิ่มขึ้นทีละน้อยๆ (ในที่นี่อยู่ในช่วง 0 - 12 กิโลโวลต์) ถ้าเกิดมีการอาร์คไฟฟ้าจะสามารถได้ยินและสังเกตเห็นได้ และจะต้องหยุดการคิด沙าร์จทันที เพื่อจะทำให้วัสดุหรือชิ้นส่วนงานมีความเสียหาย และเป็นอันตรายต่อผู้ทำการทดลอง จึงต้องต่อจากนั้นผู้วิจัยต้องทำการตรวจสอบ และแก้ไขอุปกรณ์ใหม่จนสามารถทดลองได้

ภาพประกอบ 29 แสดงภาพถ่ายความเสียหายอันเนื่องจากอาร์คไฟฟ้าซึ่งทำให้เกิดสนิมร้อนไฟฟ้า

ใหม่



### 3. ศึกษาทดลองหาพารามิเตอร์ที่เหมาะสมในการผลิตไอโซนของระบบ

จากที่กล่าวมาแล้วเมื่อระบบการกำเนิดไอโซนสามารถทำงานได้แล้ว ผู้วิจัยจำเป็นที่จะต้องหาดึงภาวะที่เหมาะสมในการผลิตก๊าซไอโซนของระบบเนื่องจาก ต้องเลือกภาวะที่เหมาะสมนี้ไปใช้ในการศึกษาในลำดับต่อไป สำหรับในส่วนนี้ได้จัดการศึกษาทดลองออกเป็นลำดับดังต่อไปนี้

#### 3.1 ศึกษาโดยการวัดปริมาณผลผลิตไอโซนในอากาศที่ได้

ในขั้นนี้ผู้วิจัยจะจัดอุปกรณ์ในการทดลองโดยจะให้มีการเปลี่ยนแปลงศักย์ไฟฟ้า แบ่งเป็นระดับได้ 3 ระดับ ดังนี้ 1. ศักย์ไฟฟ้า 7.14 กิโลโวลต์ 2. ศักย์ไฟฟ้า 7.90 กิโลโวลต์ และ 3. ศักย์ไฟฟ้า 8.65 กิโลโวลต์ ค่าเหล่านี้เป็นค่าที่ได้จากการทำ Calibration curve ระหว่าง Variac output กับ Neon-transformer output ในแต่ละระดับจะมีการวัดปริมาณไอโซนในอากาศ ที่อัตราการไหลดของอากาศ แบ่งออกเป็นระดับได้ 3 ระดับ คือ 1. อัตราการไหลดของอากาศ 0.94 ลิตร ต่อนาที 2. อัตราการไหลดของอากาศ 1.42 ลิตรต่อนาที และ 3. อัตราการไหลดของอากาศ 1.89 ลิตรต่อนาที จะต้องทำการทดลองในแต่ละระดับให้เสร็จสิ้นเป็นลำดับ ในที่นี้ความคุณให้พารามิเตอร์เหล่านี้คงที่ คือ ระยะเวลาในการคิสชาร์จ 1 นาที และความชื้นสัมพัทธ์ของอากาศ ประมาณ 60 %RH หรืออุณหภูมิในห้องปรับอากาศ ประมาณ 25 องศาเซลเซียส

### 4. ศึกษาทดลองเปลี่ยนแปลงพารามิเตอร์ต่อการผลิตก๊าซไอโซนที่ภาวะเหมาะสมของระบบ

จากการทดลองที่ผ่านมาผู้วิจัยเลือกค่าพารามิเตอร์ที่ศักย์ไฟฟ้า 7.90 กิโลโวลต์และอัตราการไหลดของอากาศ 1.42 ลิตรต่อนาที เป็นภาวะเหมาะสมของระบบการกำเนิดไอโซนแล้ว ในหัวข้อนี้จะได้ทำการศึกษาทดลองโดยการเปลี่ยนแปลงค่าพารามิเตอร์ต่างๆ ต่อปริมาณผลผลิตก๊าซไอโซนที่ได้จากเงื่อนไขต่างๆ ซึ่งได้ทำการทดลองแบ่งออกที่เงื่อนไขภาวะต่างๆ ดังนี้

1. การเปลี่ยนแปลงศักย์ไฟฟ้า
2. การเปลี่ยนแปลงอัตราการไหลดของอากาศ
3. วัดผลผลิตไอโซนกับการเปลี่ยนแปลงวัสดุที่ใช้

ในทุกๆ การทดลองจะทำการทดลองที่ความดันบรรยากาศ ซึ่งมีรายละเอียดของหัวข้อต่างๆ เป็นดังนี้

#### 4.1 การเปลี่ยนแปลงศักย์ไฟฟ้า

การทดลองนี้จะปรับค่าศักย์ไฟฟ้าก่อนเข้าหม้อแปลงไฟฟ้า การเปลี่ยนแปลงค่าศักย์ไฟฟ้านี้จะปรับที่ตัวปรับค่าโวลต์ ดังแสดงมาแล้วในอุปกรณ์ ซึ่งจะปรับได้ตามต้องการ โดยถูกได้จากการ

ที่ทำการปรับเทียบไว้แล้ว ภาพประกอบที่ ได้ทำการปรับค่าสักยีไฟฟ้า 6 ค่า คือ 1.) ที่สักยีไฟฟ้า 95 โวลต์ หรือ เทียบได้กับ 7.14 กิโลโวลต์ 2.) ที่สักยีไฟฟ้า 100 โวลต์ หรือ เทียบได้กับ 7.52 กิโลโวลต์ 3.) ที่สักยีไฟฟ้า 105 โวลต์ หรือ เทียบได้กับ 7.90 กิโลโวลต์ 4.) ที่สักยีไฟฟ้า 110 โวลต์ หรือ เทียบได้กับ 8.27 กิโลโวลต์ 5.) ที่สักยีไฟฟ้า 115 โวลต์ หรือ เทียบได้กับ 8.65 กิโลโวลต์ และ 6.) ที่สักยีไฟฟ้า 120 โวลต์ หรือ เทียบได้กับ 9.03 กิโลโวลต์

ในการทดลองนี้เมื่อปรับค่าสักยีไฟฟ้าค่าหนึ่งแล้วจะทำการวัดปริมาณไอโซนในอากาศที่ผลิตได้ทันที เมื่อเสร็จแล้วก็ทำการปรับค่าสักยีไฟฟ้าใหม่จนเสร็จสิ้นทั้ง 6 ค่า โดยการเรียงจากค่าต่ำสุดไปถึงสูงสุดของแต่ละค่านั้นก็จะชัดเจนจากการ์ฟ การทดลองนี้ให้ค่าพารามิเตอร์เหล่านี้คือที่ คือเวลาการสัมผัสระหว่างก๊าซไอโซนกับสารละลาย 1 นาที, อัตราการไหลดของอากาศ 1.42 ลิตรต่อนาที, อุณหภูมิห้องปรับอากาศ (ความชื้นสัมพัทธ์ของอากาศประมาณ 60 เมอร์เซนต์)

#### 4.2 การเปลี่ยนแปลงอัตราการไหลดของอากาศ

อัตราการไหลดของอากาศที่เป็นอิกพารามิเตอร์หนึ่งน่าจะมีผลต่อการผลิตก๊าซไอโซนของระบบ ในที่นี้ผู้วิจัยจะปรับค่าของอัตราการไหลดได้จากลิ้น (Valve) ของมาตรฐานอัตราการไหลด โดยได้ทำการปรับค่าของอัตราการไหลด ที่ระดับต่างๆ กัน 5 ค่า คือ 1.) ที่อัตราการไหลดของอากาศ 0.94 ลิตรต่อนาที 2.) ที่อัตราการไหลดของอากาศ 1.42 ลิตรต่อนาที 3.) ที่อัตราการไหลดของอากาศ 1.89 ลิตรต่อนาที 4.) ที่อัตราการไหลดของอากาศ 2.36 ลิตรต่อนาที และ 5.) ที่อัตราการไหลดของอากาศ 2.83 ลิตรต่อนาที

ในการทดลองนี้จะวัดปริมาณไอโซนในอากาศทุกครั้งที่มีการปรับค่าอัตราการไหลดของอากาศ จนเสร็จสิ้นทั้ง 5 ค่า การทดลองนี้จะกำหนดค่าพารามิเตอร์เหล่านี้ให้คงที่ คือ เวลาการสัมผัสระหว่างก๊าซไอโซนกับสารละลาย 1 นาที, สักยีไฟฟ้า 7.90 กิโลโวลต์, อุณหภูมิห้องปรับอากาศ (ความชื้นสัมพัทธ์ของอากาศประมาณ 60 เมอร์เซนต์)

#### 4.3 ศึกษาทดลองวัดปริมาณผลผลิตไอโซนกับการเปลี่ยนแปลงวัสดุที่ใช้

##### 4.3.1 ขณะที่ใช้และไม่ใช้ตัวรองอากาศแห้งของระบบ

การทดลองในหัวข้อนี้จะทดสอบประสิทธิภาพของตัวรองอากาศแห้งที่สร้างและออกแบบขึ้นมาในระบบการเตรียมอากาศ ลักษณะยืนยันให้เป็นอย่างดีคือการวัดผลผลิตไอโซนของ

ระบบซึ่งจะบ่งบอกถึงประสิทธิภาพและความจำเป็นในการใช้ตัวรองอากาศแห้งในระบบการเรียนอากาศ โดยการทดลองได้แบ่งระดับต่างๆ เป็น 2 ระดับ คือ

1. ไม่มีตัวรองอากาศแห้ง
2. มีตัวรองอากาศแห้ง

ทำการทดลองวัสดุผลิติโอโซนในแต่ละระดับให้เสร็จสิ้นถึงจะทำระดับต่อๆ ไปได้ ในการทดลองต้องควบคุมให้พารามิเตอร์คงที่ คือ อัตราการไหลดของอากาศ 1.42 ลิตรต่อนาที, ศักย์ไฟฟ้า 7.90 กิโลโวลต์ และความชื้นสัมพัทธ์สูงแวดล้อม ประมาณ 60 %RH สามารถได้จากภาคประกอบ

#### 4.3.2 เปลี่ยนแปลงข้อไฟฟ้าภายใน

ในการทดลองส่วนนี้จะวัดปริมาณ โอโซนที่ผลิตได้เมื่อมีการเปลี่ยนแปลงแบ่งออกเป็น 2 ระดับ คือ

1. ใช้อุณหภูมิเดินทางเป็นข้ออิเล็กโทรคภายใน
2. ใช้ความต้องแรงเป็นข้ออิเล็กโทรคภายใน

โดยทำการวัดผลผลิติโอโซนให้เสร็จสิ้นในระดับแรกหรือหลังก่อนก็ได้ แต่ต้องทดลองทันทีหลังจากเสร็จสิ้นอีกรอบหนึ่ง โดยมีการควบคุมพารามิเตอร์เหมือนในหัวข้อที่ผ่านมา คุณภาพทดลองได้จากภาคประกอบ

#### 4.3.3 เปลี่ยนแปลงพื้นที่ความของอิเล็กโทรค

ในขั้นตอนนี้ได้สร้างเซลล์โอโซนในเซอร์ที่มีขนาดพื้นที่คิวอิเล็กโทรคเป็น 2 เท่า จากเซลล์เดิม แล้วทำการวัดผลผลิติโอโซนที่ให้พารามิเตอร์เดียวกันกับเซลล์โอโซนในเซอร์เดิม

### 5. ศึกษาผลการทดลองที่ได้จากการผลิต โอโซนของระบบ

1. วัดอุณหภูมิของหลอด โอโซนในเซอร์เซลล์ที่เวลาการทำงานต่างๆ
2. วัดผลผลิติโอโซนเมื่อมีการเปลี่ยนแปลงเวลาการดิสchar์จ
3. ผลการทดลองใช้กล้องจุลทรรศน์อิเล็กตรอนแบบสแกน (SEM) ในการอุ้ม เผื่อน อะลูมิเนียมบางที่ใช้ทำข้ออิเล็กโทรคภายในที่ผ่านการทำงานเป็นระยะเวลานาน

**4. การทดลองใช้กล้องจุลทรรศน์อิเล็กตรอนแบบสแกน (SEM) ถูสารที่ตกด้านอยู่บนผิวแก้ว**

**5.1 การวัดอุณหภูมิของหลอดไอโอดีนเซ็นเซอร์ที่เวลาการทำงานต่างๆ**

ในหัวข้อนี้จะทำการบันทึกผลอุณหภูมิของไอโอดีนเซ็นเซอร์ที่ผิวค้านอกของข้ออิเล็กโทรดภายนอกโดยการแตะส่วนปลายของเทอร์โมคัปเพลชนิคเด ที่ใช้วัดอุณหภูมิไว้ด้วยการซึ่งสายต่อไปยังมิเตอร์ฟลูคุณ ในที่นี้จะทดลองวัดอุณหภูมิที่เวลาการทำงานของระบบ แบ่งเป็นระดับต่างๆ โดยทำการอ่านค่าอุณหภูมิทุกๆ 20 นาที จนกระหั่งถึงนาทีที่ 300 นาที หรือเทียบได้กับระบบทำงานเป็นเวลา 5 ชั่วโมง โดยการวัดนี้จะทำการเปรียบเทียบระหว่างการทดลองในห้องปรับอากาศ กับ ห้องที่ไม่มีการปรับอากาศ ซึ่งได้ให้พารามิเตอร์อื่นๆ ที่เกี่ยวข้องความคุณได้มีค่าคงที่คือ อัตราการไหลของอากาศ 1.42 ลิตรต่อนาที และ ศักย์ไฟฟ้า 7.90 กิโลโวลต์

**5.2 วัดผลผลิตไอโอดีนเมื่อมีการเปลี่ยนแปลงเวลาการคิดขาวรัจ**

ในหัวข้อนี้จะวัดปริมาณไอโอดีนในอากาศที่มีการเปลี่ยนแปลงเวลาการสัมผัสระหว่างก้าชไอโอดีนกับสารละลายที่ระดับต่างๆ กับ โดยปรับค่าเวลา 5 ค่า คือ 10 , 20 , 30 , 40 และ 50 วินาที ในการทดลองนี้เมื่อปรับค่าเวลาค่าหนึ่งก็จะวัดปริมาณก้าชไอโอดีนคงที่ (จากการเก็บข้อมูลมาแล้ว 10 ค่า) แล้วจึงเริ่มการทดลองค่าใหม่และวัดปริมาณก้าชไอโอดีนจนเสร็จสิ้นทั้ง 5 ค่า

**5.3 การทดลองใช้กล้องจุลทรรศน์อิเล็กตรอนแบบสแกน (SEM) ถูแผ่นอุณหภูมนียมบางที่ใช้พันข้ออิเล็กโทรดภายนอก**

ในขั้นตอนนี้แผ่นอุณหภูมนียมบางที่ใช้ในในการพันข้ออิเล็กโทรดจุลทรรศน์ทดลอง เนื่องจากว่าระหว่างข้ออิเล็กโทรดภายนอกและห่อแก้วที่ใช้เป็นไคลอเดียมคริกมีช่องว่างอากาศผู้วิจัยจึงได้ใช้อุณหภูมนียมบางพัน แต่เมื่อทำการทดลองและตรวจสอบจะเห็นลักษณะของผิวอุณหภูมนียมบางเปลี่ยนไป จึงได้นำชิ้นส่วนนี้ไปตรวจสอบด้วยกล้องจุลทรรศน์อิเล็กตรอนแบบสแกน (SEM) เพื่อฉุดลักษณะความเสียหายของอุณหภูมนียมบาง ซึ่งจะได้นำผลนี้ไปพัฒนาและแก้ไขข้อบกพร่องตรงนี้ต่อไปในอนาคต

#### 5.4 การใช้ก๊อกดูองจุลทรรศน์อิเล็กตรอนแบบสแกน (SEM) ในการตรวจดูสารที่ตกค้างอยู่บนผิวห้องแก้วที่ใช้ทำไอลอตอิเล็กตริก

ในขั้นตอนนี้จะใช้แผ่นแก้วบางๆ นำไปติดไว้ที่ผิวห้องแก้วแล้วทำการทดสอบ ที่ สักปีไฟฟ้า 7.90 กิโลโวลต์, อัตราการไหลอากาศ 1.42 ลิตรต่อนาที และความชื้นสัมพัทธ์อากาศถึงแวดล้อมประมาณ 60 %RH เป็นเวลา 10 ชั่วโมง แล้วนำแผ่นแก้วที่ติดไว้นี้ไปคุ้ยวิกฤตดูองจุลทรรศน์อิเล็กตรอนแบบสแกน (SEM)

#### ตอนที่ 3 ศึกษาการประยุกต์ใช้ก๊าซไอโซชนที่ผลิตได้กับการฆ่าเชื้อแบคทีเรียในน้ำที่ผ่านการกรอง, น้ำทึ้ง และน้ำนาครุ่ง

ในตอนนี้จะได้กล่าวถึงวิธีการวิเคราะห์เชื้อโรคต่างๆ ในน้ำที่นำมาวิเคราะห์ รวมไปถึงการนำก๊าซไอโซชนมาประยุกต์ให้เกิดประโบชน์อย่างแท้จริงเชิงปฏิบัติการ จากการเลือกพารามิเตอร์ที่เหมาะสมกับระบบการกำนิดไอโซชนในตอนที่ 2 มาใช้ในการฆ่าเชื้อแบคทีเรียที่มีอยู่ในน้ำจากแหล่งต่างๆ เนื่องจากแบคทีเรียเป็นลิ่งมีชีวิตที่สำคัญในการบ่งชี้คุณภาพของน้ำตามมาตรฐานคุณภาพน้ำจากการตรวจสอบสากลรวม ดังนั้นจึงໄດ้แบ่งขั้นตอนการศึกษาออกเป็นลำดับดังนี้

1. ศึกษาวิธีปฏิบัติในการวิเคราะห์เชื้อแบคทีเรีย โคลิฟอร์ม พีคัลโคลิฟอร์ม และพีคัลสเตรปโตกอคัส
  2. ศึกษาการฆ่าเชื้อแบคทีเรียในน้ำคืนผ่านการกรอง
  3. ศึกษาการฆ่าเชื้อแบคทีเรียในน้ำทึ้ง
  4. ศึกษาการฆ่าเชื้อแบคทีเรียในน้ำนาครุ่ง
- 
1. ศึกษาวิธีปฏิบัติในการวิเคราะห์เชื้อแบคทีเรีย โคลิฟอร์ม พีคัลโคลิฟอร์ม และพีคัลสเตรปโตกอคัส
 

ในการปฏิบัติเพื่อการวิเคราะห์หาเชื้อชนิดต่างๆ จะมีหลายวิธี ดังนั้นในการวิจัยครั้งนี้ได้เลือกวิธีในการวิเคราะห์เชื้อโคลิฟอร์มแต่ละชนิดได้ดังนี้

    - 1.1 การวิเคราะห์เชื้อแบคทีเรียทั้งหมดในน้ำด้วยวิธี Spread plate method
      - 1.1.1 อุปกรณ์
 

1. Plate count agar	6 ถาด
2. Sterile pipette 1 ml.	3 อัน
3. Spreader	1 อัน

4. Alcohol 90 %

1 ปีกอร์

#### 1.1.2 วิธีปฏิบัติ

1. ทำการเจือจางน้ำที่นำมาวิเคราะห์ (น้ำเสียจะเจือจางจนถึงระดับ  $10^5$  ส่วนน้ำดื่มน้ำจะเจือจางจนถึงระดับ  $10^2$  จึงอยู่กับการสังเกตุด้วยว่า้น้ำมีความสกปรกมากน้อยแค่ไหน) และทำครึ่งหมายไว้ที่งานเพาะเชื้อ น้ำที่จะทำการเจือจางนี้จะต้องเขย่าก่อนทุกครั้งเพื่อจะได้ผลการทดลองที่เที่ยงตรงขึ้น
2. เอาตัวอย่างน้ำที่เจือจางแล้วนำไปใช้โดยใช้ปีเปตคุณน้ำที่เจือจางในระดับต่างๆ 0.1 มล. ใส่ลงในจานที่ทำเครื่องหมายให้ตรงกับที่ระบุไว้ (เวลาปล่อยน้ำจะใส่ตรงกลางก่อน แล้วส่ายปีเปตไปด้านซ้ายทั้ง 2 ข้าง)
3. แล้วใช้ Spreader ที่ปราศจากเชื้อ ภาชนะให้ทั่วทั้งจานในขณะที่หมุนจานไปด้วย จนเห็นว่า้น้ำแห้งจึงหยุด (การทำลายเชื้อบน Spreader ให้ทุ่น Spreader ลงในแอลกอฮอล์ 90 % แล้วผ่านเปลวไฟ เมื่อไฟ灭แล้วถอดออกอีกหนึ่ง ปล่อยให้เย็นสักครู่นำไปใช้ได้)
4. ทำขั้นที่ 2 และ 3 แต่ใช้ตัวอย่างน้ำที่เจือจางในระดับต่างๆ ที่เตรียมไว้
5. เมื่อทำเสร็จแล้วเก็บจานอาหารทั้งหมดใน incubator โดยแบ่ง incubate ที่ 35 องศาเซลเซียส 1 ชุด และ ที่ 20 องศาเซลเซียส 1 ชุด เป็นเวลา 24-48 ชั่วโมง
6. หลังจากครบ 48 ชั่วโมง นำจานเพาะเชื้อนานับโคโลนี แล้วคำนวณหาเชื้อในน้ำ 1 มิลลิลิตร แล้วบันทึกผลในตาราง

1.2 การวิเคราะห์เชื้อ โคลิฟอร์นทึ่งหนดในน้ำด้วยวิธี Multiple tube technique หรือ Most probable number (MPN)

ประกอบไปด้วย 3 ขั้นตอน คือ

- 1 Presumptive test
- 2 Confirmed test
- 3 Completed test

#### 1.2.1 อุปกรณ์

1. ตัวอย่างน้ำที่ตรวจวิเคราะห์ 100 มล.
2. 1 ขวด

Presumptive test

1. Lactose broth พิรุณหลอดคั้กแก๊ส 10 มล. (double strength)	5 หลอด
2. Lactose broth พิรุณหลอดคั้กแก๊ส 10 มล.	10 หลอด
3. Sterile pipette 10 มล.	1 อัน
4. Sterile pipette 1 มล.	1 อัน

#### Confirmed test

1. Brilliant green lactose bile broth 2%  
พิรุณหลอดคั้กแก๊ส

#### Completed test

1. Eosin methylene blue agar
2. Nutrient agar slant

### 1.2.2 วิธีปฏิบัติ

#### Presumptive test

1. เผย่าขวดคัวอย่างน้ำปัสสาวะประมาณ 25 ครั้ง
2. ถูด้น้ำที่จะตรวจใส่ใน lactose broth (double strength) หลอดคละ 10 มล. ทั้ง 5 หลอด และถูด้น้ำคัวอย่างหลอดคละ 1 มล. ใส่ใน lactose broth 5 หลอด ส่วนอีก 5 หลอด ถูด้น้ำในหลอดคละ 0.1 มล. เตรียมแล้วเพียงสัมภูมิลักษณ์ปริมาณน้ำที่ใส่ในแต่ละหลอด (ถ้าหากปริมาณน้ำมากกว่า 0.1 มล. ให้หยอดน้ำ回去ในภาชนะที่ใช้)
3. เผย่าหลอดอาหารทั้งหมดเพื่อให้น้ำผสมกับอาหารแล้วนำหลอดไป incubate ที่ 35 องศาเซลเซียส เป็นเวลา 24-48 ชั่วโมง
4. เมื่อครบ 24 ชั่วโมง ตรวจถูกความชื้นและแก๊สในหลอดคั้กแก๊ส ถ้าหลอดใดมีแก๊สแสดงว่า Presumptive test ให้ผลบวก นั้นทีกผลและนำไปทำ confirmed test ต่อ ส่วนหลอดที่ยังไม่มีแก๊สให้อบเพาะเชื้อต่อไปอีก 24 ชั่วโมง แล้วนำมาถูผล ถ้ามีแก๊สให้ทำ confirmed test ต่อ ถ้าไม่มีแก๊สแสดงว่า presumptive test . ให้ผลลบ บันทึกผล

#### Confirmed test

1. เพียงสัมภูมิลักษณ์ปริมาณน้ำบนหลอดอาหาร brilliant green lactose bile broth 2% (BGLB) ให้ได้จำนวนเท่ากับหลอด lactose broth ที่ให้ผลบวก

2. ใช้ loop ที่มีการเชื่อมแล้วถ่ายเชื้อจาก lactose broth ที่ให้ผลบวกแต่ละหลอดยังคงในอาหาร BGLB หลอดต่อหลอด
3. เพย์่าหลอด BGLB แล้วนำไปป้องเพาะเชื้อ 24-48 ชั่วโมง
4. หลังจากครบ 24 ชั่วโมง นำมาตรวจดูแก๊สในหลอดดักแก๊ส ถ้ายังไม่มีแก๊สให้ป้องเพาะต่อไปอีก 24 ชั่วโมง แล้วนำมารดูผลใหม่ ถ้ามีแก๊สให้บันทึกผลว่ามีแก๊ส กีหลอด และเพิ่บหาจำนวน โคลิฟอร์มแบนค์ที่เรียกจากตาราง MPN ส่วนหลอด BGLB ที่ให้แก๊สให้เดือกมาทำ completed test ต่อไป (ตาราง MPN อยู่ได้จากภาคผนวก ข.)

**Completed test**

1. ใช้ loop ที่ลันไฟแล้วถ่ายเชื้อจาก BGLB ที่ให้แก๊สมา streak ลงบน Eosin methylene blue (EMB) แล้ว incubate ที่ 35 องศาเซลเซียส เป็นเวลา 24 ชั่วโมง
2. เมื่อครบกำหนด 24 ชั่วโมง นำ EMB มาตรวจดูลักษณะ โคโลนีว่าเป็นโค ลิฟอร์มหรือไม่ ถ้าเป็น typical coliform จะมีโคโลนีค่อนข้างแน่นมีสีคล้ำ และ มีเหลืองเงี่ยงคล้ายรอยตัดของโลหะ (metallic sheen) หรือ atypical coliform ซึ่งมีโคโลนีค่อนข้างนุนเป็นเมือกเยิ่มสีเข้มขุ่นหรือป่วงอ่อนๆ ทรงกลาง โคโลนีมีสีดำ
3. เดือกโคโลนีที่เป็น typical coliform นำไปใส่ใน nutrient agar slant (NA) และ lactose broth ชมพูที่ 35 องศาเซลเซียส เป็นเวลา 24 ชั่วโมง
4. เมื่อครบ 24 ชั่วโมง ตรวจดูแก๊สใน lactose broth และเอาเชื้อจาก NA มาขึ้นสีแกรน ถ้ามีแก๊สใน lactose broth และข้อมสีแกรนได้เกรณละเอียด ไม่มีสีปอร์ แสดงว่า เป็นโคลิฟอร์มจริง บันทึกผล

### 1.3 การวิเคราะห์ฟิคัล โคลิฟอร์มทั้งหมดในน้ำด้วยวิธี Multiple tube technique หรือ Most probable number (MPN)

การตรวจหาฟิคัล โคลิฟอร์มแบนค์ที่เรียก จะมีการปัจจุบันให้ออกกับการตรวจหา โคลิฟอร์มทั้งหมดทุกอย่าง เว้นแต่ในขั้น confirmed test ใช้อาหาร EC medium แทน brilliant green lactose bile broth 2%

#### 1.3.1 อุปกรณ์

ตัวอย่างน้ำที่จะตรวจ 100 มล.

1 ขวด

Water bath 44.5 องศาเซลเซียส

#### Presumptive test

##### Lactose broth (double strength)

(พร้อมหลอดคัลเก็ส 10 มล.)	5 หลอด
Lactose broth พร้อมหลอดจับแก๊ส 10 มล.	10 หลอด
Sterile pipette 10 มล.	1 อัน
Sterile pipette 1 มล.	1 อัน

##### Confirmed test

##### EC medium

#### 1.3.2 วิธีปฏิบัติ

##### Presumptive test

1. เพียงปริมาณตัวอย่างน้ำที่จะใส่ในหลอดอาหาร lactose broth
2. เผย่าขาวด้วยตัวอย่างน้ำขึ้นลงประมาณ 25 ครั้ง
3. ฉุคน้ำที่จะตรวจใส่ใน lactose broth (double strength) หลอดคละ 10 มล. ทั้ง 5 หลอด และฉุดตัวอย่างน้ำหลอดคละ 1 มล. 5 หลอด และ หลอดคละ 0.1 มล. 5 หลอด
4. เผย่าหลอดอาหารทึบหมกที่ใส่น้ำแล้ว เพื่อให้น้ำผสมกับอาหาร แล้วนำไปอบเพาเชื้อที่ 35 องศาเซลเซียส เป็นเวลา 24-48 ชั่วโมง
5. เมื่อครบ 24 ชั่วโมง ตรวจดูแก๊สในหลอดจับแก๊ส ถ้ามีแก๊สทำ confirmed test ต่อไป ถ้าไม่มีอบเพาเชื้อต่อไปอีก 24 ชั่วโมง ถ้าไม่มีแก๊สอีกแสดงว่า presumptive test ให้ผลลบ หลอดที่มีแก๊สให้ทำ confirmed test ต่อไป

##### Confirmed test

1. เพียงสัญญาณปืนหลอดอาหาร EC ให้ได้จำนวนเท่ากับหลอด lactose broth ที่ให้ผลลบ
2. ใช้ loop ที่ลินไไฟร์เชื้อแล้วถ่ายเชื้อจากหลอด lactose broth ที่ให้ผลลบต่อหลอด
3. เผย่าหลอด EC medium แล้วนำไปอบเพาเชื้อที่  $44.5 \pm 0.2$  องศาเซลเซียส ใน water bath เป็นเวลา 24 ชั่วโมง
4. หลังจากครบ 24 ชั่วโมง มาตรวจดูแก๊สในหลอดจับแก๊ส แล้วบันทึกผล และคำนวณหาปริมาณฟิกัดโภตฟอร์มในตาราง มีหน่วยเป็น MPN/100 มล. (ตาราง MPN อยู่ในภาคผนวก ฯ.)

## 1.4 การตรวจหาจำนวนฟิล์มสเตรปไต์โคคอกัสทึ้งหนาในน้ำ ด้วยวิธี Multiple tube technique

### 1.4.1 อุปกรณ์

- |   |         |
|---|---------|
| 1. ตัวอย่างน้ำที่ตรวจ                                     | 200 มล. |
| 2. Azide dextrose broth หลอดละ 10 มล<br>(double strength) | 5 หลอด  |
| 3. Azide dextrose broth หลอดละ 10 มล.                     | 10 หลอด |
| 4. Pfizer selective enterococcus agar                     |         |
| 5. Sterile pipette 10 มล.                                 | 1 อัน   |
| 6. Sterile pipette 1 มล.                                  | 1 อัน   |

### 1.4.2 วิธีปฏิบัติ

#### Presumptive test

1. เสียบสัญญาณปรินามันน้ำบนหลอดอาหารทึ้ง 15 หลอด
2. เผย่าขวดน้ำที่จะตรวจขึ้นลง 25 ครั้ง
3. ถูคน้ำที่จะตรวจใส่ใน Azide dextrose broth double strength หลอดละ 10 มล.  
ทึ้ง 5 หลอด และถูคน้ำใส่ใน Azide dextrose broth หลอดละ 1 มล. 5 หลอด  
และอีก 5 หลอด ถูคน้ำใส่หลอดละ 0.1 มล.
4. เผย่าหลอดอาหารทึ้งหมุดเพื่อให้น้ำผสมกับอาหาร แล้วนำไปอบเพาเชื้อที่ 35  
องศาเซลเซียส เป็นเวลา 24 ชั่วโมง
5. เมื่อครบ 24 ชั่วโมง นำมาตรวจดูความซุ่น หลอดที่ไม่ซุ่นนำไปอบเพาเชื้อต่ออีก  
24 ชั่วโมง แล้วดูความซุ่นอีกรอบ ถ้าไม่ซุ่นถือว่า Presumptive test ให้ผลลบ  
ส่วนหลอดที่มีความซุ่นให้ทำ Confirmed test ต่อไป

#### Confirmed test

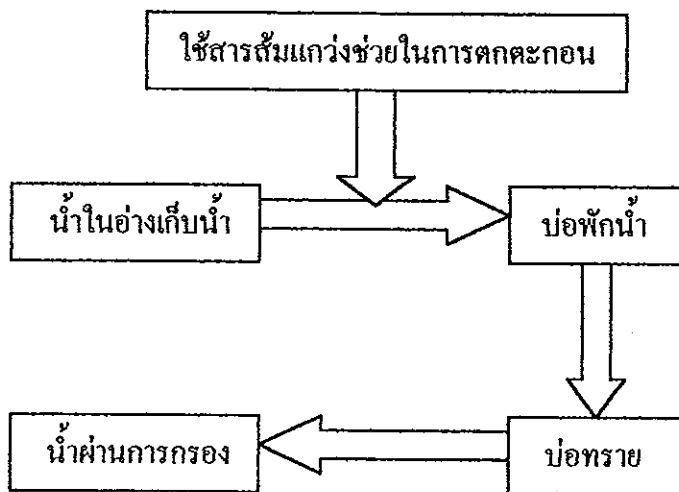
1. ใช้คินตอนเสียงแก้ว แบ่งงาน Pfizer selective enterococcus agar ออกเป็น 8  
ส่วน และเสียงเสียงสัญญาณปรินามันน้ำไว้ใช้งาน
2. ถ่ายเขี้ยวจากหลอด Azide dextrose broth ที่ซุ่นลงในงานอาหารหลอดละส่วน  
โดยใช้ loop ซึ่คเป็นแสตน แล้วอบเพาเชื้อที่ 35 องศาเซลเซียส เป็นเวลา 24 ชั่ว  
โมง โดยคร่าวาง

3. เมื่อครบ 24 ชั่วโมง ตรวจถูกผล ถ้ามีพิสัยดับเบิลป็อตโคคัส จะเห็นโกลอนีเป็นสีน้ำตาลดำ และมีสีน้ำตาลอ่อนรอบโกลอนี แสดงว่า confirmed test ให้ผลเป็นบวก
  4. บันทึกผลที่ได้ แล้วไปเบิกตาราง MPN (ในภาคผนวก ข.)
2. ศึกษาการผ่าเชื้อแบคทีเรียในน้ำคีบผ่านกรอง ในขั้นตอนนี้จะเก็บตัวอย่างน้ำจำนวน 20 ลิตร ที่ผ่านกระบวนการกรองมากจาก 2 แหล่ง คือ

1. น้ำคีบผ่านกรองจากโรงทำน้ำประปา มหาวิทยาลัยสงขลานครินทร์ วิทยาเขตหาดใหญ่ สำนักงาน疾控 จังหวัดสงขลา
2. น้ำคีบ (แหล่งน้ำใต้ดิน) ผ่านกรองจากโรงงานทำน้ำดื่มราษฎร์ สำนักงาน疾控 จังหวัดสงขลา

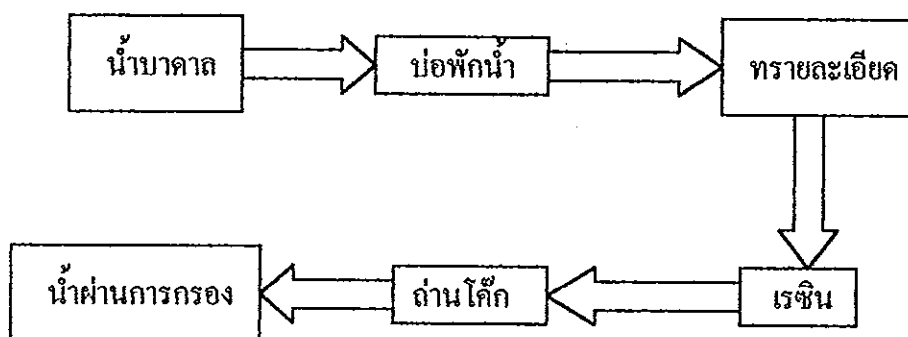
สามารถดูขั้นตอนการกรองน้ำทั้ง 2 แหล่งได้จากภาพประกอบ ที่ 30 และ 31 ในการทดลองจะนำน้ำที่ผ่านการกรองแล้วในแต่ละแห่งมาใช้ในการผ่านก๊าซไออกซินที่ระดับเวลาการสัมผัส 5 ระดับ ดังต่อไปนี้ 0.5 , 1.0 , 3.0 , 5.0 และ 10 นาที โดยจะต้องแบ่งน้ำจำนวน 250 มิลลิลิตร ใส่ในขวดที่ปราศจากเชื้อสำหรับไว้เป็นอ้างอิงในการวิเคราะห์เชื้อรึ่มแรกกับน้ำที่ผ่านก๊าซไออกซิน และนำน้ำจำนวน 250 มิลลิลิตร ใส่ในขุดผสมระหว่างก๊าซไออกซินกับน้ำ ถูกการจดอุปกรณ์ได้จากภาพประกอบ ต่อจากนั้นก็ทำการทดลองตามขั้นตอนเป็นลำดับ ซึ่งจะต้องทำให้เสร็จสิ้นในแต่ละระดับ ถึงจะทำระดับต่อไปได้ และต้องทำให้เสร็จสิ้นติดต่อกัน หลังจากนั้นนำน้ำอ้างอิงและน้ำที่ทดลองแล้วไปวิเคราะห์หาเชื้อแบคทีเรีย ดังต่อไปนี้ Total bacteria, Total coliforms, Fecal coliforms และ Fecal streptococci ก่อนที่จะทำการทดลองการผ่าเชื้อโรคในน้ำที่เตรียมไว้ และน้ำที่นำมาทดลองจะต้องเก็บได้รวมทดลองโดยไม่พယายามที่จะนำมาเก็บไว้ ซึ่งจะได้ผลที่เที่ยงตรงมากที่สุด สาเหตุที่เราทำการเลือกเพื่อวิเคราะห์เชื้อเหล่านี้เนื่องจากเป็นเชื้อที่ถูกระบุเป็นตัวนับไปเชื้อคุณภาพของน้ำบริโภคที่เป็นไปตามมาตรฐานอุตสาหกรรม (มาตรฐาน) ที่กำหนดในน้ำบริโภค (สำนักงานมาตรฐานผลิตภัณฑ์อุตสาหกรรม., 2521)

ภาพประกอบ 30 ขั้นตอนการกรองน้ำของโรงทำน้ำประปา มหาวิทยาลัยสงขลานครินทร์ อรุณฯ  
หาดใหญ่ จังหวัดสงขลา



หมายเหตุ : นำสำลียงไปตามทิศทางของลูกศร

ภาพประกอบ 31 ขั้นตอนการกรองน้ำของโรงทำน้ำคิ่มคลองเรียนราธิพย์ อรุณฯหาดใหญ่  
จังหวัดสงขลา



หมายเหตุ : นำสำลียงไปตามทิศทางของลูกศร

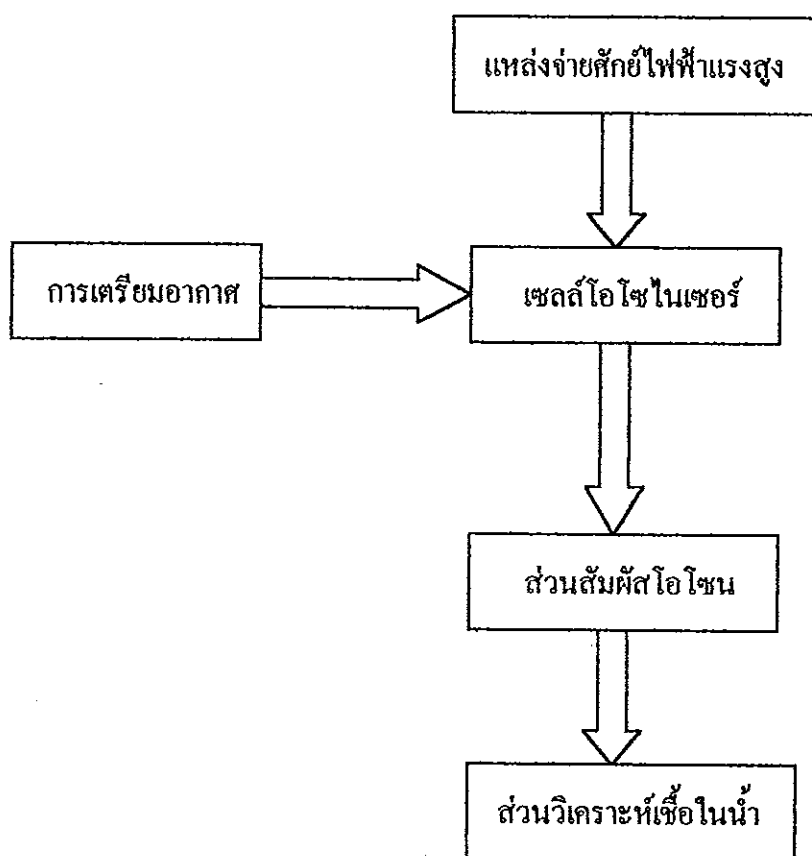
### 3. ศึกษาการฆ่าเชื้อแบคทีเรียในน้ำทิ้ง

ในขั้นตอนนี้มีด้วยกระบวนการทดลองเหมือนกันทุกอย่างกับหัวข้อ 3.1 ที่ผ่านมาเพียงแตกต่างที่น้ำทิ้งที่ได้มาราจาก น้ำทิ้งที่อยู่ในบ่อบำบัดของกษิเจนของโรงพยาบาลมหาวิทยาลัยสงขลานครินทร์ อำเภอหาดใหญ่ จังหวัดสงขลา

### 4. ศึกษาการฆ่าเชื้อแบคทีเรียในน้ำน้ำกรุง

ในขั้นตอนนี้การจัดอุปกรณ์และเตรียมน้ำในการทดลองเหมือนกับหัวข้อ 2 แต่ในตอนนี้จะใช้น้ำน้ำกรุงทำการทดลองผ่านไอโอดิน ที่เวลาการสัมผัสด้วยกัน 3 ระดับ คือ 0.5, 1.0 และ 3.0 นาที ในขั้นตอนนี้จะวิเคราะห์เชื้อ Total bacteria และ Vibrio sp. และวิเคราะห์ผลทางกายภาพของน้ำ สาเหตุที่เราเลือกเชื้อ 2 ชนิดนี้ เนื่องจากเชื้อชนิดนี้จะเป็นตัวบ่งชี้ถึงการระบาดของโรคในน้ำน้ำกรุง และมีผลต่อภูมิคุ้มกันในระยะเวลาต่อมา

ภาพประกอบ 32 ขั้นตอนในการฆ่าเชื้อโรคที่มีในน้ำด้วยก๊าซไอโอดินที่ใช้ในการศึกษาวิจัย



## บทที่ 4

### ผลและการอภิปรายผล

บทนี้แสดงผลการวิจัยและการอภิปรายผลการวิจัย โดยเสนอผลการวิจัยตามลำดับที่กล่าวมาแล้วในบทที่ 3 เมื่อจากผลการวิจัยส่วนใหญ่จะเสนอเป็นกราฟจึงได้เสนอผลการวิจัยและการอภิปรายผลควบคู่กันไปด้วยเพื่อความต่อเนื่องส่วนการวิเคราะห์และวิชาณัชจะได้กล่าวไว้ในบทต่อไป

ผลและการอภิปรายผลแบ่งออกเป็นตอนๆ ได้ตามลำดับดังนี้

ตอนที่ 1 ผลการศึกษาผลผลิตก้าช ไอโซนของระบบกับพารามิเตอร์ต่างๆ ทางฟิสิกส์

ตอนที่ 2 ผลการศึกษาผลการทดลองที่เกิดขึ้นจากการผลิตก้าช ไอโซนของระบบ

ตอนที่ 3 ผลการใช้ก้าช ไอโซนในการผ่าเชื้อโรคที่มีอยู่ในน้ำต่างๆ ที่ได้เลือกมาใช้ในการวิจัย

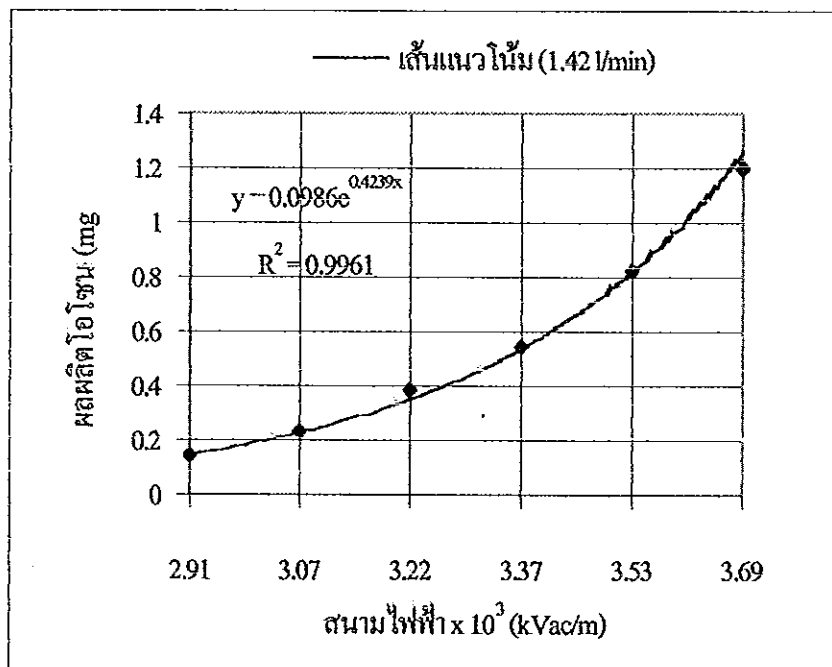
#### ตอนที่ 1 ผลการศึกษาผลผลิตก้าช ไอโซนของระบบกับพารามิเตอร์ต่างๆ ทางฟิสิกส์

ในตอนนี้จะได้แสดงผลการศึกษาผลผลิตก้าช ไอโซนของระบบกับพารามิเตอร์ต่างๆ ทางฟิสิกส์ โดยได้จากการทดลองกับพารามิเตอร์ต่างๆ ทางฟิสิกส์ที่เปลี่ยนแปลงไปในรูปแบบต่างๆ ซึ่งผู้วิจัยได้ทำการเลือกตำแหน่งที่เหมาะสมในการศึกษาไว้แล้ว ที่ สนามไฟฟ้า  $3.22 \times 10^3$  กิโลโวลต์ต่อเมตร ( $kV/m$ ), อัตราการไอน化ของอากาศ 1.42 ลิตรต่อนาที ( $l/min$ ) และ ความชื้นสัมพัทธ์ของอากาศ 60 %R.H. ด้วยเหตุนี้จะเลือกที่ภาวะนี้เป็นสภาพข้างอิงหลักในการทดลองกับการเปลี่ยนแปลงพารามิเตอร์ทางกายภาพต่างๆ ที่ต้องการศึกษาวิจัย และผลผลิตก้าช ไอโซนจากอุปกรณ์ถูกตรวจสอบปริมาณด้วยวิธีทางเคมีตามมาตรฐาน ASTM (Moris Katz, 1977) ผลของการทดลองที่เงื่อนไขต่างๆ เพื่อใช้เป็นตัวชี้วัดนี้แสดงผลการทดลองแบ่งได้ ดังต่อไปนี้

- 1.1 ผลของการทดลองกับนิวคลีก้าช ไอโซนกับการเปลี่ยนแปลงสนามไฟฟ้า ที่มีต่อผลผลิตไอโซน ซึ่งในที่นี้จะใช้การปรับค่าของหักด้วยไฟฟ้าที่ได้จากการปรับเทียบ เพื่อวัดปริมาณผลผลิตของไอโซนที่เปลี่ยนแปลงตามสัดส่วนไฟฟ้าที่ป้อนให้กับระบบ ผลการทดลองแสดงในภาพประกอบ 33 ระหว่างอัตราผลผลิต ไอโซนที่ได้กับความเข้มสนามไฟฟ้าซึ่งจะเห็นว่าในการทดลองเมื่อการเปลี่ยนแปลงค่าหักด้วยไฟฟ้า แต่แสดงในรูปของความเข้มสนาม

ไฟฟ้าได้ เพราะ สนามไฟฟ้าแบ่ง โดยตรงกับศักย์ไฟฟ้า ( $V = \int \vec{E} \cdot d\vec{s}$ ) และกราฟลักษณะนี้เป็นที่นิยมแสดงกันในพิสิกส์ดิษชาร์มากกว่ากราฟที่แสดงในรูปศักย์ไฟฟ้า

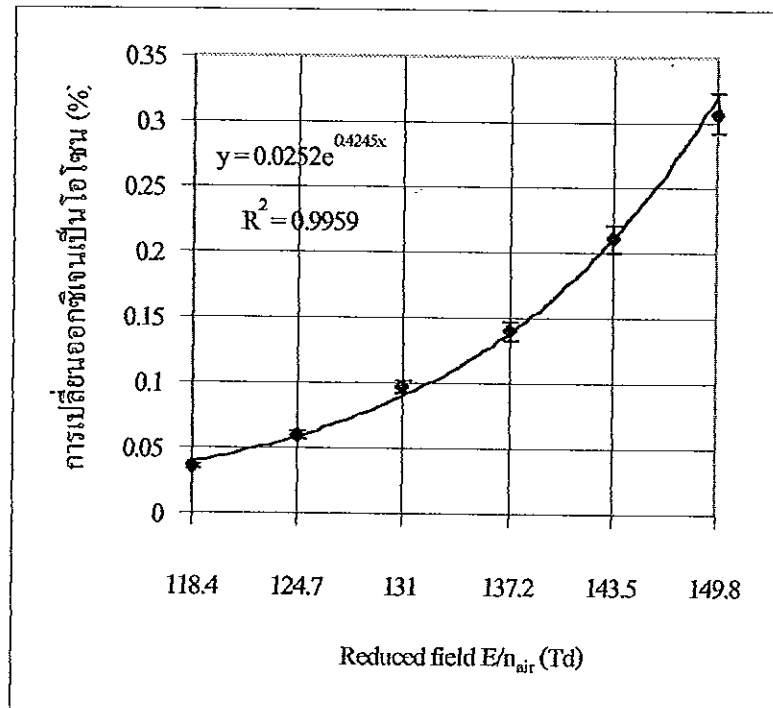
ภาพประกอบ 33 กราฟแสดงผลผลิตโดยใช้ชนกับสนามไฟฟ้าที่ เวลาการดิษชาร์ 1 นาที อัตราการไหลของอากาศ  $1.42 \text{ l/min}$  และความชื้นสัมพัทธ์อากาศ  $60\% \text{RH}$ .



ผลจากการปรับให้ค่าของสนามไฟฟ้าเพิ่มขึ้น พบว่า ที่เงื่อนไขนี้ ผลผลิตโดยโซนเพิ่มขึ้นตามการเพิ่มขึ้นของสนามไฟฟ้า ในลักษณะของกราฟเป็นรูปเอ็กซ์ໄโนเคนเซียล ซึ่งมีความสัมพันธ์ตามสมการ

$$y = 0.0986e^{0.4239x} \quad \text{เมื่อ } y \text{ คือ อัตราการผลิตโดยโซน และ } x \text{ คือ ค่าสนามไฟฟ้า}$$

ภาพประกอบ 34 กราฟแสดงความสัมพันธ์ระหว่าง การเปลี่ยนอัตราซิเจนไปเป็นโอโซนกับ  $E/n_{air}$  ที่ อัตราการไหลดของอากาศ  $1.42 \text{ l/min}$

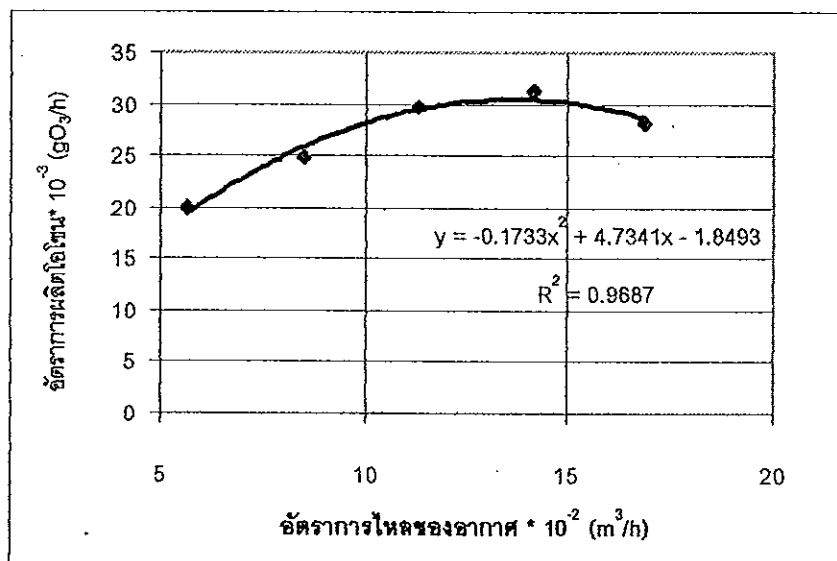


เมื่อเรียนต่อในการเปลี่ยนอัตราซิเจนไปเป็นโอโซนจะมีค่าเพิ่มขึ้นตามค่าของสนาม  $E/n_{air}$  (reduced field) ที่เพิ่มขึ้น โดยการพิจารณาจากปฏิกิริยาในสมการ [1] ท่านนี้ สำหรับการคำนวณเมื่อเรียนต่อในการเปลี่ยนอัตราซิเจนไปเป็นโอโซนดูได้จาก (ภาคผนวก ค.) ผลที่ได้มีความสัมพันธ์ตามสมการ  $y = 0.0252e^{0.4245x}$  เมื่อ  $y$  คือ เมื่อเรียนต่อการเปลี่ยนแปลงอัตราซิเจนไปเป็นโอโซน และ  $x$  คือ ค่า Reduced field  $E/n_{air}$

1.2 ผลของการเปลี่ยนแปลงอัตราการไหลดของอากาศที่มีต่อผลผลิตโอโซน ในที่นี่ระบบ จะมีนิเตอร์วัดอัตราการไหลดของอากาศก่อนเข้าเซลล์โอโซนและอยู่ในช่วง 0-22 ลูกบาศก์ฟุตต่อชั่วโมง ( $\text{scfh}$ ) ซึ่งต้องปรับเทียบมาเป็นหน่วย ลิตรต่อนาที ( $\text{l/min}$ ) และ ลูกบาศก์เมตรต่อชั่วโมง ( $\text{m}^3/\text{h}$ ) ดูได้จาก (ภาคผนวก จ) เพื่อให้สอดคล้องกับทฤษฎีที่จะใช้อ้างอิงถึง ในการทดลองนี้จะใช้ค่าอัตราการไหลดของอากาศ ตั้งแต่ 2 – 6  $\text{scfh}$  เมื่อจากค่าที่เกินจากนี้ไปจะทำให้ การผสมกันระหว่างก๊าซ

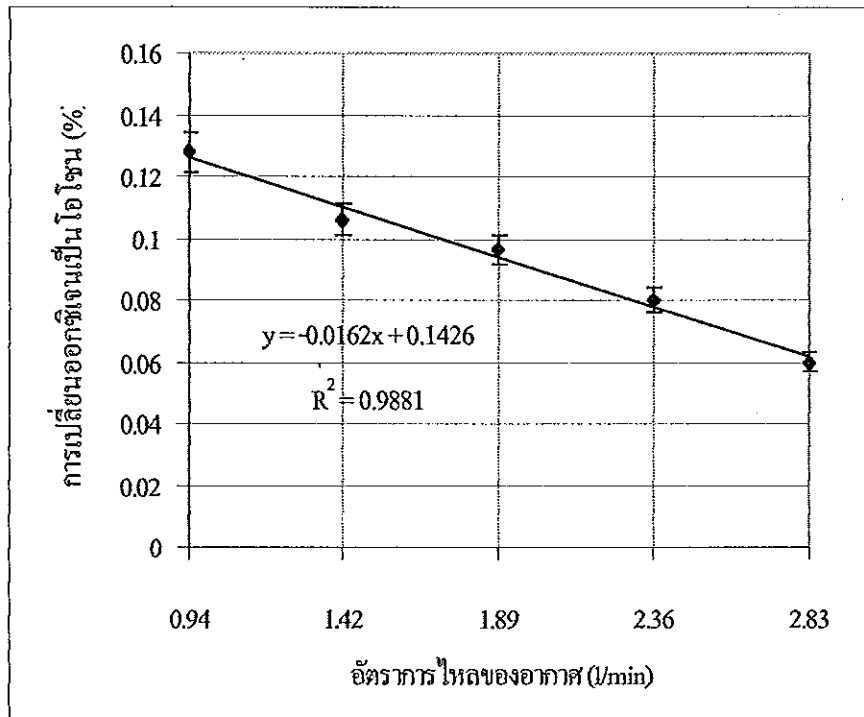
ไอโอนและสารละลายน้ำที่ใช้ดักไอโอนทึบกระจาดของอนุภัติภาระ (midget impinger) ที่บรรจุทำให้ผลการทดสอบพิเศษได้

ภาพประกอบ 35 กราฟแสดงความสัมพันธ์ระหว่างอัตราการผลิตไอโอนกับอัตราการไหลดของอากาศ ที่ สนามไฟฟ้า  $3.22 \times 10^3$  กิโลโวลต์ต่อมเมตร เวลาการดิษชาร์จ 1 นาที



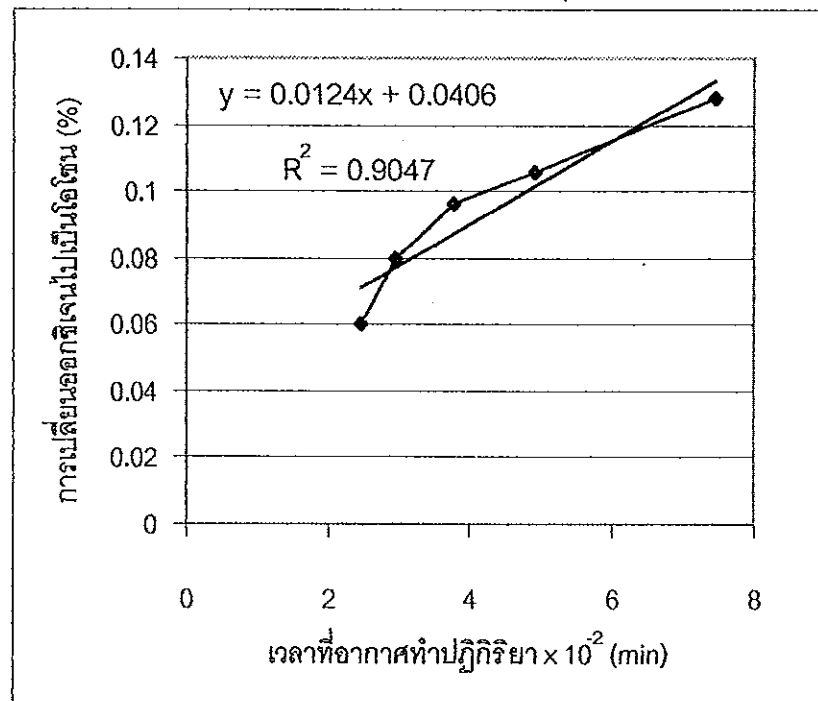
ค่าอัตราการไหลดของอากาศที่เพิ่มขึ้นจะทำให้อัตราการผลิตไอโอนของระบบ แบ่งออกได้เป็น 2 ช่วง คือ ช่วงแรกคึ้งแต่  $6 \times 10^{-2} - 14 \times 10^{-2}$  m<sup>3</sup>/h อัตราการผลิตไอโอนจะเพิ่มขึ้นอย่างมาก และจะลดลงในช่วงต่อๆ ไป  $14 \times 10^{-2}$  เป็นต้นไป เพราะขณะนี้ในการพิจารณาเลือกค่าอัตราการไหลดของอากาศจำเป็นจะต้องเลือกค่าอัตราการไหลดของอากาศในช่วงแรก ที่เงื่อนไขอย่างเดียวกันนี้ หลังจากพิสูจน์แล้วพบว่าเป็นไปตามที่งัดขึ้นโดยไม่มียก คั่งสมการที่แสดงในกราฟ

ภาพประกอบ 36 กราฟแสดงความสัมพันธ์ระหว่าง การเปลี่ยนแปลงออกซิเจนไปเป็นโอโซนกับ อัตราการไหลดของอากาศ ที่ สนามไฟฟ้า  $3.22 \times 10^3$  กิโลโวัลต์ต่อมแคร



ความสัมพันธ์ระหว่างเปอร์เซ็นต์การเปลี่ยนออกซิเจนไปเป็นโอโซน โดยการพิจารณา จากสมการ [1] (คุณวิชีการคำนวณได้จากภาคผนวก ค.) กับ อัตราการไหลดของอากาศ พบร่วมกับ อัตราการไหลดของอากาศที่เพิ่มขึ้นจะทำให้เปอร์เซ็นต์การเปลี่ยนออกซิเจนไปเป็นโอโซนตามสมการ [1] นี้ค่าลดลงด้วย ตามความสัมพันธ์เชิงเส้น ดังสมการ  $y = -0.0162x + 0.1426$  เมื่อ  $y$  คือ เปอร์เซ็นต์ใน การเปลี่ยนออกซิเจนไปเป็นโอโซน และ  $x$  คือ ปริมาณอัตราการไหลดของอากาศ

ภาพประกอบ 37 กราฟแสดงความสัมพันธ์การเปลี่ยนออกซิเจนไปเป็นออกไซน์ (%) กับเวลาใน การสัมผัสของอากาศภายในเซลล์ไอโซไนเชอร์ (min) ที่ สนามไฟฟ้า  $3.22 \times 10^3 \text{ kV/m}$



พิจารณาเนื่องจากในรูปของเวลาที่อากาศอยู่ทำปฏิกิริยาภายในเซลล์ไอโซไนเชอร์ จากความสัมพันธ์

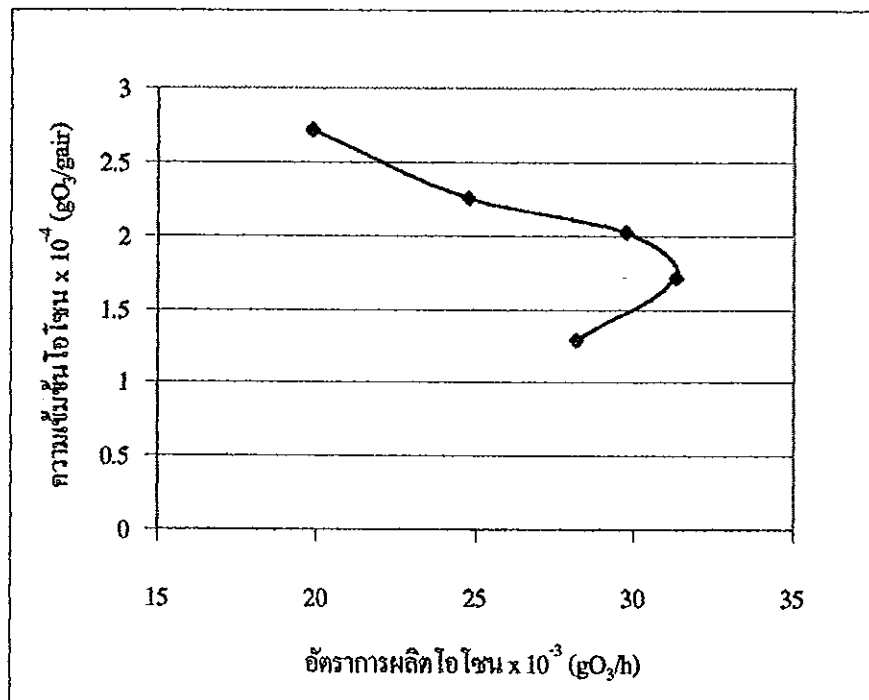
$$t = V/Q \quad \text{เมื่อ } t \text{ คือ เวลาในการสัมผัสของอากาศกับคิสชาร์จไฟฟ้า (min)}$$

$$V \text{ คือ ปริมาตรของอากาศภายในช่องว่างคิสชาร์จ (l)}$$

$$Q \text{ คือ อัตราการไหลของอากาศ (l/min)}$$

จากการประกอบด้านบน พบว่า เมื่อเวลาในการทำปฏิกิริยาเพิ่มมากขึ้นเปอร์เซ็นต์ในการเปลี่ยนแปลงออกซิเจนไปเป็นออกไซน์ก็เพิ่มขึ้นด้วย เมื่อพล็อตเส้นแนวโน้มเชิงเส้น จะได้ความสัมพันธ์เด่นตรง ดังสมการ  $y = 0.0124x + 0.0426$  เมื่อ  $y$  คือ เปอร์เซ็นต์ในการเปลี่ยนออกซิเจนไปเป็นออกไซน์ และ  $x$  คือ เวลาในการทำปฏิกิริยาภายในช่องว่างคิสชาร์จ

ภาพประกอบ 38 กราฟแสดงความสัมพันธ์ระหว่าง ความเข้มข้น ไอโอดีนกับอัตราการผลิต ไอโอดีน  
ที่สนามไฟฟ้า  $3.22 \times 10^3 \text{ kV/m}$

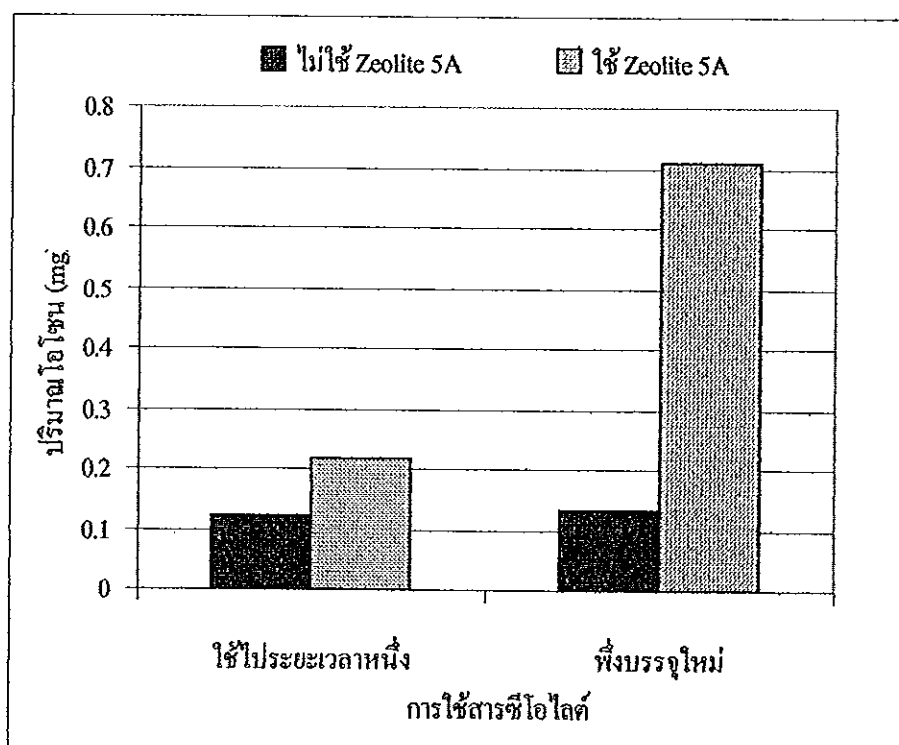


ผลการทดลองที่แสดงในภาพประกอบ 38 เป็นผลการเปลี่ยนแปลงอัตราการไอลดของ  
อากาศตัวบ่งชี้ กับ แสงน้ำเงิน ระหว่างความเข้มข้นของ ไอโอดีนกับอัตราการผลิต ไอโอดีน พนวจ  
เพื่อปริมาณอัตราการผลิต ไอโอดีนมีค่าเพิ่มขึ้นจะทำให้ปริมาณความเข้มข้นที่ได้มีค่าลดลง เนื่องจาก  
สัดส่วนของอากาศที่ป้อนเข้ามาก็เพิ่มมากขึ้นด้วย ซึ่งจะสังเกตได้จากการเปลี่ยนเชื้อน์ในการเปลี่ยน  
ออกซิเจน ไปเป็น ไอโอดีน ในภาพประกอบที่ผ่านมาระหว่าง อัตราการผลิต ไอโอดีน กับ อัตราการไอลด  
ของอากาศ

1.3 ผลการวัดผลผลิตไอโซไซนกับการเปลี่ยนแปลงวัสดุที่ใช้ในการกำเนิดไอโซไซน ในขั้นตอนนี้ จะทดลองเปรียบเทียบการใช้วัสดุที่นำมาสร้างระบบในการกำเนิดไอโซไซนกับวัสดุอื่น นอกจากนี้ยังพิจารณาที่จะแก้ปัญหา และพัฒนาเซลล์ไอโซไซนเซอร์เพิ่มขึ้นด้วย โดยแยกการทดลองออกเป็นดังนี้

1.3.1 ผลผลิตไอโซไซนกับการใช้และไม่ใช้ตัวรองอากาศแห้งของระบบการกำเนิดไอโซไซน ผลการทดลองหาผลผลิตไอโซไซนที่ติดตั้งตัวรองอากาศแห้งกับที่ไม่ได้มีการติดตั้งตัวรองอากาศแห้ง เพื่อคุณภาพผลผลิตไอโซไซนที่ได้มีความแตกต่างกันอย่างไร โดยจัดอุปกรณ์สำหรับการกำเนิดก๊าซไอโซไซนโดยมีตัวรองอากาศแห้งกับไม่ใช่ตัวรองอากาศแห้งในระบบ แล้วทำการเก็บผลการทดลองที่เงื่อนไขความชื้นสัมพัทธ์ตั้งแต่ล้อมแต่ต่างกัน 2 ระดับ โดยเก็บผลเป็นจำนวน 3 ครั้ง ในแต่ละครั้งเก็บผลข้อมูล 10 ข้อมูล แล้วนำมาเฉลี่ยจะได้ผลผลิตไอโซไซนอกมาในแต่ละครั้งจากการทดลองทั้งสองเงื่อนไขโดยการควบคุมพารามิเตอร์อื่นๆ คงที่ ได้ผลดังภาพประกอบ 34

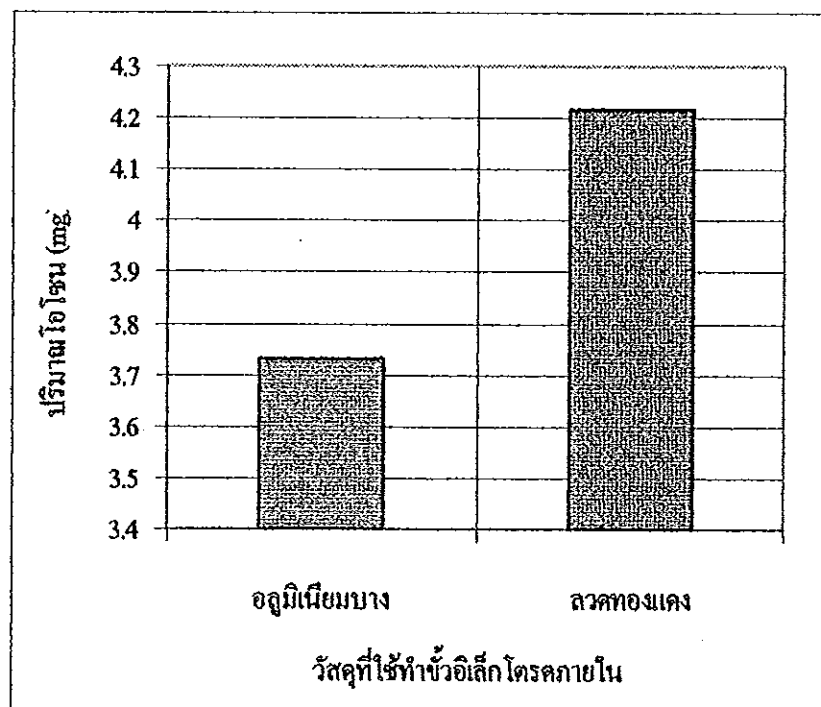
ภาพประกอบ 39 กราฟแสดงปริมาณไอโซไซนกับการใช้สารซีโซไลต์ ในระบบการกำเนิดไอโซไซน



จากภาพประกอบ พนวจ เมื่อมีการใช้สารซีโอลิດไประยะเวลาหนึ่งแล้วผลผลิตไอโอดินที่ได้จะมีค่าลดต่ำลงถึงแม้ว่าจะมากกว่าที่ไม่ได้ใช้สารซีโอลิดก็ตาม ดังนั้น จำเป็นจะต้องมีการเพิ่นสภาพสารซีโอลิดเมื่อใช้ไประยะเวลาหนึ่ง เพื่อที่ทำให้ผลผลิตไอโอดินที่ได้เพิ่มนากขึ้นซึ่งสังเกตได้จากผลผลิตไอโอดินที่ได้จากการซีโอลิດที่เพิ่งบรรจุ จะให้ผลผลิตไอโอดินมากกว่าที่ไม่ได้ใช้สารซีโอลิด ประมาณ 7 เท่า

1.3.2 ผลการเปลี่ยนแปลงข้ออิเล็กโทรคายในของเซลล์ไอโอดินเรอร์กับผลผลิตไอโอดินที่ได้ในการกำเนิดไอโอดินของระบบ การทดลองในขั้นตอนนี้เป็นผลศึกษาของมาจากการที่เราพบปัญหาข้อไฟฟ้าที่ใช้เป็นอิเล็กโทรคายในหลังจากดูดประกอบอุกมาเด้วพบความเสียหายจึงได้คิดหาวัสดุตัวใหม่เข้ามาแทน และได้ทำการทดลองเปลี่ยนเทียบผลผลิตไอโอดินที่ได้

ภาพประกอบ 40 กราฟแสดงความสัมพันธ์ระหว่างปริมาณไอโอดินกับวัสดุที่ใช้ทำข้ออิเล็กโทรคายในเซลล์ไอโอดินเรอร์ ที่ spanning ไฟฟ้า  $3.22 \times 10^3$  kV/m อัตราการไหลของอากาศ 1.42 l/min



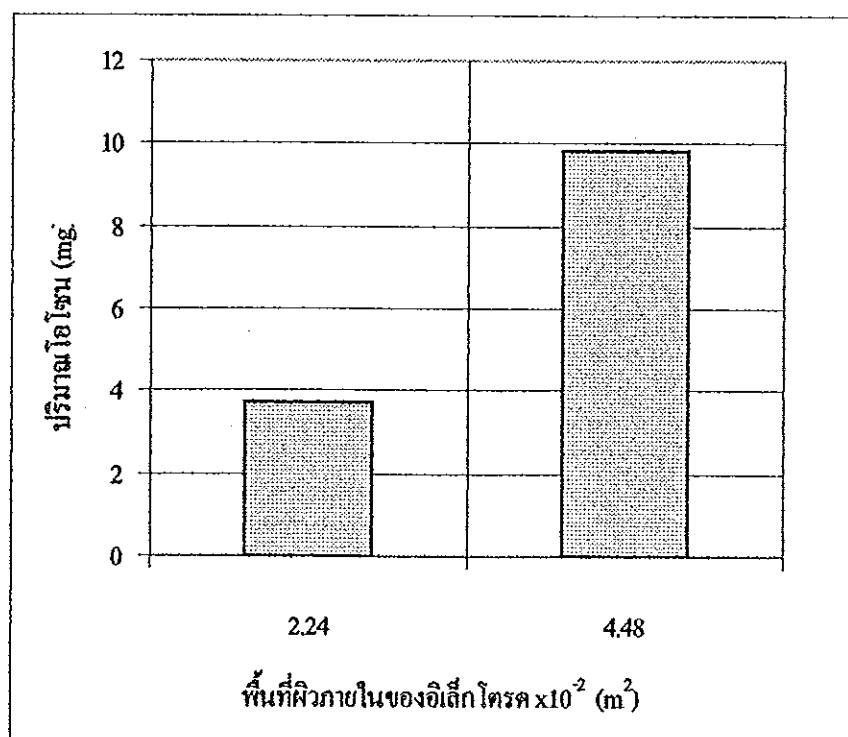
จากภาพประกอบ พนวจ ปริมาณไอโอดินที่ได้มากกว่าวัสดุที่ใช้ทำข้ออิเล็กโทรคายในคือวัสดุทองแดงจะให้ปริมาณไอโอดินมากกว่าที่ทำจากอุดมโนยน้ำ ประมาณ 2.69 เท่า ทั้งนี้น่าจะ

มีสาเหตุจากหน่วยประการ อันดับแรก คือ การใช้คาดท้องแดงไม่มีป้อมห้าโนร่องการอาร์คไฟฟ้าที่เกิดขึ้นทำให้มีการสูญเสียพลังงานไปในการนี้ ต่อมา ค่าสัมประสิทธิ์การนำความร้อนของวัสดุพบว่า คาดท้องแดงมีค่าสัมประสิทธิ์การนำความร้อนสูงกว่าอยู่มีเนื้อบาง

### 1.3.3 ผลการเปลี่ยนแปลงพื้นที่ผิวภายในข้ออ่อนล้ากับผลกระทบโดยรวมที่ได้รับจากการดำเนินการอ่อน化ระบบ

ในการทดสอบครั้งนี้ได้เพิ่มพื้นที่ผิวของอิเล็กโทรดในการดิสชาร์จไฟฟ้าขึ้น นั่นคือ การสร้างเซลล์ไฮโซในเซอร์เจ็มมาอิก 1 เซลล์ที่มีขนาดอย่างอื่นเหมือนเดิมทุกประการ ยกเว้นการเพิ่มความยาวของเซลล์ให้มีขนาดเป็นสองเท่าของเซลล์เดิม ซึ่งก็จะได้พื้นที่ผิวในการดิสชาร์จเพิ่มมากขึ้นเป็น 2 เท่าจากเซลล์ไฮโซในเซอร์เจ็มเดิมแล้วทำการทดสอบเพื่อที่จะเปรียบเทียบปริมาณผลกระทบโดยรวมในแต่ละเซลล์ไฮโซในเซอร์ว่ามีการเปลี่ยนแปลงอย่างไร

ภาพประกอบ 41 กราฟแสดงความสัมพันธ์ระหว่าง ปริมาณไฮโซกับพื้นที่ผิวอิเล็กโทรดภายในที่สามารถไฟฟ้า  $3.22 \times 10^3 \text{ kV/m}$  อัตราการไหลของอากาศ  $1.42 \text{ l/min}$

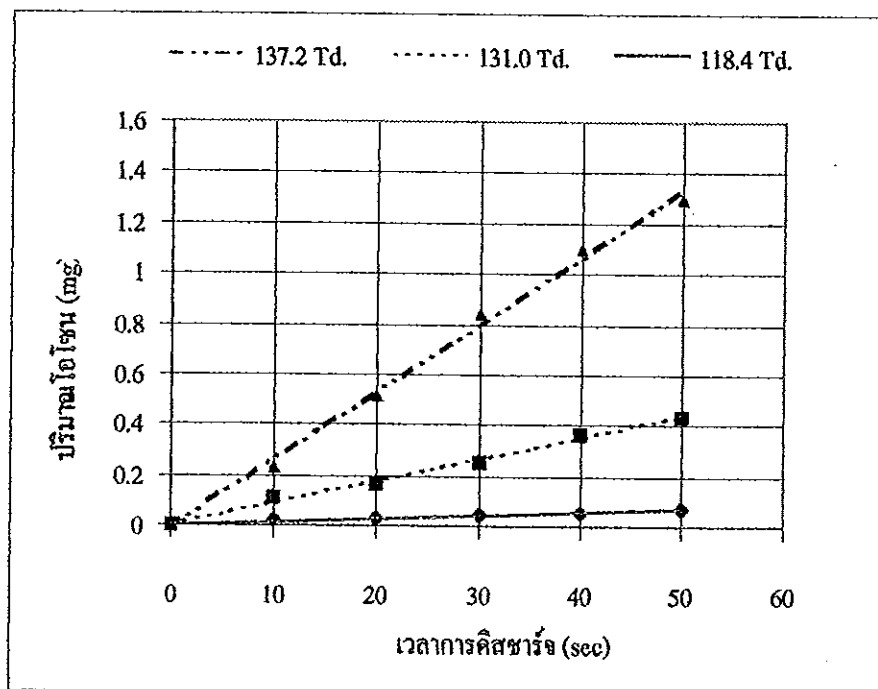


## ตอนที่ 2 ผลการศึกษาผลกระทบด้านการผลิตก้าวโอโซนของระบบ

การศึกษาในตอนนี้จะเป็นผลของการเก็บข้อมูลเพิ่มเติมหลังจากทำการทดลองเบ็ดเดิน แบ่งพารามิเตอร์เสรีจแล้วเพื่อที่จะศึกษาผลที่เกิดขึ้นตามมาหลังจากมีการผลิตโอโซนของระบบ ไปเป็นระยะเวลาหนึ่งแล้ว จะพบการเปลี่ยนแปลงต่างๆ เมื่อไปอย่างไรบ้าง

2.1 ผลของการเปลี่ยนแปลงเวลาการคิดสารที่มีต่อผลผลิตโอโซน ในที่นี้จะมีการเปลี่ยนแปลงเวลาการคิดสารต่างๆ เพื่อวัดปริมาณผลผลิตของโอโซนที่เปลี่ยนแปลงตามเวลาการคิดสาร ผลการทดลองแสดงในกราฟรูปที่ 42 ระหว่างผลผลิตโอโซนที่ได้กับเวลาการคิดสารระดับวินาทีที่ค่าส่วน  $E/n_{\text{red}}$  (reduced field) ระดับต่างๆ ซึ่งจะเห็นว่าในการทดลองเป็นการเปลี่ยนค่าตัวคงที่ไฟฟ้า แต่แสดงในรูปของส่วน  $E/n_{\text{red}}$  ซึ่งเป็นสัดส่วนระหว่าง ส่วนไฟฟ้าต่อจำนวนโมเลกุลของอากาศ พารามิเตอร์นี้มีความสำคัญที่นักแสดงในฟิสิกส์คิดสารที่วัยเช่นกัน และผลการทดลองแสดงในภาพประกอบ 41 ระหว่างผลผลิตโอโซนกับเวลาการคิดสารระดับนาที

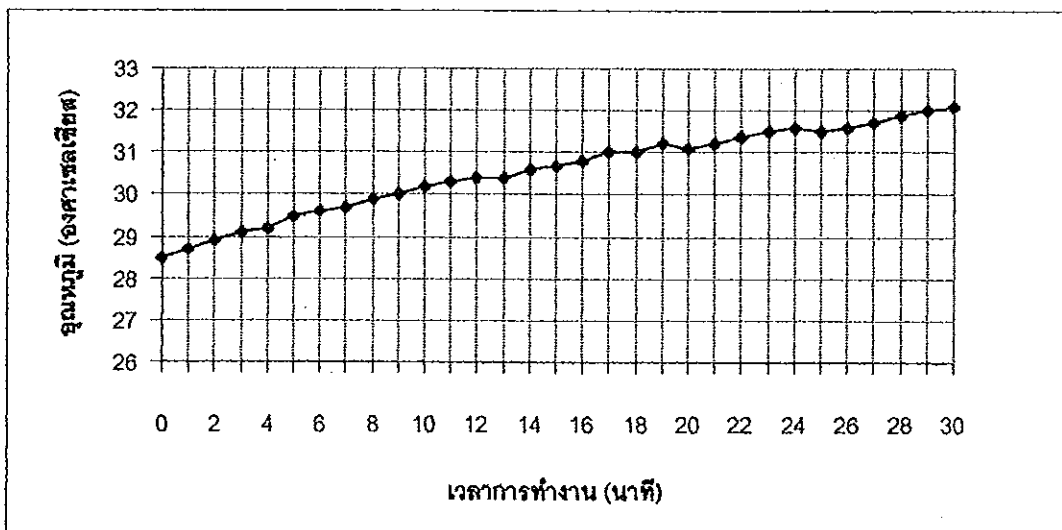
ภาพประกอบ 42 กราฟแสดงความสัมพันธ์ระหว่างปริมาณโอโซนกับเวลาการคิดสาร ที่อัตราการไฟฟ้า 1.42 ลิตร์ต่อนาที



จากการเพิ่มเวลาในการถ่ายโอดูโอโซนในแต่ละค่าของสนาม  $E/n_{\text{air}}$  (reduced field) ปริมาณผลผลิตโอดูโอโซนจะเพิ่มขึ้นในลักษณะเป็นเส้นตรง โดยที่ปริมาณผลผลิตโอดูโอโซนที่ 137.2 Td. จะเพิ่มขึ้นมากกว่าปริมาณผลผลิตโอดูโอโซนที่ 131.0 Td. ประมาณ 2 เท่า ที่เวลาการดีซาร์ชเดียวกัน และที่ 131.0 Td. จะมีปริมาณผลผลิตโอดูโอโซนมากกว่าปริมาณโอดูโอโซนที่ 118.4 Td. ประมาณ 2 เท่า ที่เวลาการดีซาร์ชเดียวกัน

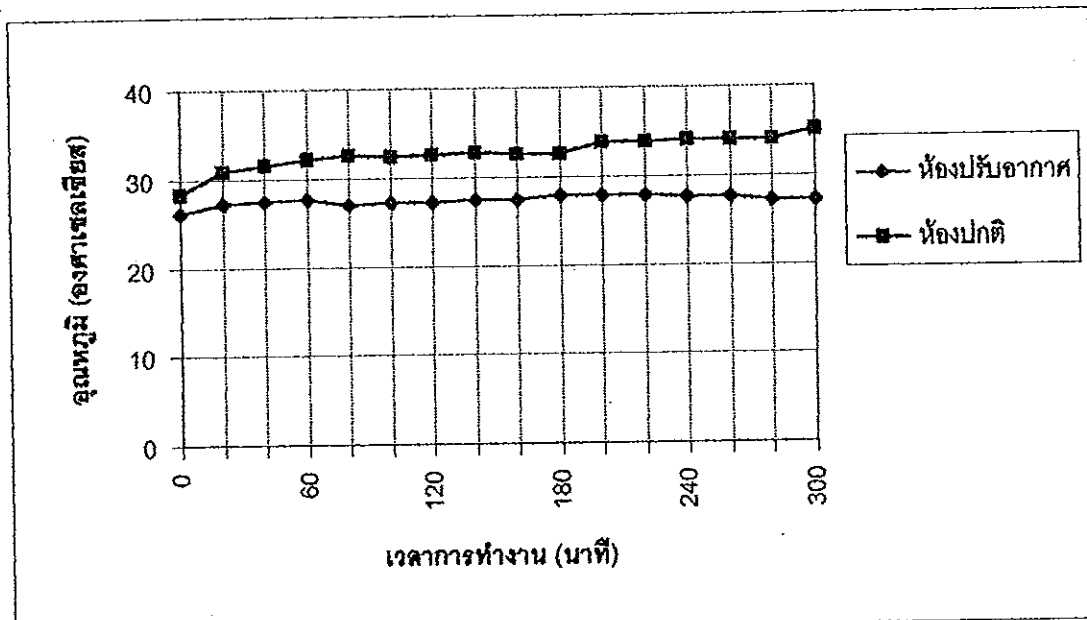
2.2 ผลการทำงานของเครื่องกำเนิดโอดูโอโซนกับอุณหภูมิที่ผิวของหลอดโอดูโอโซนชอร์ที่เวลาการทำงานต่างๆ ซึ่งในที่นี้จะใช้เทอร์โนคัมเมิล Type K ติดที่ผิวภายนอกของเซลล์โอดูโอโซนชอร์เชื่อมติด ด้วยการซิลิโคน โดยที่สายเทอร์โนคัมเมิลจะไปเสียบกับ มัตติมิเตอร์ของบริษัทฟลุค รุ่น 87 เพื่อวัด อุณหภูมิภายนอกของเซลล์โอดูโอโซนชอร์ที่เปลี่ยนแปลงไปตามเวลาการทำงานของระบบ ผลการทำงานแสดงในกราฟรูป 42 และกราฟรูป 43 ระหว่างอุณหภูมิที่ผิวภายนอกของเซลล์โอดูโอโซนชอร์กับ เวลาการทำงานของระบบ

ภาพประกอบ 43 กราฟแสดงความสัมพันธ์ระหว่างอุณหภูมิที่ผิวภายนอกข้ออี้ลีกไทรคกับเวลา การทำงานของเครื่องกำเนิดโอดูโอโซน ที่ สนามไฟฟ้า  $3.22 \times 10^3 \text{ kV/m}$  อัตราการ ไหหลังอากาศ  $1.42 \text{ l/min}$  อุณหภูมิของห้องก่อน และหลังการหลักของเป็น 28.2 และ 28.2 องศาเซลเซียส



จากกราฟวัดอุณหภูมิที่ผิวข้ออี้เด็กโทรศากยานออกเพื่อคุ้งในการทำงานของหลอดไฟ โฉนดในเซอร์นีความร้อนเกิดขึ้นภายในช่องว่างอากาศในหลอดไฟโฉนดในเซอร์อย่างไร โดยในที่นี่ได้อนุมานว่าอุณหภูมิที่ผิวภายนอกมีความใกล้เคียงกับอุณหภูมิภายในช่องว่างอากาศ เมื่อจะทำการถ่ายเทความร้อนทั้งแบบแผรังสี การพารามิเตอร์ และการนำความร้อนออกสู่外ของระบบคัวบล็อก เด็กโทรศากซึ่งทำจากโลหะไร้สนิมสแตนเลส พบว่า เมื่อทำงานเป็นเวลา 30 นาที อุณหภูมิมีความแตกต่างกันประมาณ 3 - 4 องศาเซลเซียส เท่านั้นถือว่าอุณหภูมนีการเพิ่มขึ้นน้อยมาก เนื่องจากใน การทดลองแต่ละครั้งในการวัดจะใช้เวลาในการทำงานไม่เกิน 20 นาที จึงอนุมานได้ว่าอุณหภูมิที่สูงสุด  $\pm 3-4^{\circ}\text{C}$  ที่เกิดขึ้นไม่มีผลต่อการเปลี่ยนแปลงปริมาณผลผลิตโอลูชันของระบบ เนื่องจากระบบที่ใช้จะทำงานในช่วงเวลาสั้นๆ และเมื่อถูกดูดของบริษัทโอลูชันจากภายนอก 40 ประกอบกันแล้วปริมาณโอลูชันที่ผลิตได้ต่อเวลาอยู่ในวงกว้างที่

ภาพประกอบ 44 กราฟแสดงความสัมพันธ์ระหว่างอุณหภูมิที่ผิวภายนอกข้ออี้เด็กโทรศากับเวลาการทำงานของระบบการกำเนิดโอลูชัน ซึ่งเปรียบเทียบกันระหว่างห้องปรับอากาศกับห้องปักติ ที่ สนามไฟฟ้า  $3.22 \times 10^3 \text{ kV/m}$  อัตราการไหลของอากาศ 1.42 l/min

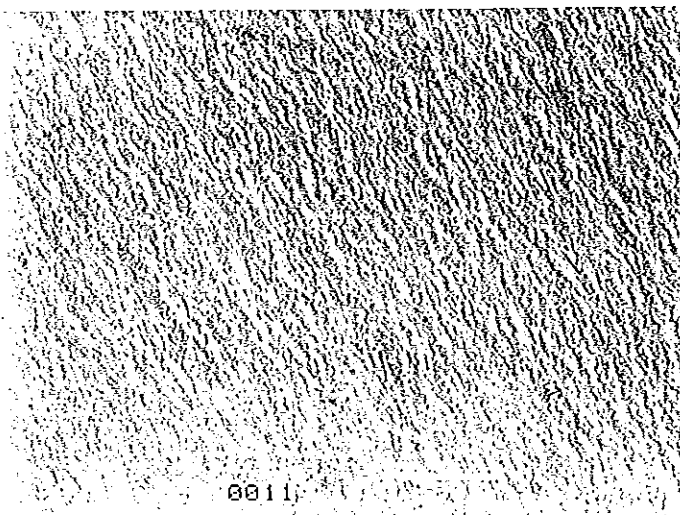


อุณหภูมิที่ห้องปักติ ก่อน และหลังการทดลองเป็น 27.9 และ 30.4 องศาเซลเซียส ตามลำดับ ส่วนอุณหภูมิที่ห้องปรับอากาศ เป็น 25 องศาเซลเซียส คงที่ โดยประมาณ เมื่อมีการทำเป็นระยะเวลาณัต 300 นาที จากการเปรียบเทียบระหว่างอุณหภูมิที่ศิวของข้าวอีเด็กโตรด กานยนกหอยด ไอ โซ ในเชอร์ ที่ห้องปักติกับห้องปรับอากาศ ที่อุณหภูมิห้องปรับอากาศนี้ความแตกต่างของอุณหภูมนี้ประมาณ 1-3 องศาเซลเซียส ส่วนอุณหภูมิที่ห้องปักตินี้มีการทำความแตกต่างของอุณหภูมิตั้งแต่เริ่มต้นจนกระทั่งสิ้นสุดประมาณ 7 องศาเซลเซียส โดยที่อุณหภูมนี้จะมีการเปลี่ยนแปลงอย่างต่อเนื่องในช่วง 30 นาทีแรก หลังจากนั้นจะมีการเพิ่มขึ้นของอุณหภูมนี้อย่างมาก และค่อนข้างจะคงที่เมื่อเวลาการทำางานของระบบจะมากขึ้นก็ตาม

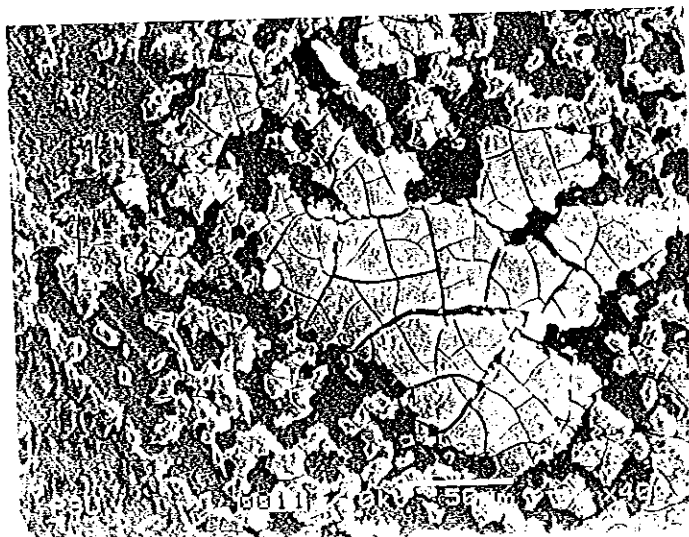
**2.3 ผลการใช้ก้อนจุลทรรศน์อีเด็กโตรอบแบบสแกน (SEM) เพื่อดูผ่านอะลูมิเนียมบางที่ได้รับการเผาไหม้แล้ว**

เนื่องจากผู้วิจัยได้ตรวจสอบว่ามีการถูกของศิวแห่งอะลูมิเนียมบางเมื่อถูกปะกอนเซลต์ ไอ โซ ในเชอร์ออกมาน้ำซึ่งได้นำไปตรวจดูด้วยกล้องจุลทรรศน์อีเด็กโตรอน เพื่อดูถูกไหมของอะลูมิเนียมบางว่ามีความเสียหายหรือไม่อย่างไรเมื่อผ่านศักย์ไฟฟ้าสูงๆ เป็นระยะเวลาหนึ่ง ซึ่งมีประโยชน์ในการทำนายผลของการเสียหายว่ามีสาเหตุจากอะไร นอกจากนี้ยังเป็นแนวความคิด คู่การสร้างและยังคงแบบเดิม เพื่อพัฒนาระบบทองซึ่งแสดงให้โซในเชอร์ต่ายไปในยานพาหนะ หากการเผาไหม้ที่ถูกก้อนจุลทรรศน์อีเด็กโตรอนแบบสแกน (SEM) เบรียบเทียบก่อน และหลังการทำางาน พบร้า แผ่นอะลูมิเนียมบางมีความเสียหายขึ้นเนื่องมาจากการเผาไฟฟ้าที่เกิดขึ้น ซึ่งจะทำให้มีการสูญเสียพลังงานในส่วนนี้ และอาจจะเป็นสาเหตุที่ทำให้ปริมาณผลผลิต ไอ โซนที่ได้ลดลงจากความเป็นจริงด้วย

ภาพประกอบ 45 ลักษณะของผิวอุ่นไม่เยี่ยมบางที่ไม่ได้ผ่านการทำทำงาน เมื่อส่องด้วยกล้อง<sup>\*</sup>  
จุลทรรศน์อิเล็กตรอนแบบสแกน



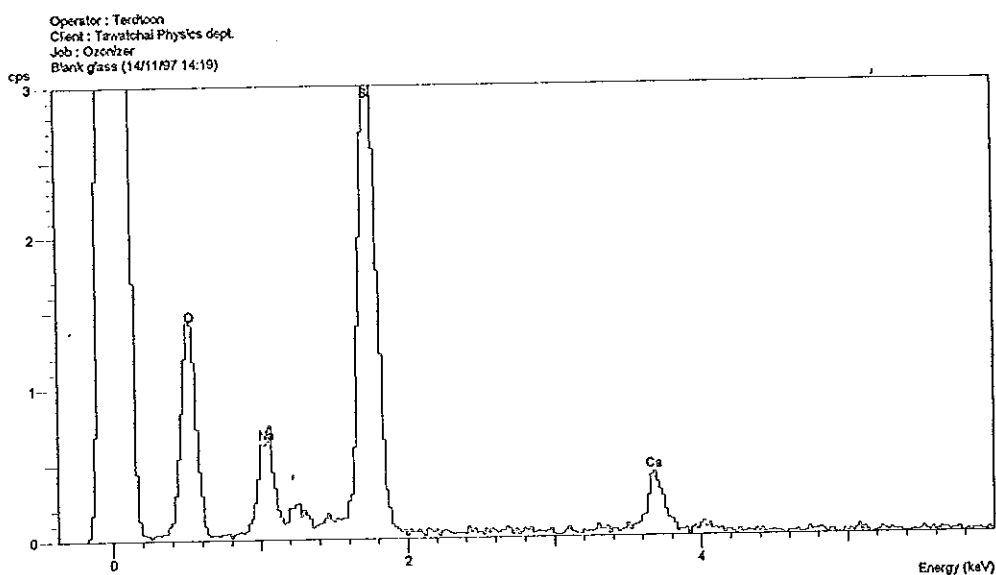
ภาพประกอบ 46 ลักษณะของผิวอุ่นไม่เยี่ยมบางที่ผ่านการทำทำงาน เมื่อส่องด้วยกล้องจุลทรรศน์  
อิเล็กตรอนแบบสแกน



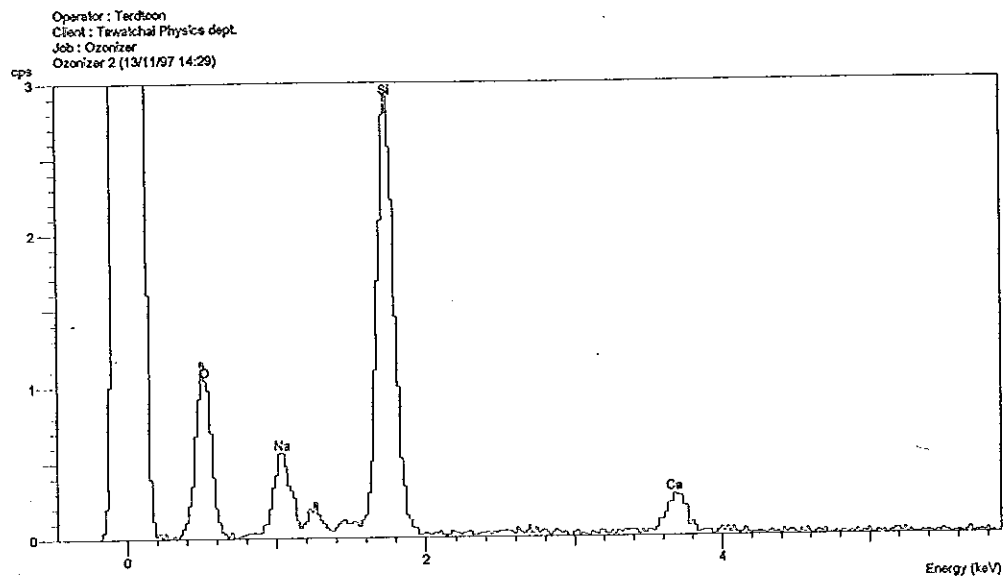
2.4 ผลการตรวจสอบผิวของแก้วทันความร้อนที่ใช้เป็นไดอะลีกติกในเซลล์ไอโซไนเซอร์ เพื่อสังเกตว่ามีสารอะไรตกค้างอยู่ภายในบ้าง หลังจากผ่านการดิษชาร์จมาเป็นระยะเวลา 10 ชั่วโมง

จากทฤษฎีทราบว่าเมื่อใช้อาภาคปืนเข้าไปในระบบการทำเนิดไอโซนจะทำให้เกิดมีกระบวนการประคองพากในโครงสร้างที่ผิวของแก้วที่ใช้ทำไดอะลีกติก จึงทำให้ผิวจับได้ออกแบบการทดสอบโดยนำชิ้นส่วนของแก้วเล็กขนาด 0.5 ตารางเซนติเมตร ไปติดไว้ที่ผิวแก้วภายในช่องว่างดิษชาร์จ หากผลการตรวจก่อน และหลัง การทำงานของเซลล์ไอโซไนเซอร์ ให้ผลการวิเคราะห์ที่เหมือนกัน จึงกล่าวได้ว่าไม่มีการเปลี่ยนแปลงเกิดขึ้นภายในช่องว่างดิษชาร์จ

ภาพประกอบ 47 ถักขยะของผิวไดอะลีกติกที่ซึ่งไม่ได้ผ่านการทำงาน เมื่อส่องดูด้วยกล้องจุลทรรศน์อิเล็กตรอนแบบสแกน (SEM)



ภาพประกอบ 48 ถักยนต์ของผิวไดอิเล็กตริกที่ผ่านการทำทำงานเป็นระยะเวลา 10 ชั่วโมง เมื่อส่องด้วยกล้องจุลทรรศน์อิเล็กตรอนแบบสแกน (SEM)



### ตอนที่ 3 ผลการใช้ก้าชโอลิโอนในการฝ่าเชื้อโรคที่มีอยู่ในน้ำค้างๆ ที่ได้เลือกมาใช้ในการวิจัย

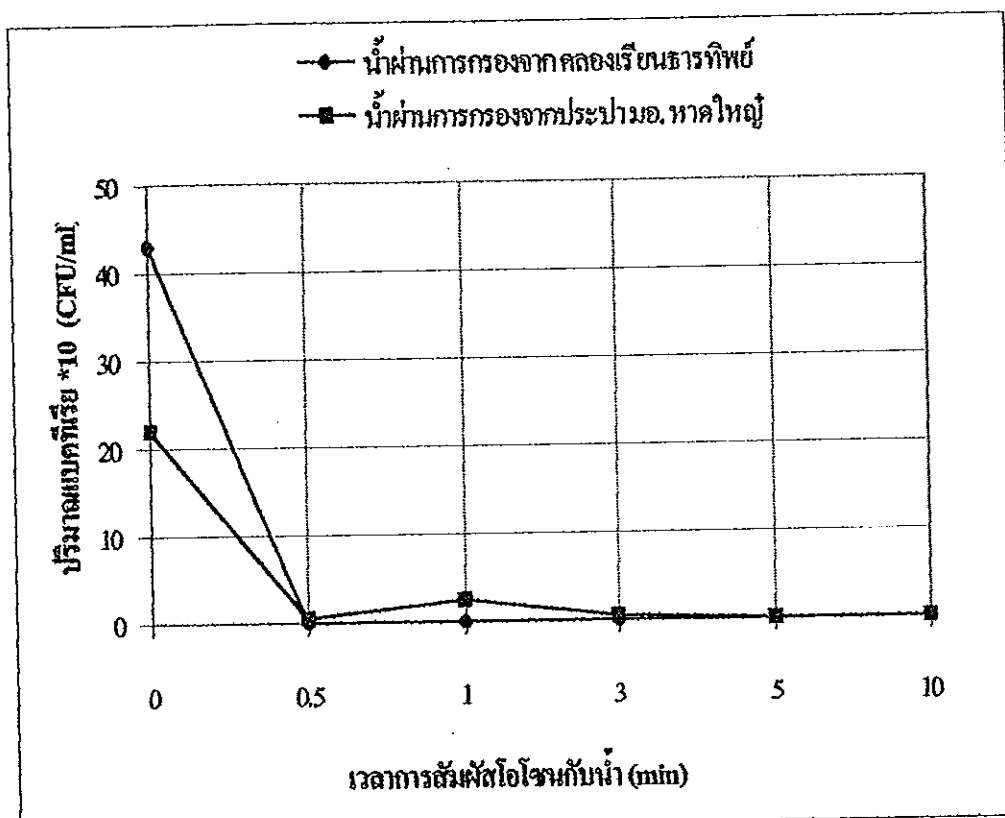
ในตอนนี้จะได้แสดงผลของการทดลอง และทดสอบถึงการนำก้าชโอลิโอนที่ภาวะเคมีของระบบที่ผู้จัดได้เลือกไว้ในการฆ่าเชื้อโรคที่มีอยู่ในน้ำจากแหล่งต่างๆ โดยมีวัสดุประสงค์เพื่อให้ทราบประสิทธิภาพของโอลิโอนในการกำจัดเชื้อโรคที่มีในน้ำของระบบและประโยชน์ในการศึกษาคุณสมบัติของน้ำที่ผ่านโอลิโอน และนำไปสู่การพัฒนาระบบการกำเนิดโอลิโอนในระดับหมากต่อไป ซึ่งผลของการศึกษานี้ได้แบ่งออกเป็นข้อๆ ดังนี้

1. ผลของการฆ่าเชื้อแบคทีเรียในน้ำดื่มผ่านการกรอง (น้ำดื่มและน้ำประปา)
2. ผลของการฆ่าเชื้อแบคทีเรียในน้ำที่ไม่ได้ผ่านการกรอง (น้ำทึบในป้อมบ้านน้ำ ออกซิเจนของโรงพยาบาลส่งขลานครินทร์)
3. ผลของการฆ่าเชื้อแบคทีเรียในน้ำทะเล (น้ำทะเล)

#### 1. ผลของการฝ่าเชื้อแบคทีเรียในน้ำดื่มผ่านการกรอง (น้ำดื่มและน้ำประปา)

ในหัวข้อนี้ผลการวิจัยแสดงเป็นกราฟ พิจารณาตามเชื้อแบคทีเรียที่วิเคราะห์ในการวิจัยนี้ได้วิเคราะห์เชื้อแบคทีเรียที่มีอยู่ในน้ำผ่านการกรองแบ่งเป็น 4 ชนิด ดังนี้ 1. Total bacteria, 2. Total coliform, 3. Fecal coliform และ 4. Fecal streptococci ในแต่ละชนิดจะใช้เทคนิคที่แตกต่างกันออกไปในการวิเคราะห์หาปริมาณเชื้อที่มีอยู่ในน้ำ เชื้อที่เดือนี้เป็นเชื้อที่บ่งชี้คุณลักษณะของน้ำทางชีววิทยาที่เป็นไปตามมาตรฐานของน้ำดื่ม และน้ำเสีย ผลการทดลองแสดงในภาพประกอบ 49 ระหว่างปริมาณเชื้อแบคทีเรียกับเวลาการสัมผัสโอลิโอน ในน้ำผ่านการกรอง

ภาพประกอบ 49 กราฟแสดงความสัมพันธ์ระหว่างปริมาณแบคทีเรียกับเวลาการสัมผัสโอโซน  
ที่ สนามไฟฟ้า  $3.22 \times 10^3 \text{ kV/m}$  อัตราการไหลของอากาศ  $1.42 \text{ l/min}$



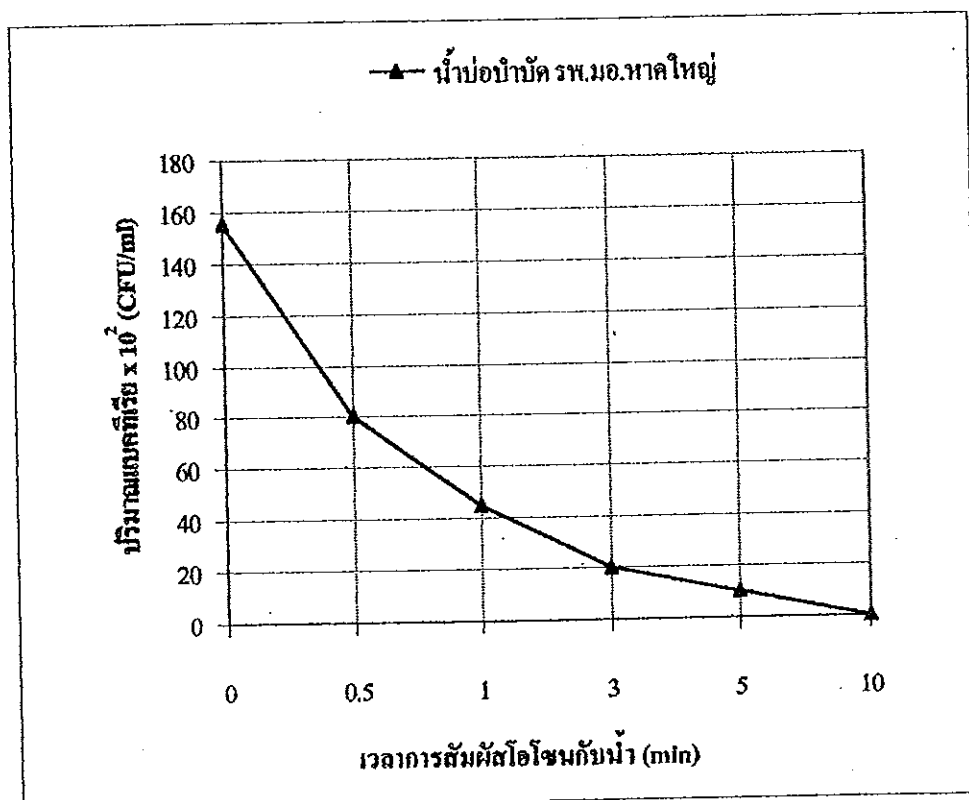
ผลการน้ำปริมาณน้ำดิบผ่านการกรองจากห้องสองแหล่งมาผ่านก๊าซโอโซนแล้ว วิเคราะห์ผลของเชื้อแบคทีเรียนิด total bacteria พบว่า ปริมาณเชื้อแบคทีเรียทั้งหมดในน้ำดิบผ่านการกรองจากห้อง 2 แหล่ง ที่ระดับเชื้อแบคทีเรียมีน้อยที่แตกต่างกันเกือบจะ 2 เท่า แต่เมื่อนำมาผ่าน ก๊าซโอโซน อัตราการผลิตในอากาศ  $0.4 \text{ mgO}_3/\text{min}$  จะใช้เวลาในการสัมผัสโอโซน 0.5 นาที ในการทำให้น้ำปราศจากเชื้อแบคทีเรียทั้งหมดในน้ำผ่านการกรองที่เป็นตัวก่อโรคแก่ผู้บริโภค และเป็นไปตามมาตรฐานของน้ำบริโภค (สานักงานมาตรฐานผลิตภัณฑ์อุตสาหกรรม, 2535) สำหรับการวิเคราะห์เชื้อแบคทีเรียนิดค่าๆ ที่เห็นอีก 3 ชนิด ที่กล่าวมา ในน้ำทั้งสองแหล่งนี้ พบว่า มีค่าปริมาณ 5 MPN/100 ml หลังจากผ่าน โอโซนที่เวลา 0.5 นาที ปริมาณเชื้อแบคทีเรียที่มีอยู่ในน้ำเป็นไปตามมาตรฐานของน้ำบริโภค จากการประกอบด้านบนมีความเป็นไปได้ที่จะใช้เวลาในการกำจัดเชื้อแบคทีเรียภายใน 0.5 นาที เช่นกัน แม้จะมีการเพิ่มระดับของเชื้อแบคทีเรียมีน้อยอีก

และมีความเป็นไปได้ที่จะเพิ่มอัตราการผลิตโอโซนให้มีสูงขึ้น ก็สามารถที่จะลดเวลาในการกำจัดเชื้อแบคทีเรียได้เช่นกัน แต่ก็จะมีปัญหารื่องของค่าใช้จ่ายที่เพิ่มตามมาด้วย

## 2. ผลของการฆ่าเชื้อแบคทีเรียในน้ำที่ไม่ได้ผ่านการกรองซึ่งเป็นน้ำทึบจากน้ำบัวดอกรชิเซนของโรงพยาบาลมหาวิทยาลัยสงขลานครินทร์

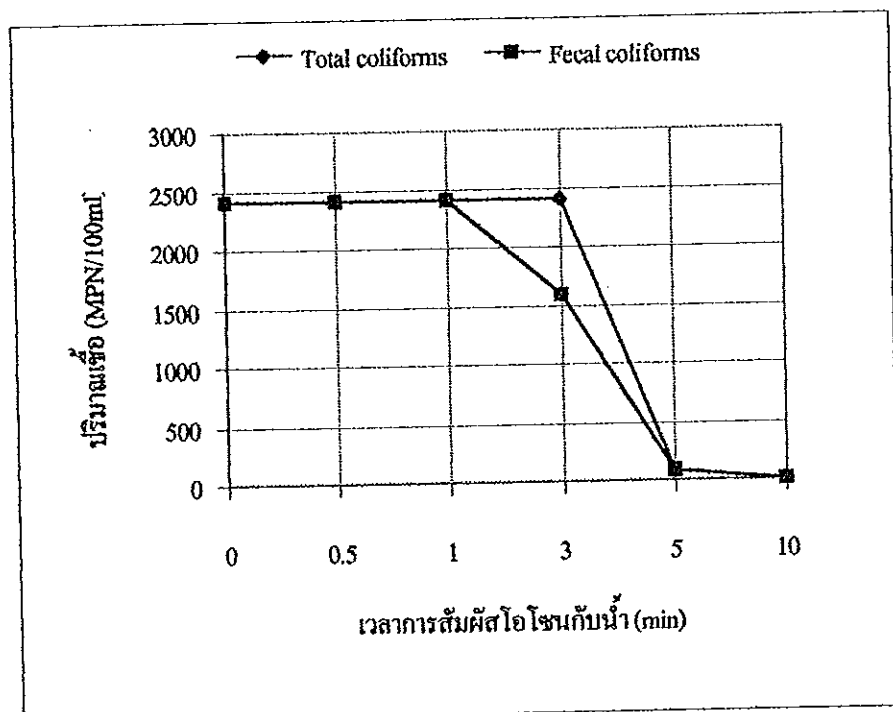
ในหัวข้อนี้ผลการวิจัยจะเคราะห์หาเชื้อแบคทีเรียทึบหมุดเหมือนหัวข้อที่ผ่านมาเมื่อ น้ำทึบผ่านระบบโอโซน ตามภาพประกอบ 33 ซึ่งน้ำที่นำมาผ่านการฆ่าเชื้อแบคทีเรียด้วยก๊าซ โอโซนจะเป็นน้ำทึบที่ไม่ได้ผ่านกระบวนการใดๆ เลย เมื่อจากผู้วิจัยต้องการคุ้ว่าที่ปริมาณเชื้อมากๆ และมีถูกต้องของการอินทรีย์อื่นๆ ที่แพร่กระจายอยู่นั้นมีผลอย่างไรต่อการบัวดักน้ำด้วย โอโซน

ภาพประกอบ 50 กราฟแสดงความสัมพันธ์ระหว่างปริมาณแบคทีเรียกับเวลาการสัมผัส โอโซน ที่ spanning ไฟฟ้า  $3.22 \times 10^3$  kV/m อัตราการไหลของอากาศ 1.42 l/min



น้ำทึบจากบ่อบัวค์โรงพยาบาลมหาวิทยาลัยสงขลานครินทร์นี้มีปริมาณเชื้อแบคทีเรียเริ่มต้น  $14,800 \text{ CFU/ml}$  ใช้ก๊าซไออกไซน์อัตราการผลิต  $0.42 \text{ mgO}_3/\text{min}$  ในการทำให้กำจัดเชื้อแบคทีเรียได้  $100\%$  ฉะต้องใช้เวลาในการสัมผัสระหว่างก๊าซไออกไซน์กับน้ำทึบ เป็นเวลา  $10 \text{นาที}$  เวลาในการกำจัดเชื้อแบคทีเรียเป็นเฉพาะเชื่อนไนท์เท่านั้น ถ้ามีการเปลี่ยนแปลงเชื่อนไนท์ใดตัวหนึ่งจากนี้ไป ก็จะทำให้ผลที่ได้มีการเปลี่ยนแปลงด้วย จากการสังเกตเพิ่มเติมเปรียบเทียบน้ำทึบที่ผ่านการบำบัดด้วยไออกไซน์จะมีการตกร่องน้อยลงเท่านั้น ดังนั้นน้ำทึบมาผ่านการบำบัดด้วยไออกไซน์น่าจะผ่านกระบวนการบำบัดทางกายภาพมาก่อน ซึ่งจะช่วยลดค่าใช้จ่ายในการเพิ่มกำลังผลิตไออกไซน์ และจะใช้เวลาในการบำบัดได้รวดเร็วขึ้นด้วย

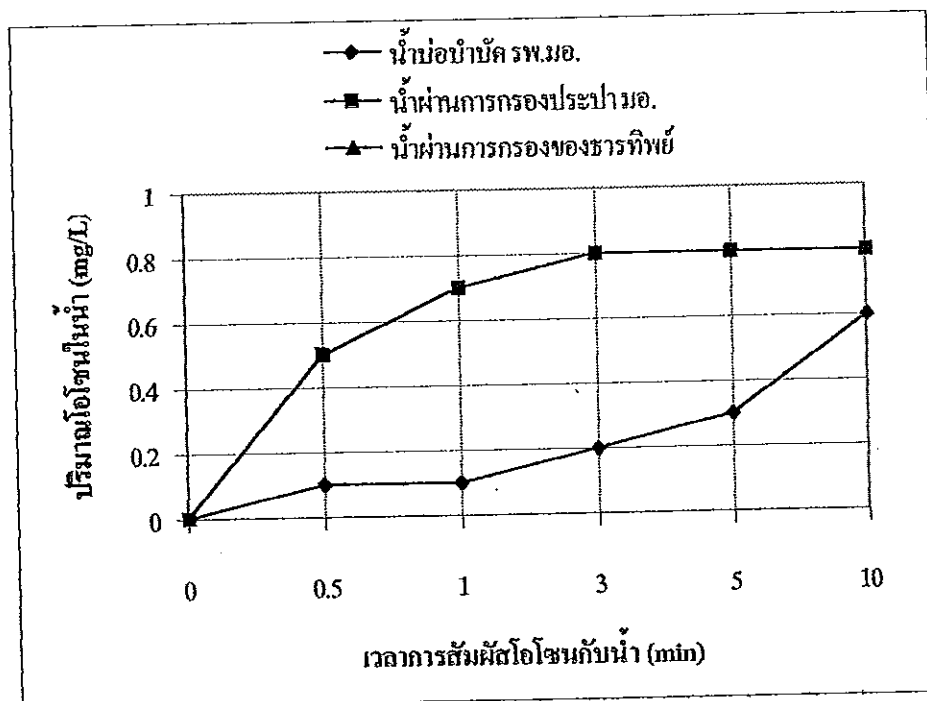
ภาพประกอบ 51 กราฟแสดงความสัมพันธ์ระหว่างปริมาณแบคทีเรียกับเวลาการสัมผัสไออกไซน์ ที่  
stanardไฟฟ้า  $3.22 \times 10^3 \text{ kV/m}$  อัตราการไหลของอากาศ  $1.42 \text{ l/min}$



ผลจากกราฟ พบร่วมกันว่า จำนวนเชื้อโคลิฟอร์มทึบหมด และพีคิดโคลิฟอร์ม ที่อยู่ในน้ำทึบ จากโรงพยาบาลสงขลานครินทร์ เมื่อนำมาผ่านการบำบัดด้วยก๊าซไออกไซน์ พบร่วมกันว่า ในช่วงเวลาการ

สัมผัสไอโอดินช่วงแรกคือ 0 – 1 นาที ผลจากการทดสอบไม่เห็นถึงการลดลงของเบคทีเรีย แต่จริงๆ แล้วน่าจะมีการลดลงของจำนวนเบคทีเรียในช่วงนี้ แต่ผลวิเคราะห์แสดงได้ไม่เกินค่ากัน ซึ่งจะเห็นได้ว่าในช่วงเวลาการสัมผัสไอโอดินต่อมานปริมาณของเบคทีเรียจะลดลงอย่างเห็นได้ชัด และใช้เวลาในการสัมผัสกับก้าชไอโอดิน 10 นาที ในการกำจัดเชื้อโคลิฟอร์นในน้ำที่ได้ 100 %

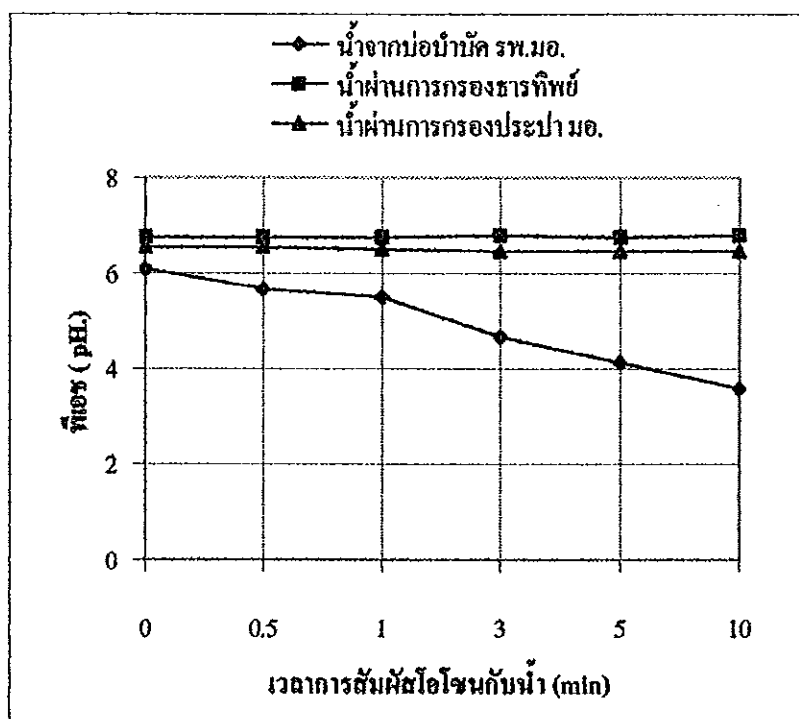
ภาพประกอบ 52 กราฟแสดงความสัมพันธ์ระหว่างปริมาณไอโอดินในน้ำกับเวลาการสัมผัส  
ไอโอดิน ที่ สนามไฟฟ้า  $3.22 \times 10^3 \text{ kV/m}$  อัตราการไหดของอากาศ  $1.42 \text{ l/min}$



ผลการทดลองที่ได้นี้จะทำการวัดปริมาณความเสี่ยงขั้นไอโอดินที่ละลายอยู่ในน้ำโดยการใช้ชุดทดสอบวัดการละลายของไอโอดินในน้ำ (Parin test) จากกราฟ พบว่า น้ำดิบผ่านการกรองทั้งสองแหล่ง ได้ผลการความเสี่ยงขั้นไอโอดินในระดับที่เท่ากันในทุกๆ ช่วงเวลาในการบำบัดด้วยไอโอดิน และมีความเสี่ยงขั้นของไอโอดินสูงกว่า น้ำทึบภายในป้องบำบัดออกซิเจน อันเนื่องมาจากการกรองน้ำที่ผ่านการกรองนี้จะมีสารอินทรีย์ และอนินทรีย์ในน้ำน้อยกว่าทำให้ก้าชไอโอดินที่จะไปทำ

ปฏิกริยา กับสิ่งเหล่านี้ก็น้อยด้วยเห็นได้ที่วัดการละลายของไอโอดินออกมาได้มากกว่า ซึ่งจะสังเกตว่าที่เวลาคิดิศชาร์ชเพิ่มนากซึ่งปริมาณความเข้มข้นของไอโอดินจะเพิ่มขึ้นด้วย และที่เวลาที่เพิ่มขึ้นนี้จากผลที่ผ่านมาถ้าสังเกตพบว่าปริมาณซึ่งจะลดลงซึ่งก็แสดงว่าปริมาณของก๊าซไอโอดินที่จะไปทำปฏิกริยากับเชื้อและสิ่งปนเปื้อนอื่นๆ ก็น้อยลงด้วยซึ่งทำให้ค่าปริมาณความเข้มข้นของไอโอดินที่รัดได้เพิ่มขึ้นด้วยในน้ำทั้ง 2 ชนิด เมื่อเวลาการบำบัดด้วยก๊าซไอโอดินเพิ่มขึ้นด้วยเห็นได้

ภาพประกอบ 53 กราฟแสดงความสัมพันธ์ระหว่างค่าพีเอชกับเวลาการสัมผัสไอโอดิน ที่ สนานไฟ  
ฟ้า  $3.22 \times 10^3$  kV/m อัตราการไหลของอากาศ 1.42 l/min



หลังจากการวัดค่าพีเอชของน้ำก่อนและหลังการบำบัดด้วยไอโอดิน พบว่า น้ำดิบผ่านการกรองจะมีการเปลี่ยนแปลงของค่าพีเอชน้อยมากซึ่งถือได้ว่าอยู่ในระดับที่คงที่ เมื่อเปรียบเทียบกับค่าพีเอชของน้ำทึ้งแล้ว พบว่า ค่าพีเอชของน้ำทึ้งจะลดลงมีสภาพเป็นกรดเมื่อถึงสุดเวลาการบำบัด ที่ 10 นาที ค่าความเป็นกรดน้ำจะมีผลมาจากการทำงานของแบคทีเรียจิพวงที่ไม่ใช้ออกซิเจนทำงานให้ไออกไซด์ไฮฟีด ( $H_2S$ ) ก่อนที่จะถูกกำจัดด้วยไอโอดิน หรือไม่ก็เป็นผลิตภัณฑ์ที่เกิดจากการทำปฏิกริยะระหว่างก๊าซไอโอดินกับน้ำทึ้งนั้นซึ่งเป็นสารอนินทรีย์อื่นๆ ที่ไม่ได้ทำการ

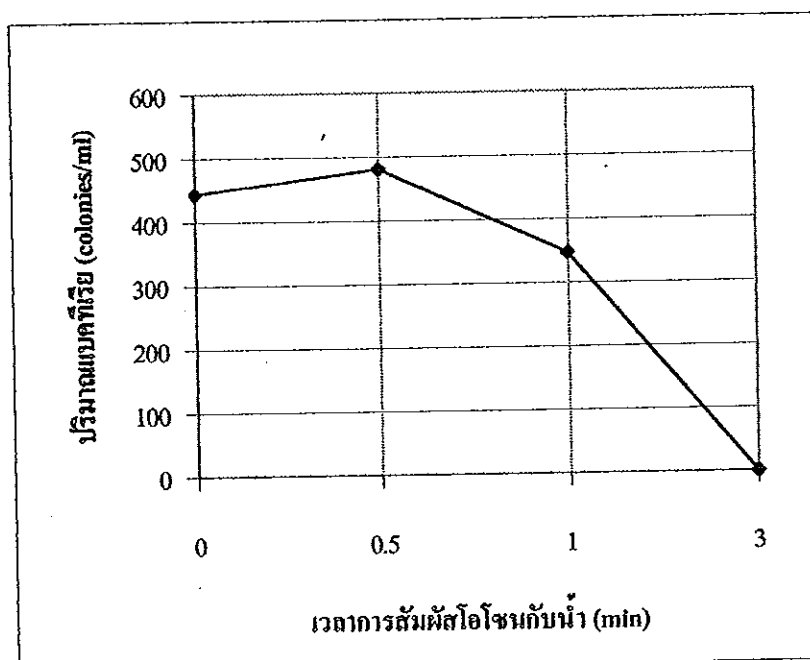
วิเคราะห์ จากผลตรงนี้ทำให้การใช้โอโซนในการบำบัดน้ำทึ่งที่ไม่ได้ผ่านกระบวนการบำบัดทางเคมีภาพค่อนข้างจะยุ่งยากและมีปัญหาที่จะต้องแก้ไขตามมาด้วย

### 3. ผลของการรีเซ็อเบกที่เรียในน้ำากุ้ง

ในหัวข้อนี้ได้ศึกษาผลการวิจัยเพื่อวิเคราะห์หาเรือเบกที่เรีย ชนิด Total bacteria และ Vibrio sp. ที่มีอยู่ในน้ำากุ้งซึ่งเรือเบกานี้เป็นสาเหตุของเรื่องแดงที่มีในน้ำและทำให้กุ้งเป็นโรคตายในที่สุด และเป็นปัญหาแก่เกษตรกรในการเลี้ยงกุ้งนอกจากานี้ยังได้ศึกษาผลการวิจัยของคุณภาพของน้ำากุ้งที่ผ่านการรีเซ็อเบกที่เรียโดยอิทธิพลของปัจจัยในการสนับสนุนที่สำคัญเกี่ยวข้องกับอัตราการตายของกุ้งด้วย ผลการวิจัยได้แบ่งออกเป็น ดังนี้

#### 3.1 ผลการวิเคราะห์เรือเบกที่เรีย ชนิด Vibrio sp. ที่เวลาการสัมผัสถักก้าชโอโซนต่างๆ กัน

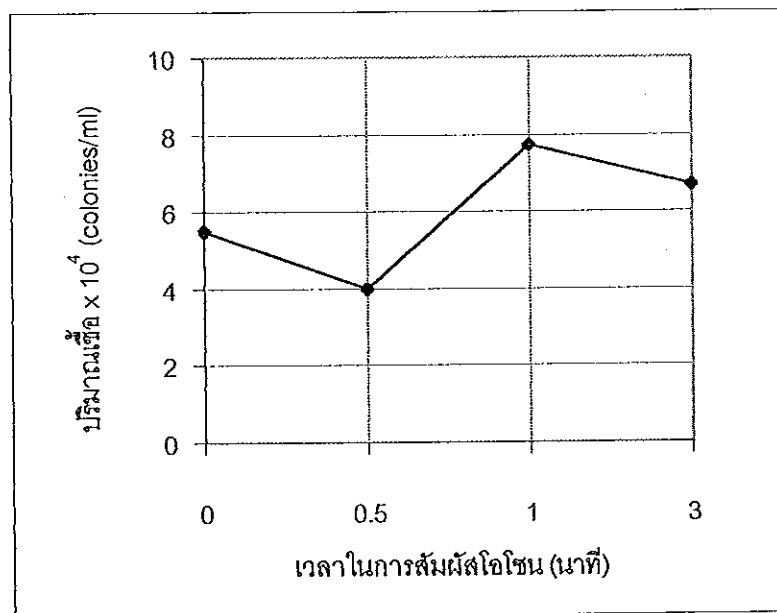
ภาพประกอบ 54 กราฟแสดงความสัมพันธ์ระหว่างปริมาณเรือไวนิลเรือไวนิลกับเวลาการสัมผัสถักก้าชโอโซนของน้ำากุ้ง ที่ สนามไฟฟ้า  $3.22 \times 10^3$  kV/m อัตราการไก่ของอากาศ 1.42 l/min



ผลจากการพนวจพบว่า ปริมาณเรือเบกที่เรียชนิด Vibrio sp. ที่มีอยู่ในน้ำากุ้งถูกกำจัดได้ 100 % ด้วยการรีเซ็อเบกที่เรีย ใช้เวลาการสัมผัสถักก้าชเพียง 3 นาที ที่ระดับปริมาณเรือ Vibrio sp. ที่แสดงนี้

เท่านั้นที่ใช้เวลาในการบำบัด 3 นาที ถ้าเกิดมีการเปลี่ยนแปลงปริมาณเชื้อเวลาที่ใช้ก็อาจจะมีการเปลี่ยนแปลงได้ เช่น กันที่อัตราการผลิต ไอโอดินนี้ แต่ผลที่ได้นี้ก็สามารถนำไปประยุกต์ใช้ได้โดยจะต้องออกแบบและสร้างตัวสัมผัส (Contactor) โดยใช้เวลา 3 นาที ให้น้ำอยู่ภายในตัวสัมผัส โดยที่ภายในนี้จะมีหัวทรายช่วยในการกระจายกําชีญให้สัมผัสถกันน้ำได้เป็นอย่างดี

ภาพประกอบ 55 กราฟแสดงความสัมพันธ์ระหว่างปริมาณเชื้อแบคทีเรียทั้งหมดกับเวลาการสัมผัสไอโอดินของน้ำน้ำทึ่ง ที่ สนามไฟฟ้า  $3.22 \times 10^3$  kV/m อัตราการไหลของอากาศ 1.42 l/min



ผลจากการพ. พนบว. ปริมาณเชื้อแบคทีเรียทั้งหมดที่มีอยู่ในน้ำไม่ได้รับผลกระทบจากปริมาณไอโอดินที่เพิ่งลงไปในน้ำทึ่งที่เวลาต่างๆ ซึ่งนับว่าเป็นประโยชน์เนื่องจากแบคทีเรียเหล่านี้จะมีประโยชน์ในระบบนิเวศน์ของน้ำทึ่งด้วย แต่ยังคงมากที่จะอธิบายว่าทำไม่เชื้อแบคทีเรียเหล่านี้ทำไม่ยังคงอยู่ได้ น่าจะเป็นที่ปริมาณไอโอดินที่ใช้ยังมีความเข้มข้นน้อย หรือเชื้อแบคทีเรียเหล่านี้มีการแฝงตัวอยู่ในสารอินทรีย์ต่างๆ ให้ดี สิ่งเหล่านี้จะต้องทำการศึกษาระดับต่อไปอีก

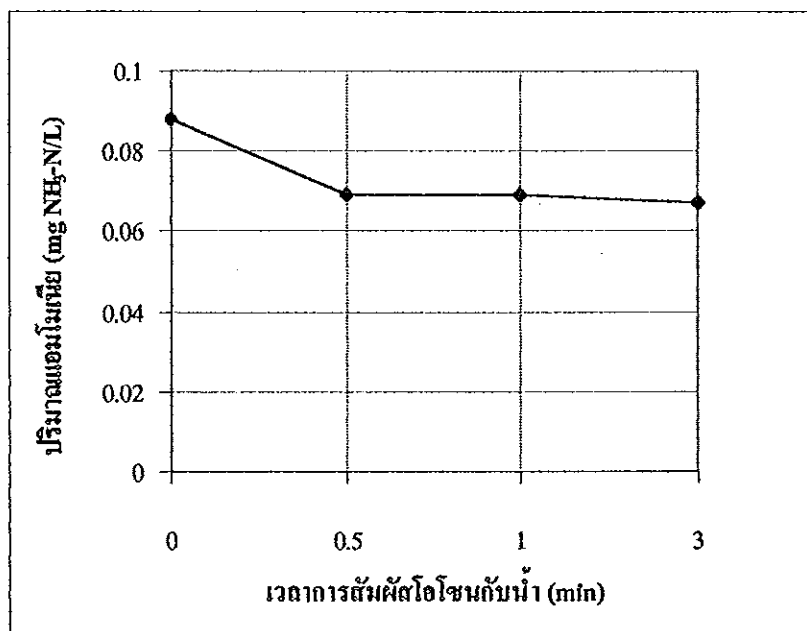
3.2 ผลการวิเคราะห์คุณภาพน้ำในกุ้งก่อนและหลังการผ่านก๊าซไอโอดีน ที่เวลาการสัมผัสถูกต้อง  
กับน้ำในส่วนนี้สามารถแบ่งออกได้ตามลำดับดังนี้

3.2.1 ผลการวิเคราะห์ปริมาณแอนโนเนีย

3.2.2 ผลการวิเคราะห์ปริมาณฟีอิอช

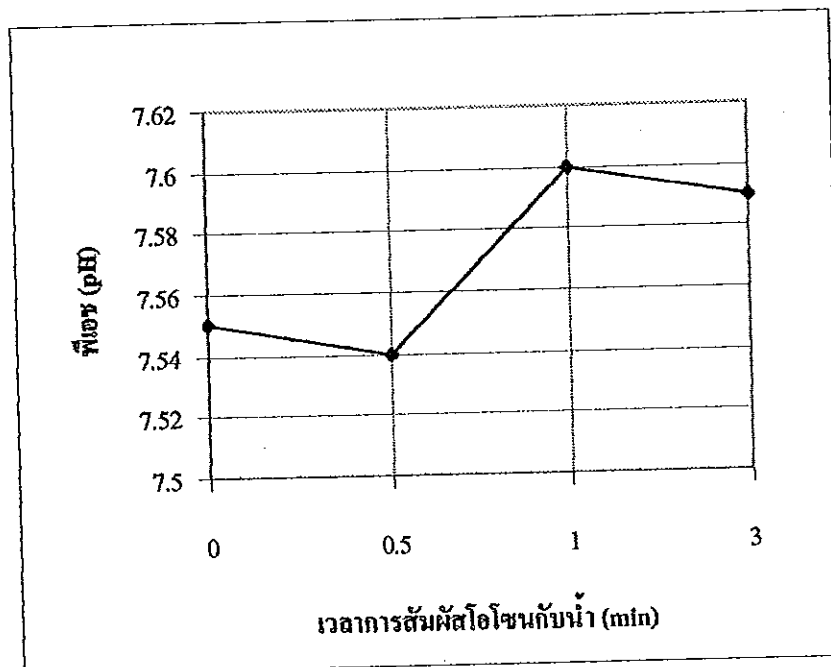
3.2.3 ผลการวิเคราะห์ปริมาณความกระด้าง

ภาพประกอบ 56 กราฟแสดงความสัมพันธ์ระหว่างปริมาณแอนโนเนียกับเวลาการสัมผัสด้วยไอโอดีน  
ของน้ำในกุ้ง ที่ ผ่านไฟฟ้า  $3.22 \times 10^3$  kV/m อัตราการไหลดของอากาศ 1.42 l/min

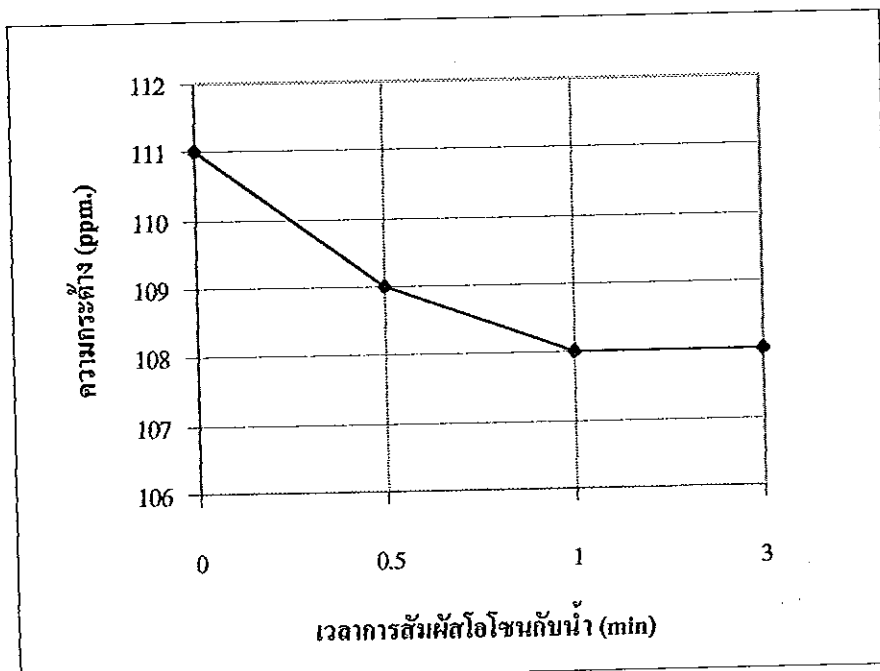


ผลจากการพิสูจน์ว่า ปริมาณไอโอดีนที่เพื่อลงไว้ในน้ำที่เวลาค้างๆ มีผลกระทบต่อ  
ปริมาณของแอนโนเนียที่มีอยู่ในน้ำในกุ้ง นั่นคือ ปริมาณแอนโนเนียจะลดลงจนถึงระดับคงที่ระดับ  
หนึ่งเท่านั้นเมื่อเจือไอโอดีนลงในน้ำในกุ้ง ซึ่ง เป็นประโยชน์ต่อคุณภาพของน้ำในกุ้ง เมื่อจาก  
แอนโนเนียเป็นผลิตภัณฑ์ที่ได้จากการย่อยสลายโปรตีนของจุลินทรีย์ในน้ำ และเมื่อปริมาณ  
แอนโนเนียในน้ำเพิ่มมากขึ้นจะทำให้กุ้งป่วย และไม่กินอาหาร ซึ่งเป็นสาเหตุหนึ่งที่ทำให้กุ้งตาย

ภาพประกอบ 57 กราฟแสดงความสัมพันธ์ระหว่างปริมาณพื้นที่อิเล็กทรอนิกส์กับเวลาการสัมผัติโดยใช้น้ำหนักถุง ที่ สนามไฟฟ้า  $3.22 \times 10^3 \text{ kV/m}$  อัตราการไหลของอากาศ  $1.42 \text{ l/min}$



ภาพประกอบ 58 กราฟแสดงความสัมพันธ์ระหว่างความกระด้างกับเวลาการสัมผัสโอมิโซน  
ของน้ำหนักซึ่งที่สนามไฟฟ้า  $3.22 \times 10^3 \text{ kV/m}$  อัตราการไหลของอากาศ  $1.42 \text{ l/min}$



ผลจากกราฟ พบร้า ปริมาณโอมิโซนที่เจือลงไปในน้ำหนักซึ่งที่เวลาต่างๆ มีผลในการที่ดี  
นั่นคือ เวลาการเจือโอมิโซนที่เพิ่มขึ้นทำให้ค่าความกระด้างของน้ำลดค่าลง และค่าว่าเมื่อใช้เวลา  
การเจือต่อไปอีก จะทำให้ค่าความกระด้างอยู่ในระดับคงที่ ซึ่งง่ายในการจัดการในเรื่องของน้ำที่ใช้  
ในการเดี่ยงกุ้ง

บทที่ 5

บทสรุป

ในบทนี้จะกล่าวถึงการวิเคราะห์ และสรุปผลการวิจัย ซึ่งได้แสดงผลไว้ในบทที่ 4 รวมไปถึงข้อเสนอแนะในการวิจัยและปัญหา ทั้งนี้เพื่อแสดงเหตุผล และวิเคราะห์ผลการวิจัยให้ชัดเจนขึ้นว่าเหตุใดผลการวิจัยจึงเป็นเช่นนั้น โดยจะแบ่งการวิเคราะห์ออกเป็นข้อๆ ตามลักษณะผลการทดลองที่ได้จากการวิจัย ดังต่อไปนี้

- การวิเคราะห์ผลผลิต โไอโซนที่ได้ของระบบจากการเปลี่ยนแปลงพารามิเตอร์ต่างๆ ทางฟิสิกส์
  - การวิเคราะห์ผลที่เกิดขึ้นจากการทำงานของระบบ
  - การวิเคราะห์ผลของการนำกําชีวิโไอโซนไปประยุกต์ใช้ในการนำนักน้ำจากแหล่งต่างๆ
  - การสรุปผลการวิจัย และข้อเสนอแนะในการวิจัย

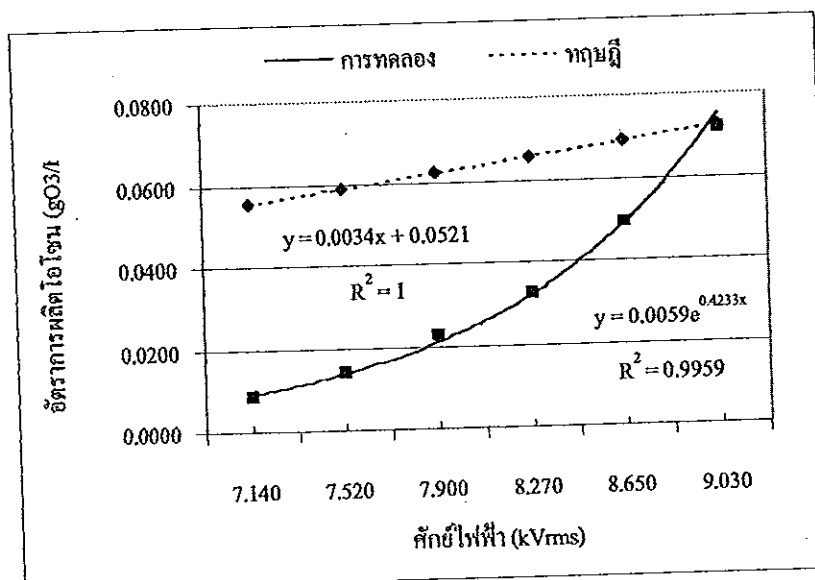
การวิเคราะห์ผลผลิตโอลิโคนที่ได้ของระบบจากการเปลี่ยนแปลงพารามิเตอร์ต่างๆ ทางฟิสิกส์

ในหัวข้อนี้จะได้วิเคราะห์ความดำเนินผลการวิจัยตามบทที่ 4 เป็นข้อๆ ดังนี้

1. การเปลี่ยนแปลงสنانา ไฟฟ้าให้เพิ่มขึ้นมีผลทำให้ปริมาณผลผลิต โอโซนเพิ่มขึ้น เพราะว่าความเข้มของสنانา ไฟฟ้าจะไปกระตุ้นให้มีการแตกตัวของอิเล็กตรอน และ ไอออน ซึ่งเป็นส่วนที่สำคัญในการทำปฏิกิริยาที่จะได้มาซึ่งผลผลิต โอโซนที่มากขึ้นตามความเข้มของสنانา ไฟฟ้า ซึ่งจะยืนยันได้คือจากการระหว่าง เปลอร์เซ็นต์การเปลี่ยนอุณหภูมิเงินไปเป็น โอโซนซึ่งจะมีเปลอร์เซ็นต์ของ โอโซนเพิ่มขึ้นเมื่อสنانา ไฟฟ้าเพิ่มขึ้น เช่นเดียวกัน เมื่อนำค่าอัตราการผลิต โอโซน ( $\text{gO}_3/\text{h}$ ) ที่ได้จากการทดลองเปรียบเทียบกับค่าการคำนวณ ตามสูตร (Masuda et al., 1988) จะได้ดังภาพประกอบ 59 พบว่าอัตราการผลิต โอโซนมีค่าเปลี่ยนแปลงตามค่าของ ศักยไฟฟ้าที่ป้อนให้กับระบบกำเนิด โอโซน โดยมีแนวโน้มที่เป็นลักษณะที่เพิ่มขึ้น แต่ค่าที่ได้คือเป็นเปลอร์เซ็นต์ความแตกต่างของอัตราการผลิต โอโซนระหว่าง ผลการทดลองกับผลการคำนวณทางทฤษฎีได้  $83.78\%$  ,  $71.19\%$  ,  $63.20\%$

,49.92%, 29.29% และ 1.1 % ที่ศักย์ไฟฟ้าต่ำสุดไปจนสูงสุด ตามลำดับ แสดงให้เห็นว่าศักย์ไฟฟ้าที่เพิ่มขึ้นมีผลต่ออัตราการผลิตโอลูโซน

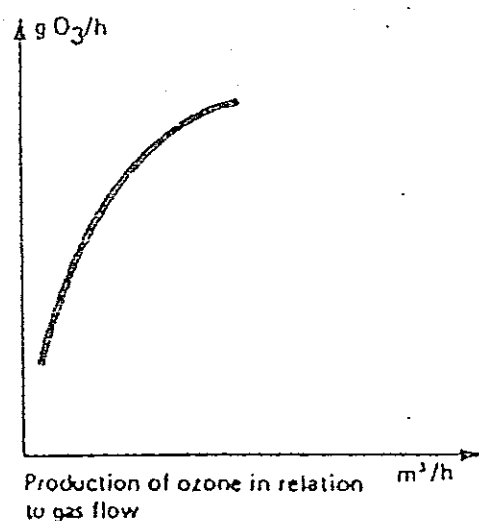
ภาพประกอบ 59 ค่าอัตราการผลิตโอลูโซน ที่ได้จากการทดลอง กับค่าที่ได้จากสูตรการคำนวณ เมื่อให้อัตราการไหลดของอากาศ และความดันคงที่



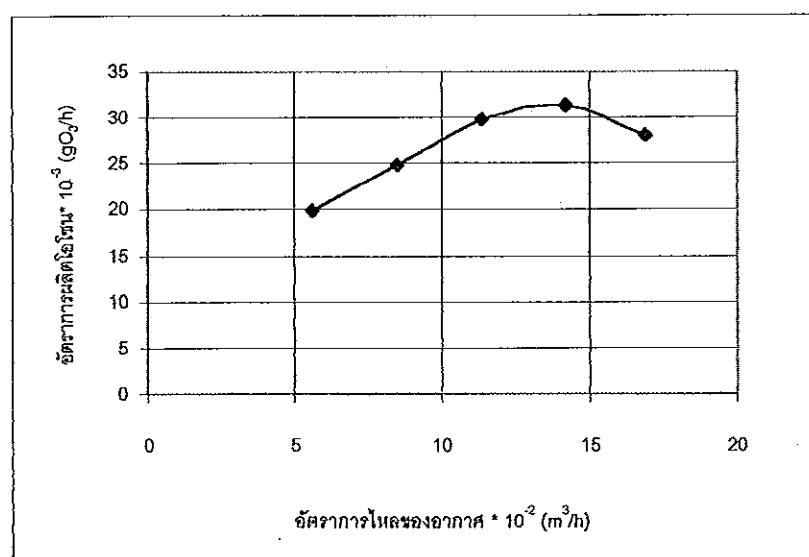
- การเปลี่ยนแปลงอัตราการไหลดของอากาศมีผลต่อการผลิตโอลูโซนของระบบ นั้น คือ ที่เพิ่มน้ำ สนามไฟฟ้า และพารามิเตอร์อื่นๆ คงที่นั้น พบว่า อัตราการไหลดของอากาศที่เพิ่มขึ้นในช่วงหนึ่งเท่านั้นที่จะทำให้ได้ผลผลิตของก๊าซโอลูโซนเพิ่มขึ้น และหลังจากอัตราการไหลดของอากาศช่วงนี้แล้วปริมาณผลผลิตก๊าซโอลูโซนจะลดลง เนื่องจากสนามไฟฟ้าที่ใช้มีองค์ประกอบตื้นให้มีการแตกตัวระดับหนึ่งที่ทำให้สามารถผลิตก๊าซโอลูโซนได้สูงสุด น่าจะมีสาเหตุมาจากการ ปริมาณความเหี่ยวน้ำ, ไฟฟ้าคงที่นั้น ผลลัพธ์ที่มีอยู่ให้กับระบบ (หลอดโอลูโซนในเซอร์) คงที่ ซึ่งเป็นพอยต์ต์จำนวนไม่เด่นของออกซิเจนขนาดหนึ่ง ดังนั้นหากเพิ่มปริมาณ ไม่เด่นของออกซิเจนให้เพิ่มขึ้น โดยการเพิ่มอัตราการไหลดของอากาศ จึงเป็นผลให้ปริมาณ ไม่เด่นบางส่วนไม่สามารถถูกดึงและเปลี่ยนไปเป็นก๊าซโอลูโซนได้ อีกเหตุผลหนึ่งน่าจะมาจากการที่อัตราการไหลดของอากาศสูงๆ จะทำให้ไม่เด่นของอากาศหรือก๊าซออกซิเจน หล่อผ่านเร็วมากในบริเวณซึ่งว่างคิสชาร์จ

ทำให้ไมเดกูลของก๊าซส่วนมากไม่ได้ถูกทำให้แตกตัว (dissociate) ในเวลาที่เหมาะสม จึงทำให้ผลผลิตโอโซนต่ำกว่าที่อัตราการไหลดต่ำ

ภาพประกอบ 60 กราฟแสดงความสัมพันธ์ในทางทฤษฎี และผลที่ได้จากการทดลอง ระหว่าง อัตราการผลิตโอโซนกับอัตราการไหลดของอากาศ



(ที่มา : หนังสือ Wastewater Engineering , McGraw-Hill, Inc.)



3. ระบบที่มีการใช้ตัวกรองความซื้นจะมีผลต่อการผลิตโอโซนอย่างมาก ระบบที่ใช้ตัวกรองอากาศจะได้ผลผลิตโอโซนมากกว่าระบบที่ไม่ใช้ประมาณ 7 เท่า สำหรับสารซีโอลอตที่พึงบรรจุ และ ประมาณ 2 เท่า สำหรับสารซีโอลอตที่ใช้ในระยะเวลาหนึ่ง ในส่วนนี้ทำให้เราสามารถบ่งบอกให้ทราบถึงความสามารถในการคุณภาพของสารที่ใช้ทำตัวคุณภาพความชื้นด้วย นั่นคือ จะทำให้ประสิทธิภาพในการคุณภาพชื้นลดลงด้วยเมื่อใช้ไประยะเวลาหนึ่งซึ่งจำเป็นที่จะต้องนำสารไปคุ้มครอง แห้งเพื่อป้องกันสภาพสารเพื่อนำกลับมาใช้ใหม่ ส่วนการเปลี่ยนวัสดุที่ใช้ทำอิเล็กโทรคายในมีผลต่อการผลิตก๊าซโอโซนอย่างไร นั่นคือ อิเล็กโทรครถูกทำด้วยความต้องแรงจะให้ผลผลิตก๊าซโอโซนมากกว่าอิเล็กโทรคที่ทำจากแผ่นอะลูมิเนียมบางประมาณ 11.5 % และการเพิ่มพื้นที่ผิวอิเล็กโทรคสำหรับการคิดหารูจไฟฟ้าภายในช่องว่างคิดหารูจเพิ่ม 2 เท่า จะให้ผลผลิตก๊าซโอโซนเพิ่มขึ้น ประมาณ 2.5 เท่า แต่ถึงอย่างไรตรงนี้จำเป็นที่จะต้องคำนึงถึงภาวะที่เหมาะสมสำหรับหลอดโอโซนเชื่อมที่เพิ่มขึ้นนี้ด้วย

#### **การวิเคราะห์ผลที่เกิดขึ้นจากการทำงานของระบบ**

1. การเปลี่ยนแปลงเวลาการคิดหารูจทำให้ผลผลิตก๊าซโอโซนเพิ่มขึ้นเนื่องจากเวลาในการคิดหารูจเพิ่มขึ้นซึ่งก็คือเวลาในการทำให้ก๊าซแคนกัดรวมกันเป็นโอโซนมีมากขึ้นก็ย่อมได้ก๊าซโอโซนมากเข่นกัน ผลที่ได้ออกมาข้างบนว่าระบบที่สร้างน้ำสามารถผลิตโอโซนได้อย่างคงที่เมื่อเวลาเพิ่มขึ้น แต่ต้องไม่ใช้ระยะเวลาในการทำงานนานเนื่องจากจะมีปัจจัยอื่นๆ ที่มีผลทำให้ผลผลิตโอโซนที่ได้มีความแตกต่างกันออกໄປที่เวลาต่างๆ นอกจากนี้ค่าของความเข้มสนาน ( $E/n_m$ ) ที่เพิ่มขึ้นยังทำให้ผลผลิตก๊าซโอโซนเพิ่มขึ้นด้วย เนื่องจาก ความเข้มสนาน ( $E/n_m$ ) เพิ่มขึ้นพังงานอิเล็กตรอนเฉลี่ยก็จะเพิ่มขึ้นด้วยเข่นกันดัง แสดงในภาพประกอบ 61 ซึ่งจะทำให้ภายในช่องว่างคิดหารูจมีการแตกตัวของก๊าซออกซิเจนเพิ่มมากขึ้น ก็ย่อมทำให้ได้ผลผลิตโอโซนเพิ่มขึ้นด้วยนั่นเอง
2. อุณหภูมิที่วัดภายนอกของศิวอิเล็กโทรค้มีการเพิ่มขึ้นเพียงเล็กน้อยในช่วงเวลาที่ทำงานนานๆ โดยอุณหภูมิจะเพิ่มขึ้นมากในช่วงเวลาแรกๆ ประมาณ 30 นาที แรกของการทำงาน หลังจากเวลานี้แล้วอุณหภูมิที่วัดมีการเปลี่ยนแปลงที่น้อยมาก

และเมื่อวัดผลผลิต ไอโซน ณ เวลาต่างๆ เมริยมเทียบผลกระแทกที่มาจากการหุ่นยนต์ที่ผิวของเซลล์ ไอโซนในเซอร์แล้ว พบว่าผลผลิต ไอโซนที่มีการเปลี่ยนแปลงน่าจะมาจากพารามิเตอร์อื่นๆ มากกว่าผลของอุณหภูมิที่ผิวของเซลล์ ไอโซนในเซอร์ ดังนั้นจึงกล่าวได้ว่าที่เพื่อนไขของระบบนี้ อุณหภูมิที่ผิวของเซลล์ ไอโซนในเซอร์ที่เกิดขึ้นนี้ยังไม่เพียงพอที่มีผลต่อการผลิต ไอโซนของระบบ เนื่องจากกระบวนการแรก เมื่ออุณหภูมิต ไอโซนที่ได้ในช่วงเวลา 30 นาที ผลผลิต ไอโซนที่ได้มีระดับคงที่ ระดับหนึ่ง ประการต่อมา เซลล์ ไอโซนในเซอร์ที่ใช้ในการผลิตก้าว ไอโซนน้อยเมื่อเทียบสัดส่วนในการเปลี่ยนแปลงพัฒนา ไฟฟ้าไปยังความร้อนแล้วทำให้อุณหภูมิเพิ่มขึ้นไม่นานนัก และการวิจัยส่วนใหญ่ที่ทำในห้องปฏิบัติการซึ่งอยู่ในห้องปรับอากาศอุณหภูมิจึงไม่มีผลต่อระบบมากนัก

3. ผลการตรวจสอบสารที่ตกค้างภายในช่องว่างดิสชาร์จ โดยใช้ก๊าซองจุลทรรศน์ อิเล็กตรอนแบบสแกน (SEM) ได้ผลของการสแกนที่เหมือนกันทั้งก่อนการทดลอง และหลังการทดลอง นอกจากพบว่าปริมาณออกซิเจนที่อยู่ในแก้วมีค่าลดลงหลังการทดลอง แต่ไม่ได้มีการศึกษาต่อไปครั้งนี้ แต่อาจจะมีผลจากการดิสชาร์จของไฟฟ้าแรงดันสูงทำให้ปริมาณออกซิเจนที่อยู่ในเนื้อสารมีค่าลดลง และจากการตรวจสอบสภาพผิวของอะลูมิเนียมบางที่ใช้ในการทำอิเล็กโทรดภายในของเซลล์ ไอโซนในเซอร์หลังการทดลองเสร็จสิ้น มีความเสียหาย เนื่องจากภายในอิเล็กโทรดตรงส่วนนี้น่าจะมีการอาร์คไฟฟ้าขนาดเล็กๆ จำนวนนากนากทำให้แผ่นอะลูมิเนียมบางได้รับความเสียหายจากปราภูมิการนี้

#### การวิเคราะห์ผลของการนำก้าว ไอโซนไปประยุกต์ใช้ในการบำบัดน้ำจากแหล่งต่างๆ

- ในหัวข้อนี้ก็ได้วิเคราะห์ผลการวิจัยเรียงตามลำดับซึ่งแสดงผลในบทที่ 4 เป็นข้อๆ ดังนี้
1. การบำบัดน้ำดิบผ่านการกรองด้วยก้าว ไอโซนสามารถทำได้จริง นั่นคือ ปริมาณ ไอโซนที่ผลิตได้ ที่เงื่อนไข สนามไฟฟ้า  $3.22 \times 10^3$  kV/m และ อัตราการไหลของอากาศ 1.42 l/min จะใช้เวลาในการบำบัดน้ำเพื่อทำให้น้ำดิบผ่านการกรอง ปราศจากเชื้อจุลินทรีย์ที่ระบุตามมาตรฐานน้ำคุณ ประมาณ 0.5 นาที สำหรับระดับปริมาณเชื้อริบเริ่มนั้นที่ทดสอบนี้เท่านั้น

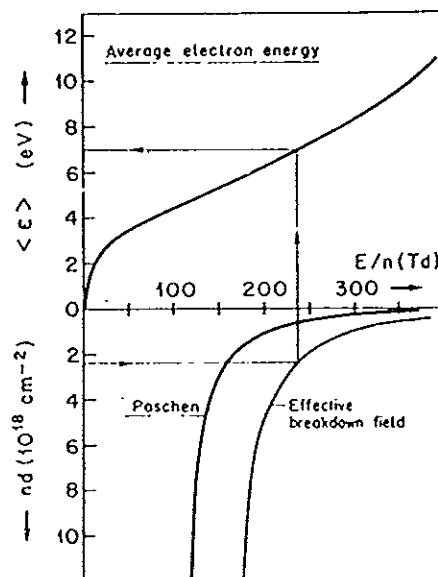
2. การบำบัดน้ำทึบด้วยก๊าซไอโอดีนสามารถทำได้ผลจริง นั่นคือ ปริมาณไอโอดีนที่ผลิตได้ ที่เมื่อนำไป สนานไฟฟ้า  $3.22 \times 10^3$  kV/m และ อัตราการไหลดของอากาศ 1.42 l/min จะใช้เวลาในการฆ่าเชื้อโรคได้ 100% ที่เป็นค่าที่สูงซึ่งถือว่าดีมาก ของน้ำเสีย ประมาณ 10 นาที นี้เป็นน้ำทึบที่ไม่ได้ผ่านกระบวนการใดๆ คาดว่า ถ้าน้ำทึบนี้ได้ผ่านกระบวนการอื่นๆ มา ก่อน เช่น กระบวนการตกรดก่อน กระบวนการกรอง จะทำให้ใช้เวลาในการบำบัดด้วยไอโอดีนอย่างมาก หรือถ้าเพิ่มปริมาณความเข้มข้น ไอโอดีนเพิ่มขึ้นก็จะทำให้เวลาในการบำบัดลดลงด้วย และกระบวนการบำบัดด้วยไอโอดีนของน้ำทึบที่ไม่ได้ผ่านกระบวนการอื่นนี้จะต้องมีการปรับสภาพของน้ำทึบผ่านกระบวนการใช้ไอโอดีนเพียงอย่างเดียว เนื่องจาก น้ำมีสภาพเป็นกรดซึ่งอาจจะเกิดขึ้นจากแบคทีเรียที่ไม่ใช้ออกซิเจนในการทำงานผลิตสารจำพวกไฮโดรเจนไซด์ ไฟฟ้าขึ้นมาทำให้น้ำมีสภาพเป็นกรดหลังจากการบำบัดด้วยไอโอดีน หรือไม่ก็ด้วยสาเหตุอื่นซึ่งเป็นตรงส่วนนี้ เป็นสิ่งที่น่าสนใจและน่าจะต้องมีการศึกษาแก้ไขต่อไป
3. ผลการใช้ก๊าซไอโอดีนในการบำบัดน้ำทึบที่มีปัญหาระดับเชื้อแบคทีเรีย Vibrio sp. ซึ่งเป็นเชื้อที่มีมนุษย์ให้ทราบถึงน้ำทึบที่ทำให้เกิดโรคในกุ้งกุลาดำหรือเกย์ตรกรผู้เลี้ยงกุ้งจะเรียกเชื้อตัวนี้ว่า “เชื้อเรืองแสง” เนื่องจากในตอนกลางคืนจะเป็นเชื้อที่เรืองแสงให้เห็นด้วยตาเปล่า ก๊าซไอโอดีนจะใช้เวลาในการบำบัดประมาณ 3 นาที ในการกำจัดเชื้อได้ 100 % สำหรับที่ระดับปริมาณเชื้อเริ่มต้นที่ทดลองนี้เท่ากับ นอกจากนี้ก๊าซไอโอดีนยังปรับสภาพของน้ำให้ดีขึ้น นั่นคือปริมาณแอนโนมีนิยในน้ำจะลดลงอย่างรวดเร็วภายใน 0.5 นาที และจะคงที่หลังจากเวลานี้ ค่าพีเอชอยู่ในระดับเมื่อกลางคืนอย่างคงที่ และค่าความกรดด่างของน้ำจะลดลงจนถึงระดับคงที่ภายในระยะเวลา 1 นาที คุณภาพของน้ำที่ถูกล้างนา เป็นผลที่ดีอย่างมากในการเรียบเรียงกุ้ง แต่ทั้งนี้ทั้งนั้นก็ยังมีปัจจัยอื่นๆ นอกเหนือจากนี้อีก

## สรุป

ในการสรุปนี้จะกล่าวเบื้องต้นๆ ตามผลและการวิเคราะห์ เพื่อให้ทราบถึงข้อคิดเห็นต่อไป และจุดที่สำคัญในการผลิตก๊าซ ไอโซนสำหรับการวิจัยครั้งนี้

1. เครื่องกำเนิดไอโซนที่ได้สร้างขึ้นนี้มีขนาดเล็กเหมาะสมกับการเคลื่อนย้ายและนำไปใช้งานในที่ต่างๆ ที่มีพื้นที่จำกัด ได้สะควร ผลผลิตที่ได้ของเครื่องกำเนิดไอโซนที่ทดลองนี้จะมีอัตราการผลิตไอโซนต่อชั่วโมงคิดเทียบกับพลังงานไฟฟ้า เป็น  $58.0 \text{ mgO}_3/\text{kWh}$  ที่ได้เลือกถ้าต้องการให้ปริมาณไอโซนมากขึ้นจะต้องเพิ่มเซลล์ไอโซนในเซอร์ชีน หรือเพิ่มพื้นที่ผิวของเซลล์ไอโซนเซอร์ชีน แต่ต้องคำนึงถึงกำลังไฟฟ้าที่ใช้ป้อนให้ระบบต้องเพียงพอด้วย การดูแลรักษา และการใช้งานง่ายแก่ศูนย์ปฏิบัติงาน และมีการสืบเปลืองน้อย
2. ผลผลิตไอโซนที่ได้จากระบบ ที่พารามิเตอร์ได้เลือกนี้ อยู่ในสภาพที่เป็นการคิด沙ร์จไฟฟ้าแบบไชเดนท์ พารามิเตอร์ที่เหมาะสมในการเลือกใช้เมื่อฤดูผลประโยชน์เทียบกับภาพประกอบ 61 แล้วค่าพารามิเตอร์ต่างๆ อยู่ในช่วงการคิด沙ร์จไฟฟ้าแบบไชเดนท์ นั่นคือ สนาม  $E/n_{\text{air}} = 131 \text{ Td}$  พลังงานอิเล็กตรอนเฉลี่ย = 5 และผลคูณของ  $nd = 6 \times 10^{18} \text{ cm}^{-2}$  ซึ่งสอดคล้องกับทฤษฎีที่ไอโซนเซอร์จะทำงานได้ในช่วง  $(1-10) \times 10^{18} \text{ cm}^{-2}$  (Blair and whittington, 1975) และเป็นไปตามลักษณะของการคิด沙ร์จแบบไชเดนท์ที่อ้างอิงในส่วนของทฤษฎี โดยที่ระบบในการกำเนิดไอโซนที่ได้ออกแบบ และสร้างนี้ มีค่าความจุไฟฟ้าของเซลล์ไอโซนในเซอร์ (C)  $23.2 \text{ nF}$  พื้นที่ผิวอิเล็กโทรด  $2.24 \times 10^{-2} \text{ ความหนาแน่นอากาศ (n_{\text{air}})}$  ที่  $25^\circ\text{C}$   $2.46 \times 10^{19} \text{ cm}^{-3}$  ศักย์การสปาร์คไฟฟ้า ( $V_s$ )  $8.61 \text{ kV}_{\text{rms}}$  พลังงานที่ใช้ป้อนให้กับระบบหาได้จาก  $E = (\frac{1}{2})CV^2$  เมื่อ  $C = 23.2 \text{ nF}$ ,  $V = 7.90 \text{ kV}$  จะได้  $E = 91.64 \text{ MJ}$  และอัตราส่วน  $E/p = 4.24 \times 10^3 \text{ V/m-torr}$  ที่ความดันบรรยากาศ

ภาพประกอบ 61 ผลของส่วน  $E/n$  และพัฒนาอิเล็กตรอนเฉลี่ย  $\langle \epsilon \rangle$  ที่มีต่อผลคุณ  $nd$



[ที่มา : Eliasson et al., 1991]

3. สรุป-prากฎการณ์ในการเปลี่ยนแปลงพารามิเตอร์ต่างๆ ที่มีผลต่อการเปลี่ยนแปลงอัตราการผลิต ไอโอดินของระบบ

- 3.1 ศักยไฟฟ้า (Voltage) มีความสัมพันธ์กับอัตราการผลิต ไอโอดินเป็นแบบพิงค์ ชั้นเอ็งซ์ไปแนบเชียด
- 3.2 อัตราการไหลของอากาศ (air flow rate) ที่เพิ่มขึ้น ทำให้อัตราผลผลิต ไอโอดินที่ได้จะแบ่งเป็น 2 ส่วน คือ ส่วนแรก จะแบ่งผ่านตรงกับอัตราการ ไหลของอากาศ และส่วนที่สอง จะให้อัตราผลผลิต ไอโอดินคงที่ แล้วค่อยๆ ลดลง เมื่อเทียบเป็นอัตราการ ไหลเมื่อเวลาที่อากาศคงอยู่ในช่องว่างคิสชาเรจ แล้ว พบร่วง เวลาที่อากาศอยู่ในช่องว่างคิสชาเรจที่เพิ่มขึ้นนี้จะทำให้ ปรับเปลี่ยนต่อการเปลี่ยนอักษรเจน ไปเป็น ไอโอดินเพิ่มขึ้นด้วย

- 3.3 สำหรับที่เงื่อนไขการทดลองนี้ พบว่า พื้นที่ผิวของเซลล์ไอโซไนเซอร์ที่เพิ่มขึ้นเป็น 2 เท่า จะได้อัตราการผลิตไอโซนเพิ่มขึ้นเป็น 2.69 เท่า ส่วนวัสดุที่ใช้เป็นอิเดกโตรค์มีส่วนที่สำคัญทำให้ผลผลิตไอโซนเพิ่มขึ้นหรือลดลงในที่นี่ พบว่า คาดทองแดงจะให้อัตราผลิตไอโซนมากกว่าแผ่นอลูมิเนียม บางถึง 11.5 %
4. การประยุกต์ใช้ไอโซนของระบบที่เงื่อนไข  $3.22 \times 10^3 \text{ kV/m}$  และ  $1.42 \text{ l/min}$  สำหรับน้ำดินผ่านการกรองจะใช้เวลา 0.5 นาที ในการทำน้ำที่มีเชื้อระดับ  $10^3 \text{ CFU/ml}$  ให้ปราศจากเชื้อได้ 100% และ ใช้เวลา 10 นาที ในการทำให้น้ำเสียที่ไม่ได้ผ่านกระบวนการอื่นๆ มีระดับเชื้อ  $2 \times 10^4 \text{ CFU/ml}$  ให้ปราศจากเชื้อได้ 100% เป็นไปตามมาตรฐานน้ำดื่ม และน้ำเสีย ในทางดูชีววิทยา ส่วนน้ำนาดูง ใช้เวลา 3 นาที ในการทำให้น้ำที่มีเชื้อ  $400 \text{ CFU/ml}$  ปราศจากเชื้อ Vibrio sp. ได้ 100% เชื้อตัวนี้พบว่าเป็นต้นเหตุของโรคในดูง และยังปรับสภาพน้ำให้คืนอีกด้วย ดังนั้นจึงเป็นไปได้ที่จะนำไอโซนไปใช้ในเกณฑ์การรับด้านการแพทย์สัตว์น้ำ

#### ข้อเสนอแนะในการวิจัย

ในหัวข้อนี้จะกล่าวถึงข้อเสนอแนะเพิ่มเติมเพื่อเป็นแนวทางสำหรับผู้วิจัยและคนอื่นที่สนใจที่จะศึกษาแนวทางการวิจัยนี้นำไปประยุกต์ให้เกิดประโยชน์อย่างแท้จริงต่อไป ซึ่งจะกล่าวเป็นข้อๆ ดังนี้

1. ถ้าต้องการผลิตไอโซนเพื่อนำไปใช้ประโยชน์จำเป็นจะต้องผลิตไอโซนให้ได้จำนวนมากขึ้นตามความต้องการที่จะนำไปประยุกต์ใช้ ตั้งน้ำที่จำเป็นจะต้องหาแหล่งจ่ายไฟฟ้าแรงสูงที่เพียงพอ และถ้าต้องการให้มีการผลิตไอโซนอย่างมีประสิทธิภาพมากขึ้นไปอีกจำเป็นต้องมีความถี่เพิ่มเข้ามาในการที่จะใช้ปืนให้กับเซลล์ไอโซไนเซอร์ นอกจากนี้จะต้องเตรียมอากาศให้แห้ง และบริสุทธิ์อย่างมาก โดยจะต้องทำให้อากาศมีค่าอุณหภูมิทุกน้ำด้านต่ำกว่า  $-10^\circ\text{C}$  องศาเซลเซียส จึงจะทำให้ผลิตไอโซนได้เพิ่มขึ้นมากกว่านี้
2. การประยุกต์ใช้ไอโซนในการบำบัดน้ำเสียที่จะนำก๊าซไอโซนไปใช้จะต้องออกแบบห้องสำหรับให้น้ำกับก๊าซไอโซนสัมผัสกันตามเวลาการสัมผัสที่ได้ทดลองไว้แล้ว ในห้องปฏิบัติการ เนื่องจากในการวิจัยนี้เราไม่ได้ใช้น้ำให้เรียบเข้า

ระบบ แต่ในการปฏิบัติเพื่อนำไปใช้นี้จำเป็นจะต้องให้น้ำให้กับเครื่องของห้องสำหรับให้น้ำกับก๊าซ ไอโซนสัมผัสกันในการมาเชื้อโรค และในการนำน้ำคืนน้ำคืนหรือน้ำเสียนี้ ถ้าต้องการที่จะให้ก๊าซ ไอโซนทำงานได้อย่างมีประสิทธิภาพแล้วจำเป็นที่จะต้องใช้ก๊าซ ไอโซนร่วมกับกระบวนการอื่น เช่น กระบวนการกรองพยาธิหรือคละเขื่อนมาก่อน และใช้ก๊าซ ไอโซนเป็นกระบวนการสุดท้ายก่อนที่จะนำไปใช้หรือปล่อยออกสู่สิ่งแวดล้อม ซึ่งจะทำให้ใช้เวลาในการมาเชื้อโรคในน้ำได้รวดเร็วมากขึ้น

3. การประยุกต์ใช้งานจริงเซลล์ไอโซนเซอร์จะต้องมีขนาดใหญ่ หรือมีหลายๆเซลล์ประกอบกันทั้งนี้จึงน้อยกว่ากับผู้ออกแบบในการนำไปประยุกต์ใช้ ดังนั้น เซลล์ไอโซนเซอร์จำเป็นจะต้องมีการหล่อเย็นด้วยอากาศ หรือน้ำ ซึ่งจะช่วยในเพิ่มประสิทธิภาพในการผลิตไอโซนได้นากว่าเดิม

## บรรณานุกรม

ชัยวิทย์ ศิลป์วัชนาไนย. 2529. ฟิสิกส์ของคิตราร์จไฟฟ้า. โครงการส่งเสริมตำราของมหาวิทยาลัย  
สงขลานครินทร์ สงขลา.

นภาวรรณ นพรัตน์ราภรณ์. 2525. อุดชีววิทยาสิ่งแวดล้อม. เอกสารประกอบการสอน วิชา  
อุดชีว.481 ภาควิชาจุลชีววิทยา คณะวิทยาศาสตร์ มหาวิทยาลัยเกษตรศาสตร์

วิภาณย์ เจริญจิระศรีกุล. 2533. คู่มือปฏิบัติการอุดชีววิทยาสิ่งแวดล้อม. ภาควิชาจุลชีววิทยา  
คณะวิทยาศาสตร์ มหาวิทยาลัยสงขลานครินทร์.

สำนักงานมาตรฐานผลิตภัณฑ์อุตสาหกรรม 2521. น้ำบริโภค เล่ม ๑ ข้อกำหนดเกณฑ์คุณภาพ  
และเล่ม ๒ การวิเคราะห์และทดสอบ. ประกาศในราชกิจจานุเบกษา เล่ม ๕๕ ตอนที่ ๑๕.

Bean, E.L., 1959. "Ozone Production and Costs", Adv. In Chem. Ser. 21, 430(1959).

Blair, D.T.A. and Whittington, H.W., 1975. "Ionization and breakdown in oxygen", J. Phys. D : Appl. Phys. 8(1975).

Bringman, G., 1955. "Determination of the Lethal Activity of Chlorine and Ozone on E.coli.",  
Z. Hyg. Infektionskronkh, 139, 130 and 333(1954) ; Wat. Poll. Abs., 28, 12(1955).

Chandrakanth, M.S., Krishnan, S. and Amy, G.L. 1996. "Interactions between Ozone, AOM,  
and Particles in Water Treatment", J. of Environmental Engineering. June(1996).  
pp. 459-467.

Consoer, A.W., 1941. "Use of Ozone for Water Purification", Civil Eng., 11,12,701(1941).

de Lipkowski, H., 1937. "Electrical Purification of Drinking Water", Tech. Sanit. Munic., 32,  
54(1937)

Diaper, E.W.J., 1969. "Tertiary treatment by Microstraining", Water and Sewage Works, 116, 6, 202(1969).

Dickerman, J.M., et al., 1954. "Action of Ozone on Water-Borne Bacteria", J. New Engl. Wat. Wks. Assoc., 68, 11(1954).

Drimal, J. and Janca, J. 1990. "Biological purification of water by an ozoniser with a discharge tube electrode", J. Phys. D : Appl. Phys. 23(1990). p.7-11.

Eliasson, B. and Kogelschatz, U. and Baessler, P., 1984. "Dissociation of O<sub>2</sub> in N<sub>2</sub>/O<sub>2</sub> mixtures", J. Phys. B : At. Mol. Phys. 17(1984) , L797-L801.

Eliasson, B. and Kogelschatz, U., 1986. "Electron impact dissociation in oxygen", J. Phys. B : At. Mol. Phys. 19(1986) , 1241-1247.

Eliasson, B., Hirth, M. and Kogelschatz, U., 1987. "Ozone syntresis from oxygen in dielectric barrier discharge", J. Phys D : Appl. Phys. 20(1987) , 1421-1437.

Eliasson, B. and Kogelschatz, U., 1991. "Modeling and applications of silent discharge plasmas", IEEE. Transaction on plasma science. 2(1991) , 309-323.

Eliasson, B. and Kogelschatz, U., 1991. "Nonequilibrium Volume Plasma Chemical Processing", IEEE. Transaction on plasma science. 6(1991) , 1063-1077.

Fetner, R.H., and Ingols, R.S., 1956. "A Comparison of the Bacterrickidal Activity of Ozone and Chlorine against Esch.coli at 1 ", J. Gen. Microbiol., 15, 381(1956).

Fox, C.B., 1873. "Ozone and Ant ozone", J. and A. Churchill, London, 1873.

Francis, L.Evans III., 1972. "Ozone in Water and Wastewater Treatment", Ann Arbor

Science Pub. Inc., Michigan., 185 page.

Gabovich, R.D. 1966. "Experimental Studies to Determine a Hygienic Standard for Ozonation of Drinking Water" , Chem. Abs. , 65, 5219H(1966).

George, T. and Franklin, L. B. "Wastewater Engineering" , METCALF & EDDY, INC. , Third Edition., McGraw-Hill, Inc., 1334 page.

Gubelmann, H., and Scheller, H., 1953. "Disinfection of water by Ozone" , Monatsbull. Schweiz. Ver. Gas. Wasserfachm. , 33, 53 and 99(1953) ; Wat. Poll. Abs. , 26, 314(1953).

Guinvarc'h, P. 1957. ,1958. "Three Years Operation of the Plant Using Ozone for Disinfection of the Water Supply of Paris" , L'Eau , 44, 91 and 113(1957) ; Wat. Poll. Abs. , 31, 368(1958).

Gutierrez-Tapia, C., Camps, E. and Olea-Cardoso, O. , 1994. "Perturbative Method for Ozone Syntesis From oxygen in a Single Discharge" , IEEE. Transaction on plasma science. , 5(1994) , 979-985.

Haag, W.R., and Hoigne, J., 1983. "Kinetics and Products of the reactions od ozone with various forms of chlorine and bromine in water" , paper presented at Ann. Conf. AWWA St. Louis, MO, June. (1983)

Hadj-Ziane, S., Held, B., Pignolet, P., Peyroux, R., Benas, J.M. and Coste, C., 1990. "Ozone production in and oxygen-fed wire to cylinder ozonizer" , J. Phys. D : Appl. Phys. , 23(1990) , 1390-1395.

Hadj-Ziane, S., Held, B., Pignolet, P., Peyroux, R. and Coste, C., 1992. "Ozone production in and oxygen-fed wire to cylinder ozonizer at atmospheric pressure" , J. Phys. D ; Appl. Phys. , 25(1992) , 677-685.

Hann, V.A., 1956. "Disinfection of Drinking Water with Ozone", J. Amer. Wat. Wks. Assoc., 48, 1316(1956).

Harano, A., Sadakata, M. and Sato, M. 1991. "Soot oxidation in a silent discharge", J. of Chem. Eng. Japan., V.2 , No.1 1991.

Hetteje, O., and Ehlbeck, H.W., "Epidemiology and Prophylaxis of Poliomyelitis with Reference to the Role of Water in its Transmission", Arch. Hyg., Berl., 137, 440 (1953); Zbl. Bakt., I. Ref., 153, 194(1954); wat. Poll. Abs., 28, 145(1955).

Hoigne, J., and Bader, M., 1975. "Identification and Kinetic Properties of the Oxidizing Decomposition Products of Ozone in Water and its Impact on Water Purification", Proc. 2<sup>nd</sup>. Int'l Symposium on Ozone Technology, Montreal, PQ, Canada, May 11-14, 1975.

Holluta, J., and Unger, U., 1954. "The Destruction of Bact.Coli Esch. By ClO<sub>2</sub> and O<sub>3</sub>", Vom Wasser, 21, 129(1954).

Hopf, W. 1958. "Problems of Water Treatment with Ozone", Kommunalwirtschaft, 5, 233(1958).

Howlett, E., 1947. "The Ozone Method of Water Purification", Wtr. And Wtr. Eng. (G.B.), 50, 25(1947); J. Amer. Wat. Wks. Assoc., 39, 1047(Oct. 1947).

Ingram, M., and Haines, R.B., 1949. "Inhibition of Bacterial Growth by Pure Ozone in the Presence of Nutrients" J. Hyg., 47, 146(1949).

Isobel C. Walker., John M. Gingell., Nigel J. Mason. And George. Marston., 1996. "Dissociative electron attachment (DEA) in ozone 0-10 eV" , J. Phys. B : At. Mol. Opt. Phys. 29(1996) , 4749-4759.

Janca, J., Drimal, J. and Trejtnar, J. 1985. Czechoslovak Patent A.O. 256446.

Kessel, J.F., et al., 1944. "Comparison of Chlorine and Ozone as Virucidal Agents of Poliomyelitis Virus", Proc. Soc. Exptl. Biol. Med., 53, 71(1943). ; Wat. Poll. Abs., 17, 239(1944).

Kinman, R.N., 1971. "The Use of Ozone in Water Disinfection", Presented at the Sanitary Engineering Institute, Univ. of Wisconsin, Milwaukee, Mar. 9(1971).

Lagrange, E., and Rayat, R., 1952. "One Aspect of the Battle Against Bilharzia", Societe d'Epuration et d'Enterprises, Brussels, Belgium (1952).

Lebout, M., 1950. "The Control of Water Purification at the City of Nice", Tech. Sanit. Munic., 45, 86(1950)

Leiguarda, R.H., et al., 1949. "Bactericidal Action of Ozone", An. Asoc. Quim. Argent., 37, 165(1949) ; Wat. Poll. Abs., 22, 268(1949).

Loiseau, J.F., Lacassie, F., Monge, C., Peyroux, R., Held, B. and Coste, C., 1994. "Numerical simulation of ozone axial and radial distribution in a cylindrical oxygen-fed ozonizer", J. Phys D : Appl. Phys. 27(1994) , 63-73.

Luft, P.E. 1975. JILA Information Centre Report No. 14 (Boulder : University of Colorado).

Masuda, S., Akutsu, K., Kuroda, M., Awatsu, Y. and Shibuya, Y. 1988. "A Ceramic-Based Ozonizer Using High-Frezuency Discharge", IEEE. Transactions on Industry Applications. No. 2, 24(1988). March/April.

Messaoudi, R., Younsi, A., Massines, F., Bespax, B. and Mayoux, C., 1996. "Influence of Humidity on Current Waveform and Light Emission of a Low-frequency

Discharge Controlled by a Dielectric Barrier" , IEEE Transaction on Dielectrics and Electrical Insulation. 4(1996) , 537-543.

Miller, S. et al., 1959. "Disinfection and Sterilization of Sewage by Ozone" , Advances in Chemistry Series, 21, 381(1959).

Morris Katz, 1977. Methods of Sampling and Analysis. 2<sup>nd</sup> ed. APHA Intersociety Committee.

Nomoto, Y., Ohkubo, T., Kanazawa, S. and Adachi, T. 1995. "Improvement of Ozone Yield by a Silent-Surface Hybrid Discharge Ozonizer" , IEEE Transaction of Industry Applications., Vol. 31, No. 6, Nov/Dec 1995.

Novel, E., and Buffle, J.P., 1949. "Comparative Study on the Sterilizing Action of Chlorine and of Ozone on the Water of Lake Gencva Taken in the Petit-Lac" , Schweiz Zeitschr. Path. In Bact., 12, 5, 544(1949) ; wat. Poll. Abs., 22, 218(1949).

O'donovan, D.C. 1965. "Treatment with Ozone" , J. Amer. Wat. Wks. Assoc., 57, 1167 (1965).

Pignolet, P., Hadj-Ziane, S., Held, B., Peyroux, R., Benas, J.M. and Coste, C., 1990. "Ozone generation by point to plane corona discharge" , J. Phys D : Appl. Phys. 23(1990) , 1069-1072.

Piskunov, P.I. and Sokolova, N.V. 1963. "Study on Ozonation of Water at the Gorki Water System" Izv. Vysshikh Uchebn. Zavendenii, Stroit I Arkhitekt., 67, 71(1963); Chem. Abs., 60, 1449f(1963).

Rice, R.G., Robson, M.C., Miller, W.G. and Hill, A.G. 1981. "Uses of ozone in drinking water treatment" , J. AWWA, Research and Technology. Jan(1981). pp. 44-57.

Rohrer, E., 1952. "Ozone and Its Application in Treatment of H<sub>2</sub>O", Rev. Suisse Brass., 63, 155 (1952).

Rosen, H.M. 1973. "Use of Ozone and Oxygen in Advanced Wastewater Treatment", J. WPCF 45 : 521(Dec. 1973).

Roy, D., Englebrecht, R.S. and Chian, 1982. "Comparative inactivation of six enteroviruses by ozone" , Journal AWWA. Dec. (1982) , 660-664.

Smith, W.W., and Bodkin, R.E., 1944. "The Influence of Hydrogen Ion Concentration on the Bactericidal Action of Ozone and Chlorine", J. Bacteriol. , 47, 445(1944).

Suchkov, B.P. 1964. "Studies of the Ozonation of drinking Water Containing Pathogenic Bacteria and Viruses" , Hyg. And Sanit., 6, 24(1964).

Tan, L. and Amy, G.L. 1991. "Comparing Ozonation and Membrane Separation for Color Removal and Disinfection By-Product Control" , J. AWWA, Research and Technology. May (1991).

Tirawanichakul, Y., Silawatchananai, C. and Tepnuan, T. 1998. "Design and construction of Ozone gerneration system at atmospheric pressure" , Songklanakarin J. Sci. Technol. 20(1998) ,355-366

Venosa, R.G. and Opatken, E.J., 1979. "Ozone Disinfection-State of the Art.", Presented At Preconf. Workshop on Wastewater Disinfection, 52<sup>nd</sup> Annual WPCF Conf., Houston, Tex. (1979)

Walker, I.C., Gingell J.M., Mason, N.J. and Marston G. 1996. "Dissociative electron attachment (DEA) in ozone 0-10 eV" , J. Phys. B ; At. Mol. Opt. Phys. 29 (1996) pp. 4749-4759.

Whitson, M.T.B., 1949. "The Use of Ozone in the Purification of water" , J. Roy. Sanit. Inst., 68, 448(1948); Wat. Poll. Abs. , 22, 99(1949).

Wilczak, A., Knocke, W.R., Hubel, R. E. and Marco aieta, E. 1991. "Manganese Control During Ozonation of Water Containing Organic Compounds" , J. AWWA Research and Technology. May (1991). pp.75-79.

Wynn, C.S. ; Kirk, B.S.; and McNabney, R., 1973. "Pilot Plant For Tertiary Treatment of Wastewater With Ozone", EPA Report No. EPA-R2-73-146, US EPA. Municipal Environ. Res. Lab., Cincinnati, Ohio (1973)

Yamabe, C., Ihara, S. and Ishimine, M. 1994. "Fundamental Studies of Ozone Generation and Its Characteristics Using New Type of Ozonizer" , Jpn. J. Appl. Phys. 33 (1994) pp. 4361-4364.

## ภาคผนวก

### ภาคผนวก ก

#### 1. วิธีการเตรียมอาหารสำหรับการวิเคราะห์เชื้อแบคทีเรียชนิดต่างๆที่ใช้ในการวิจัย

##### 1. วิธีการเตรียมอาหารสำหรับหาจำนวนแบคทีเรียทั้งหมดในน้ำ ด้วยวิธี Spread plate method

###### 1.1 Plate count agar (Tryptone glucose yeast extract)

- Tryptone	5.0	กรัม
- Yeast extract	2.5	กรัม
- Glucose	1.0	กรัม
- Agar	15.0	กรัม
- Distilled water	1.0	ลิตร

พื้อรอง ควรจะเป็น  $7.0 \pm 0.2$  หลังจาก Sterilization ที่ 121 องศาเซลเซียส 15 นาที

##### 2. วิธีการเตรียมอาหารสำหรับหาจำนวนโภชินย์ทั้งหมดในน้ำ ด้วยวิธี Multiple tube technique

###### 2.1 Lactose broth

- Beef extract	3.0	กรัม
- Peptone	5.0	กรัม
- Lactose	5.0	กรัม
- Distilled water	1.0	ลิตร

พื้อรองควรจะได้  $6.9 \pm 0.2$  หลังจาก Sterilization ถ้าใส่ตัวอย่างน้ำ 10 มล. ต้องเตรียม broth เป็น double strength จะน้ำส่วนประกอบของอาหารต้องเป็น 2 เท่า ต่อน้ำ 1 ลิตร นึ่งฆ่าเชื้อที่ 121 องศาเซลเซียส 15 นาที

###### 2.2 Brilliant green lactose bile broth

- Peptone	10.0	กรัม
- Lactose	10.0	กรัม
- Oxgall	20.0	กรัม
- Brilliant green	0.0133	กรัม
- Distilled water	1.0	ลิตร

พิอชควรจะเป็น  $7.2 \pm 0.2$  นิ่งฆ่าเชื้อที่ 121 องศาเซลเซียส ความคัน 15 ปอนด์ ในเวลา

15 นาที

### 2.3 EMB Agar

- Peptone	10.0	กรัม
- Lactose	5.0	กรัม
- Saccharose	5.0	กรัม
- $K_2HPO_4$	2.0	กรัม
- Agar	13.5	กรัม
- Eosin Y	0.4	กรัม
- Methylene blue	0.065	กรัม
- Distilled water	1.0	ลิตร

พิอชควรจะเป็น 7.1 นิ่งฆ่าเชื้อที่ 121 องศาเซลเซียส ความคัน 15 ปอนด์ ในเวลา 15

นาที

3. วิธีการเตรียมอาหารสำหรับห้ามงานพิคัลโลคลิฟอร์นทั้งหมดในน้ำ ด้วยวิธี Multiple tube technique

#### 3.1 EC medium

- Tryptose หรือ typticase	20.0	กรัม
- Lactose	5.0	กรัม
- Bile salt mixture หรือ bile salt No.3	1.5	กรัม
- Dipotassium hydrogen phosphate	4.0	กรัม
- Sodium chloride	1.5	กรัม
- Distilled water	1.0	ลิตร

พิอชควรจะเป็น  $6.9 \pm 0.2$  หลังจาก Sterilization ที่ 121 องศาเซลเซียส เป็นเวลา 15 นาที อาหารนี้จะอยู่ในทดสอบพร้อมทดสอบคัลเก็ต

4. วิธีการเตรียมอาหารสำหรับห้ามงานพิคัลสเตรบ์โพโคคัสทั้งหมดในน้ำ ด้วยวิธี Multiple tube technique

#### 4.1 Azide dextrose broth

- Beef extract	4.5	กรัม
----------------	-----	------

- Tryptone or polypeptone	15.0	กรัม
- Glucose	7.5	กรัม
- Sodium chloride	7.5	กรัม
- Sodium azide	7.5	กรัม
- Distilled water	0.2	ลิตร

พิอุชควรจะเป็น 7.2 หลังจาก Sterilization

#### 4.2 Pfizer selective enterococcus (PSE) agar

- Peptone C	17.0	กรัม
- Peptone B	3.0	กรัม
- Yeast extract	5.0	กรัม
- Bacteriological bile	10.0	กรัม
- Sodium chloride	5.0	กรัม
- Sodium citrate	1.0	กรัม
- Esculin	1.0	กรัม
- Ferric ammonium citrate	0.5	กรัม
- Sodium azide	0.25	กรัม
- agar	15.0	กรัม
- Distilled water	1.0	ลิตร

พิอุชควรจะเป็น 7.1 หลังจาก Sterilization

### 2. วิธีการตรวจหาปริมาณเชื้อนิคต่าง ๆ ที่ไม่ได้ใช้ในการวิจัย

- การตรวจหาปริมาณแบคทีเรีย ตามวิธี Standard Method for the Examination of Water and Waste water ของ American public health association นั้นมี 3 วิธี คือ
  - Pour plate method หรือ Standard plate method
  - Spread plate method เป็นวิธีที่เลือกใช้ในการวิจัย จะไม่กล่าวถึงในที่นี้
  - Membrane filter method

### 1.1 Pour plate method หรือ Standard plate method

#### อุปกรณ์

1. Melted plate count agar 15 ml	6 หลอด
2. Sterile phosphate buffered solution 90 ml	1 ขวด
3. Sterile phosphate buffered solution 9 ml	4 หลอด
4. Sterile pipette 10 ml	1 อัน
5. Sterile pipette 1 ml	7 อัน
6. Sterile petri dish	6 ชาน
7. ตัวอย่างน้ำที่ตรวจ	100 มล.
8. Water bath	

#### วิธีปฏิบัติ

ถ้าเป็นน้ำสกปรกหรือน้ำทิ้ง ทำดังนี้

1. เผย่าตัวอย่างน้ำขึ้นลงประมาณ 25 ครั้ง แล้วใช้ปีเพตคูดตัวอย่างน้ำ 10 มล. ใส่ลงใน phosphate buffered solution 90 มล. เผย่าให้เข้ากันหลายครั้งจนจะน้ำจะถูกเชื้อทางลง 10 เท่า เป็น  $10^{-1}$  เท่า
2. ใช้ปีเพตอันใหม่คูณน้ำจากข้อ 1 มา 1 มล. ใส่ในหลอด phosphate buffered solution 9 มล. แล้วเผย่าให้เข้ากันหลาย ๆ ครั้ง ตอนนี้ตัวอย่างน้ำจะเชื้อทางเป็น  $10^{-2}$  เท่า
3. ใช้ปีเพตอันใหม่ทำการเชื้อทางน้ำให้ได้เป็น  $10^{-3}$ ,  $10^{-4}$  และ  $10^{-5}$  ตามลำดับ (การเชื้อทางแต่ละครั้งจะต้องเปลี่ยนปีเพต)
4. เชียนสัญญาณ  $10^{-3}$ ,  $10^{-4}$  และ  $10^{-5}$  บนฝาจานแก้ว ที่ระดับความเชื้อทางละ 2 ชาน
5. เผย่าตัวอย่างน้ำ  $10^{-5}$  หลาบๆ ครั้ง แล้วใช้ปีเพตอันใหม่คูณน้ำใส่ในจานแก้วที่เชียน  $10^{-5}$  จำนวน 1 มล. 2 ชาน
6. เท Melted plate count agar ลงในจาน แล้วหมุนจานไปในทิศทางที่วนเขินนาพิกาและตามเข็มนาฬิกา เพื่อให้ตัวอย่างน้ำผสมกับอาหารกระจายไปทั่วจานเพาะเชื้อ
7. ทำข้ามๆ 5 และ 6 แล้วใช้ตัวอย่างน้ำที่เชื้อทาง  $10^{-4}$  และ  $10^{-3}$

8. เมื่อรู้นึ่งแข็งตัวแล้วแบ่งงานเป็น 2 ชุด เอาเข้า Incubator ที่ 35 องศาเซลเซียส 1 ชุด และ Incubator ที่ 20 องศาเซลเซียส 1 ชุด อบเพาเช่อเมื่อ 24 – 48 ชั่วโมง
9. หลังจากครบกำหนด นำงานอาหารมานับโคลนี โดยเลือกนับงานเพาเช่อที่มีโคลนีอยู่ระหว่าง 30 – 300 โคลนี แล้วคำนวณหาจำนวนแบคทีเรียต่อตัวอย่างน้ำ 1 มล. โดยมีหน่วยเป็น CFU/ml. (CFU = colony forming unit) และบันทึกผลในตาราง

ถ้าตรวจน้ำดื่นให้ทำดังนี้

1. เบย์ตัวอย่างน้ำแล้วทำการเจือจางน้ำดื่นให้เป็น  $10^{-1}$ ,  $10^{-2}$  ตามลำดับ
2. เอียงสัญลักษณ์บนฝ่ามือเพาเช่อเป็น undilute,  $10^{-1}$  และ  $10^{-2}$  ทุกความเจือจางเขียน 2 งาน
3. ใช้ปิเบคันใหม่ถูน้ำที่เจือจาง  $10^{-2}$ ,  $10^{-1}$  และ undilute มาใส่งานเพาเช่องานละ 1 มล. ทุกความเจือจาง ทำ 2 งาน
4. เท melted plate count agar ใส่ในงานเพาเช่อ แล้วหมุนงานเพื่อให้เชื้อกระจายไปทั่วรูน เมื่อรู้นึ่งแข็งตัวแล้ว Incubate ที่ 35 องศาเซลเซียส เป็นเวลา 24 – 48 ชั่วโมง
5. หลังจากนั้นนำงานมานับโคลนี โดยเลือกนับงานที่มีโคลนีขึ้นระหว่าง 30 – 300 โคลนี แล้วคำนวณหาจำนวนแบคทีเรียต่อ ml บันทึกผล

1.4 การตรวจหาจำนวนแบคทีเรียทั้งหมดด้วยวิธี membrane filter การตรวจหาจำนวนแบคทีเรียด้วยวิธีนี้ จะต้องกรองน้ำที่จะตรวจผ่านแผ่นกรองที่มีรูขนาด 0.45 ไมโครเมตร แบคทีเรียจะติดอยู่ที่แผ่นกรองแล้วนำไปวางบนอาหารเดี้ยงเชื้อ แบคทีเรียจะแบ่งตัวเพิ่มจำนวนเป็นโคลนีให้เห็นบนแผ่นกรอง แล้วนับจำนวนโคลนีนั้น ๆ สำหรับวิธีนี้ไม่ควรใช้กับน้ำที่มีภูมิคุ้มกันมากหรือมีตะกอนมาก เพราะตะกอนจะอุดตันรูแผ่นกรอง ทำให้การกรองลำบาก และอาจทำให้จำนวนโคลนีผิดพลาดไปได้ นอกจากนี้จำนวนแบคทีเรียในน้ำไม่ควรเกิน 200 โคลนีต่อแผ่นกรอง (ปกติมักให้อยู่ระหว่าง 20 – 200 โคลนี) ถ้าเชื้อมากกว่านี้จะต้องเจือจางน้ำที่กรอง

อุปกรณ์

1. เครื่องกรองน้ำพร้อมแผ่นกรองที่ปราศจากเชื้อ	1 ชุด
2. m-HPC agar	1 งาน
3.. Forceps	1 อัน
4. Sterile distilled water 30 ml.	2 หลอด
5. น้ำที่จะตรวจ 100 ml.	1 ขวด

#### วิธีปฏิบัติ

- จัดชุดเครื่องกรองให้เรียบร้อยแล้วปิดเครื่องคุณภาพ เทตัวอย่างน้ำที่จะตรวจลงไป (ปริมาณที่ใช้จะต้องมีจำนวนแบคทีเรียไม่เกิน 200 โคลoniต่อแผ่นกรอง)
- เมื่อกรองน้ำแล้วถอดเท่านักลั่นถังกรวยเพื่อจะแบคทีเรียที่ติดที่กรวยให้ลงในอยู่บนแผ่นกรอง ทำซ้ำ 2 ครั้ง
- ปิดเครื่องคุณภาพ เปิดกรวยแล้วใช้ forceps ที่ข่าเรือแล้วหยับแผ่นกรองไปวางบนอาหาร m-HPC แล้ว Incubate ที่ 35 องศาเซลเซียส เป็นเวลา 48 ชั่วโมง
- ทำซ้ำข้อ 1 – 3 แต่ครั้งนี้จะ incubate ที่ 20 องศาเซลเซียส เป็นเวลา 48 ชั่วโมง
- เมื่อครบ 48 ชั่วโมง เอาajanพะเขื่อนานับโคลoniบนแผ่นกรองโดยใช้กล้องชุลทรรศน์ Stereo ที่มีกำลังขยาย 10 – 15 เท่า แล้วคำนวณจำนวนเชื้อต่อน้ำ 1 มล. แล้วบันทึกผล

หมายเหตุ : ถ้าน้ำสกปรกจะต้องทำการเชือจางน้ำก่อนจะกรอง ในที่นี้ควรใช้ dilution เพื่อเดียวกับวิธีที่ผ่านมา

#### 2. วิธีการตรวจหาจำนวนโคลิฟอร์มทึ่งหนดในน้ำ

การตรวจหาโคลิฟอร์มในน้ำมีด้วยกัน 2 วิธีด้วยกัน คือ

##### 2.1 Multiple tube technique ซึ่งประกอบด้วย 3 ขั้นตอน คือ

2.1.1 Presumptive test

2.1.2 Confirmed test

2.1.3 Completed test

ผู้วิจัยได้เลือกวิธีนี้ในการวิเคราะห์ จึงไม่ได้กล่าวรายละเอียดในที่นี้

##### 2.2 Membrane filter technique

การตรวจหาโคลิฟอร์มในน้ำที่ใส และมีจำนวนแบคทีเรียอยู่น้อย อาจใช้วิธี membrane filter technique ได้ เพราะสามารถใช้ตัวอย่างน้ำมาก ๆ ได้ และสามารถดูผลเร็วกว่าวิธี MPN สำหรับวิธีนี้จะเอาตัวอย่างน้ำที่ทราบปริมาตรแน่นอนไปกรองผ่านแผ่นกรองที่มีรูขนาด 0.45 ไมโครเมตร ซึ่งมีขนาดเล็กกว่าแบคทีเรีย แบคทีเรียจะติดอยู่บนแผ่นกรอง หลังจากนั้นนำแผ่นกรองไปวางบนอาหารเตี้ยงเชื้อ และนับโคลoni ที่ขึ้นบนแผ่นกรอง แล้วคำนวณหาเชื้อใน 100 มล. อย่างไรก็ได้การใช้วิธีนี้จำนวนโคลิฟอร์มทั้งหมดจะต้องอยู่ระหว่าง 20 – 80 โคลoni ต่อแผ่น ถ้ามีเชื้อมากกว่านี้จะต้องเจือจางน้ำก่อน

#### อุปกรณ์

1. เครื่องกรองน้ำพร้อมแผ่นกรองที่ปราศจากเชื้อ	1 ชุด
2. Endo – media	1 ชาน
3. น้ำที่จะตรวจ 100 มล.	1 ขวด
4. น้ำกลั่นที่ปราศจากเชื้อ 30 มล.	1 หลอด
5. Forceps	1 อัน
6. ปิกกอร์บาร์จุและกอชอร์ 90 %	1 ใบ

#### วิธีปฏิบัติ

- จัดชุดเครื่องกรองให้เรียบร้อย พร้อมทั้งเปิดเครื่องดูดอากาศ
- เห็น้ำที่จะตรวจลงไว้ในกรวย ถ้ามีน้ำคือนำมาเทให้ตัวอย่างน้ำ 100 มล. ถ้ามีน้ำในแม่น้ำหรือน้ำตกปูร์ฟร์ให้ใช้ปริมาตรตามตาราง (วิถาวัฒ์ และคณะ 2533)
- เมื่อเครื่องกรองเสร็จแล้วให้ใช้น้ำกลั่นที่ปราศจากเชื้อเหล้างร่วง เพื่อให้เชื้อที่ติดอยู่ข้างกรวยลงไปติดแผ่นกรอง เมื่อเสร็จแล้วจึงปิดเครื่องดูดอากาศ และปิดเครื่องกรอง
- ใช้ Forceps ที่มีเชื้อแล้วจับแผ่นกรองไปวางบนอาหาร Endo และ Incubate ที่ 35 องศาเซลเซียส เป็นเวลา 24 ชั่วโมง
- เมื่อครบกำหนด นำมาดูแล ตรวจดูโคลoni ที่มีลักษณะเป็นโคโลฟอร์มแล้วนับโคลoni คำนวณเป็นโคลoni ต่อ 100 มล. แล้วบันทึกผล
- การตรวจหาจำนวนพิคัลโคลิฟอร์มทั้งหมดในน้ำ

การตรวจหาพิคัลโคลิฟอร์ม ทำได้ 2 วิธี หนึ่งการตรวจโคลิฟอร์ม คือ

### 3.1 วิธี Multiple tube technique ซึ่งเป็นวิธีที่เลือกใช้ในการวิจัยครั้งนี้

#### 3.2 วิธี Membrane filter technique

การตรวจหาเชื้อ fecal coliform โดยวิธี membrane filter นั้น จะกรองน้ำผ่านแผ่นกรอง แบคทีเรียที่มีรูขนาด 0.45 ไมโครเมตร แล้วจึงนำไปวางบนอาหารเดียบเชื้อที่อุณหภูมิ 44.5 องศาเซลเซียส แต่วิธีนี้จะต้องมีจำนวนเชื้อฟิล์เตอร์ไม่ควรเกิน 20–60 โคโลนีต่อแผ่นกรอง ถ้าจำนวนเชื้อมากกว่านี้ทำเป็นจะต้องทำให้น้ำเจือจาง หรือจะใช้ปริมาณน้ำที่จะกรองตามแหล่งน้ำ จากค่าว่าย่างตามตารางที่ 6-1 ใน (วิตรายบัญชี และคณะ 2533)

#### อุปกรณ์

1. เครื่องกรองน้ำพรมแฝ่นกรองที่ปราศจากเชื้อ	1 ชุด
2. MFC agar	1 ขัน
3. forceps	1 อัน
4. แอลกอฮอล์ 90%	1 ปีกกรร
5. น้ำที่จะตรวจ 100 มล.	1 ขวด
6. น้ำกลั่นที่ปราศจากเชื้อ 30 มล.	1 หลอด

#### วิธีปฏิบัติ

1. จัดชุดเครื่องกรองให้เรียบร้อย และเปิดเครื่องดูดอากาศ
2. เทน้ำที่จะตรวจ 100 มล. ลงไว้ในกรวย
3. เมื่อกรองเสร็จแล้ว เทน้ำกลั่นที่ปราศจากเชื้อถังกรวย แล้วจึงปิดเครื่องดูดอากาศ
4. ใช้ปากคีย์ที่ผ่าเชือดแล้วขันแผ่นกรองวางบนอาหาร MFC agar ปิดฝาแทนให้สนิท และใส่ในถุงพลาสติกเพื่อกันไม่ให้น้ำเข้า (หรือใส่ในกระป่องสำหรับใส่จานเดียว เชื้อ) แล้ว incubate ใน water bath ที่ 44.5 องศาเซลเซียส เมื่อเวลา 24 ชั่วโมง
5. เอาจานแก้วออกจาก water bath แล้วนำมาน้ำน้ำโคลนีของฟิล์เตอร์ที่จะมีสีน้ำเงินและบันทึกผลการทดลอง

### 4. การตรวจหา ฟิล์เตอร์ป่าโคคัลลัสทึ่งหนนคในน้ำ

การตรวจหาจำนวนฟิล์เตอร์ป่าโคคัลลัสทึ่งหนนคในน้ำ มี 2 วิธี คือ

#### 4.1 Multiple tube technique ซึ่งเป็นวิธีที่ผู้จัดเลือกใช้ในการวิจัยครั้งนี้

#### 4.2 Membrane filter technique

การตรวจหา ฟิล์เตอร์ป่าโคคัลลัสทึ่งหนนคโดยวิธีการกรองน้ำ จำนวนเชื้อฟิล์เตอร์ป่าโคคัลลัสไม่ควรเกิน 20-100 โคโลนีต่อแผ่น ถ้าจำนวนเชื้อมากกว่านี้ควรจะต้องเจือจาง

น้ำดง ปกติปริมาณน้ำที่ใช้กรองตั้งแต่ 100 – 10 , 1 , 0.1 หรือ 0.01 มล. แล้วแต่ความสกปรกของน้ำ

#### อุปกรณ์

- |   |          |
|---|----------|
| 1. เครื่องกรองน้ำพร้อมแผ่นกรองที่ปราศจากเชื้อ | 1 ชุด    |
| 2. KF streptococcus agar                      | 1 งาน    |
| 3. forceps                                    | 1 อัน    |
| 4. แอลกอฮอล์ 90%                              | 1 ปีกgor |
| 5. น้ำเกลี้ยงที่ปราศจากเชื้อ 20 มล.           | 1 หลอด   |
| 6. ตัวอย่างน้ำที่จะตรวจ                       |          |

#### วิธีปฏิบัติ

1. จัดชุดเครื่องกรองให้เรียบร้อย และเปิดเครื่องดูดอากาศ
2. เทน้ำที่จะตรวจลงในกรวย เมื่อกรองเสร็จแล้ว เทน้ำเกลี้ยงที่ปราศจากเชื้อ ล้างกรวย จนกรองน้ำใสเรียบร้อย แล้วจึงปิดเครื่องดูดอากาศ
3. ใช้ปากศีบีที่ข่าเชื้อแล้วจับแผ่นกรองวางบนอาหาร KF streptococcus ปิดฝาแล้ว อบเพาเวอร์ที่ 35 องศาเซลเซียส เป็นเวลา 48 ชั่วโมง
4. เมื่อครบ 48 ชั่วโมง ตรวจดูผล ถ้ามีฟิล์มสีแดงป่าคือคัดสังเ恨์โคลนีเป็นสีแดงเข้ม (dark red) หรือเขียว นับโคลนีและบันทึกผล

## ภาคผนวก ฯ.

### การบันทึกและเปลี่ยนพีอีน

บันทึกผลจำนวนหลอดค์ที่ให้ผลบวกในการตรวจวิเคราะห์ขั้นต้น ขึ้นอีนมันหรือขึ้นสมบูรณ์ แล้วนำมาเทียบกับตารางอีนมีอีน ก็จะได้ค่าดัชนีอีนมีอีนต่อ 100 มล. ของตัวอย่างน้ำที่ตรวจวิเคราะห์ ตารางที่ 1 ใช้เทียบหาค่าเมื่อปริมาณน้ำที่ใช้ตรวจคระห์เป็น 10, 1 และ 0.1 มล. ในระบบ 5 หลอด ถ้าหากปริมาณน้ำที่ใช้ตรวจเป็นสัดส่วนเพิ่มขึ้นหรือลดลงจากที่ตารางได้กำหนดไว้ ก็ให้คูณด้วยค่าสัดส่วนที่เพิ่มขึ้นหรือลดลง เช่น ถ้าปริมาณน้ำที่ตรวจเป็น 100, 10 และ 1 มล. แล้วค่าอีนมีอีนที่ได้จากตารางจะต้องคูณด้วย 0.1 หรือ ในทางตรงกันข้าม ถ้าหากปริมาณน้ำที่ตรวจเป็น 1, 0.1 และ 0.01 มล. แล้ว ค่าอีนมีอีนที่ได้จากตารางจะต้องคูณด้วย 10 ซึ่งจะเป็นค่าอีนมีอีนที่แท้จริงของตัวอย่างน้ำที่ทำการวิเคราะห์

ตารางที่ 1 แสดงค่าคัดน้ำอิมพีเรียน และความเชื่อมั่น 95 % ของหลอดที่ให้ผลบวก เมื่อใช้ระบบ 5 หลอด ของน้ำตรวจวิเคราะห์ 10 มล., 1.0 มล. และ 0.1 มล.

จำนวน หลอดที่ให้ ผลบวก	ตัวน้ำ MPN/100 ml.	ระดับความเชื่อมั่น 95 %		จำนวน หลอดที่ให้ ผลบวก	ตัวน้ำ MPN/100 ml.	ระดับความเชื่อมั่น 95 %	
		ต่ำกว่า	สูงกว่า			ต่ำกว่า	สูงกว่า
0-0-0	<2	-	-	4-3-1	27	12	67
0-0-1	2	1.0	10	4-3-1	33	15	77
0-1-0	2	1.0	10	4-4-0	34	16	80
0-2-0	4	1.0	13	5-0-0	23	9.0	86
1-0-0	2	1.0	11	5-0-1	30	10	110
1-0-1	4	1.0	15	5-0-2	40	20	140
1-1-0	4	1.0	15	5-1-0	30	10	120
1-1-1	6	2.0	18	5-1-1	50	20	150
1-2-0	6	2.0	18	5-1-2	60	30	180
2-0-0	4	1.0	17	5-2-0	50	20	170
2-0-1	7	2.0	20	5-2-1	70	30	210
2-1-0	7	2.0	20	5-2-2	90	30	250
2-1-1	9	3.0	24	5-3-0	80	30	250
2-2-0	9	3.0	25	5-3-1	110	40	300
2-3-0	12	5.0	29	5-3-2	140	60	360
3-0-0	8	3.0	24	5-3-3	170	80	410
3-0-1	11	4.0	29	5-4-0	130	50	390
3-1-0	11	4.0	29	5-4-1	170	70	480
3-1-1	14	6.0	35	5-4-2	220	100	580
3-2-0	14	6.0	35	5-4-3	280	120	690
3-2-1	17	7.0	40	5-4-4	350	160	820
4-0-0	13	5.0	38	5-5-0	240	100	940
4-0-1	17	7.0	45	5-5-1	300	100	1300
4-1-0	17	7.0	46	5-5-2	500	200	2000
4-1-1	21	9.0	55	5-5-3	900	300	2900
4-1-2	26	12	63	5-5-4	1600	600	5300
4-2-0	22	9.0	56	5-5-5	$\geq 1600$	-	-
4-2-1	26	12	65				

## ภาคผนวก ๓.

### 1. วิธีการคำนวณสำหรับการหาค่าปริมาณความเข้มข้นโอโซน

ในการหาค่าความเข้มข้นโอโซนสำหรับการวิจัยครั้งนี้ได้เลือกใช้วิธีมาตรฐาน (Moris, 1977) การคำนวณหาค่าความเข้มข้นโอโซน จะมีขั้นตอนเพื่อให้ง่ายในการเข้าใจดังนี้

โดยเริ่มจากการที่ผู้วิจัยได้ใช้สารละลายที่เตรียมได้นี้จะมีสีใส จำนวน 50 มิลลิลิตร ใน การให้ก๊าซโอโซนผ่านลงไปสัมผัส ซึ่งจะทำให้มีการเปลี่ยนแปลงเกิดขึ้น แล้วผู้วิจัยจะนำสาร ละลายที่ได้นี้ไปวัดค่า Absorbance ด้วยเครื่อง UV spectrometer ที่ความยาวคลื่น 352 นาโนเมตร เมื่อได้ค่า Absorbance มาแล้วจะนำไปแทนในกราฟมาตรฐานที่ได้ทำไว้ก่อนที่จะทำการทดลอง จากกราฟมาตรฐานจะได้ค่าความเข้มข้นของโอโซน ในหน่วย จากตรงนี้ผู้วิจัยจะการคำนวณต่อไปดังนี้

$$\frac{\mu\text{mole } O_3}{25\text{ml.}} \times \frac{1000}{1} \frac{\text{ml}}{\text{l}} \Rightarrow \frac{\mu\text{mole } O_3}{\text{l}}$$

ทำให้เป็น ไมโครกรัม ต่อลิตร

$$\frac{\mu\text{mole } O_3}{\text{l}} \times \frac{48\text{g}}{\text{mole}} \Rightarrow \frac{\mu\text{g } O_3}{\text{l}}$$

ทำให้เป็น ไมโครกรัม ต่อลิตร

$$\frac{\mu\text{g } O_3}{\text{l}} \times \frac{50}{1000} \text{l} \Rightarrow \text{g } O_3$$

ทำให้เป็น มิลลิกรัมโอโซน

$$\mu\text{g } O_3 \div 1000 \Rightarrow \text{mg } O_3$$

ค่าที่ได้นี้จะเป็นสัดส่วนกับเวลาการสัมผัสนานระหว่างก๊าซโอโซนกับสารละลายด้วย

## 2. วิธีการคำนวณหาอัตราเปลี่ยนต่อการเปลี่ยนออกซิเจนไปเป็นไอโอดิน

ภาวะมาตรฐานของแก๊ส ที่อุณหภูมิและความดันมาตรฐาน (STP, 0 C และ 1 atm) จะมีความสัมพันธ์ คือ 1 โมล ของแก๊สใดๆ จะมีปริมาตรเท่ากับ 22.4 ลิตร หรือ 0.0224 ลูกบาศก์เมตร ( $m^3$ ) จากความสัมพันธ์ของ Ideal gas

$$PV = nRT \quad (1)$$

จะได้ว่า

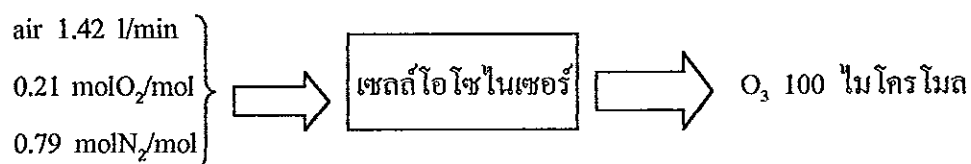
$$\frac{PV}{P_s V_s} = \frac{nT}{n_s T_s} \quad (2)$$

ตัวท้าย s หมายถึง ภาวะมาตรฐาน

อัตราเร้อยละการเปลี่ยนแปลง (%conversion)

$$\% \text{ conversion} = (\text{จำนวน โมลที่ทำปฏิกิริยา} / \text{จำนวน โมลที่ป้อนเข้า}) * 100$$

ตัวอย่าง ถ้าอัตราการไหลของอากาศ = 1.42 ลิตรต่อนาที (lpm),  $T = 29$  C, 1 atm ลูกปืนเข้าเครื่องผลิตไอโอดิน จงหา อัตราการไหลเชิงโมลของอากาศ และ อัตราการเปลี่ยนออกซิเจนไปเป็นไอโอดิน หากผลิตไอโอดินได้ 100 ไนโตรโมล



จากสมการ (2) จะได้

$$\begin{aligned} n_{\text{air}} &= PVn_s T_s / P_s V_s T \\ &= (1 \text{ atm})(1.42 \text{ l/min})(1 \text{ mol})(273 \text{ K}) / (1 \text{ atm})(22.4 \text{ l})(302 \text{ K}) \\ &= 0.0573 \text{ mol/min} \end{aligned}$$

พิจารณาปฏิกิริยาที่ทำให้เกิดไอโอดีน ดังนี้



จากปฏิกิริยานี้แสดงว่า ออกรชีเจน 1.5 โมล สามารถผลิตไอโอดีนได้ 1 โมล  
ดังนั้น หากต้องการผลิตไอโอดีนให้ได้ 100 ไมโครโมล ออกรชีเจนที่ใช้ในการทำปฏิกิริยา =  $1.5 \times 100 \times 10^{-6}$  และเนื่องจากกระแสที่ใช้มีอุปทานเป็นอากาศ ซึ่งมีออกรชีเจน 21% และในโทรศัพท์ 79% แต่ต้องการอุปทานที่จะเป็นตัวที่ทำให้เกิดไอโอดีน ดังนั้นจำนวนโมลของอุปทานที่มีอยู่ =  $0.21 \times 0.0573$

$$\begin{aligned} \% \text{ conversion} &= (1.5 \times 100 \times 10^{-6} / 0.21 \times 0.0573) \times 100 \\ &= 1.246 \% \end{aligned}$$

### 3. การคำนวณหาค่าสถานะลดลง $E/n_{\text{air}}$

พิจารณาที่อุณหภูมิ 25 องศาเซลเซียส ความหนาแน่นอากาศ เท่ากับ  $1.1864 \text{ kg/m}^3$   
ทำการเปลี่ยนหน่วยให้เป็นหน่วย  $\text{g/cm}^3$  เพื่อให้ง่ายในการคำนวณต่อไป

จากตารางมาตรฐานทราบว่า น้ำหนักโมเลกุลของอากาศ เท่ากับ 29 g/mole  
คำนวณต่อไปจะได้

$$\frac{1.186 \times 10^{-3} \text{ g/cm}^3}{29 \text{ g/mole}} = 0.0409 \times 10^{-3} \frac{\text{mole}}{\text{cm}^3}$$

$$\begin{aligned} \text{ความหนาแน่นอากาศ} &= 4.09 \times 10^{-5} \text{ mole/cm}^3 \\ \text{อากาศ } 1 \text{ mole} &= 6.02 \times 10^{23} \text{ อนุภาค} \\ \text{จะได้ความหนาแน่นของอากาศ} &= 4.09 \times 10^{-5} \times 6.02 \times 10^{23} (\text{mole/cm}^3)(\text{อนุภาค/โมล}) \\ &= 24.62 \times 10^{18} \text{ อนุภาค - cm}^3 \\ &= 2.46 \times 10^{19} \text{ อนุภาค - cm}^3 \end{aligned}$$

ดังนั้น ความหนาแน่นของอากาศ ( $n_{\text{air}}$ ) =  $2.46 \times 10^{19} \text{ อนุภาค - cm}^3$

ในระบบการทำไนโตรอีโอดีนเลือกใช้สถานที่ไฟฟ้า ( $E$ ) เท่ากับ  $32.24 \times 10^3 \text{ V/cm}$

เราจึงหาค่าสถานะลดลง (reduced field)  $E/n_{\text{air}}$  ได้จาก

$$E/n_{air} = \frac{32.24 \times 10^3}{2.46 \times 10^{19}} \frac{V}{cm \cdot cm^{-3}}$$

$$= 13.10 \times 10^{-16} V \cdot cm^2$$

สามารถเปลี่ยนหน่วย  $E/n_{air}$  ให้ไปเป็น Td จาก

$$10^{-17} V \cdot cm^2 = 1 Td.$$

$$13.10 \times 10^{-16} V \cdot cm^2 = \frac{13.10 \times 10^{-16} V \cdot cm^2 \times 1Td.}{10^{-17} V \cdot cm^2}$$

$$\text{ดังนั้น } E/n_{air} = 131.0 Td.$$

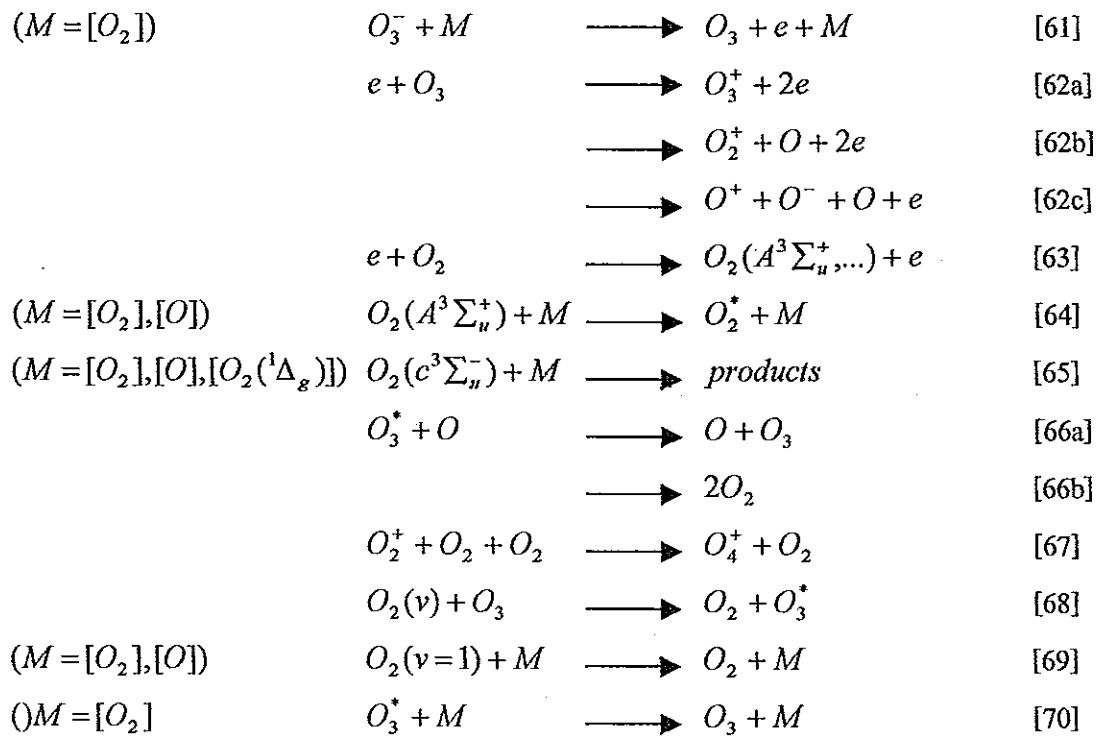
### ภาคผนวก ๔.

ปฏิกิริยานิวเคลียร์ที่เกี่ยวข้องกับการกำเนิดโอโซน (Eliasson et al., 1987)

	$e + O_2 \longrightarrow O_2^+ + 2e$	[1]
	$e + O_2 \longrightarrow O^- + O$	[2]
	$e + O^- \longrightarrow O + 2e$	[3]
$(M = [O_2])$	$O^- + M \longrightarrow O + M + e$	[4]
	$O^- + O \longrightarrow O_2 + e$	[5]
	$O^- + O_2^+ \longrightarrow O + O_2$	[6]
	$e + O_2 \longrightarrow O(^3P) + O(^3P) + e$	[7a]
	$e + O_2 \longrightarrow O(^3P) + O(^1D) + e$	[7b]
	$e + O_3 \longrightarrow O + O_2 + e$	[8a]
	$e + O_3 \longrightarrow O(^1D) + O_2(^1\Delta_g) + e$	[8b]
$(M = [O_2], [O], [O_3])$	$O + O_3 + M \longrightarrow O_3 + M$	[9]
$(M = [O_2], [O], [O_3])$	$O_3 + M \longrightarrow O + O_2 + M$	[10]
	$O_3 + O \longrightarrow 2O_2$	[11]
$(M = [O_2], [O])$	$O + O + M \longrightarrow O_2 + M$	[12]
	$e + O_2 \longrightarrow O_2(^1\Delta_g) + e$	[13]
$(M = [O_2], [O], [O_3])$	$O_2(^1\Delta_g) + M \longrightarrow O_2 + M$	[14a]
	$O_2(^1\Delta_g) \longrightarrow O_2 + h\nu$	[14b]
	$O_2(^1\Delta_g) + O_3 \longrightarrow 2O_2 + O$	[15a]
	$O_2(^1\Delta_g) + O_3 \longrightarrow 2O_2 + O(^1D)$	[15b]
	$O_2(^1\Delta_g) + O_2 \longrightarrow 2O_3$	[16]
	$e + O_2(^1\Delta_g) \longrightarrow O_2 + e$	[17]
	$O_2(^1\Delta_g) + O \longrightarrow O_3 + e$	[18a]
	$O_2(^1\Delta_g) + O^- \longrightarrow O_2^- + O$	[19]
	$O + O_3 \longrightarrow O_2(^1\Delta_g) + O_2$	[20a]
	$O + O_3 \longrightarrow O_2(^1\Sigma_g^+) + O_2$	[20b]
	$O^- + O_2(^1\Sigma_g^-) \longrightarrow O + O_2 + e$	[21]

	$e + O_2$	$\longrightarrow$	$O_2(^1\Sigma_g^+) + e$	[22]
( $M = [O_2], [O]$ )	$O_2(^1\Sigma_g^+) + M$	$\longrightarrow$	$O_2 + M$	[23a]
	$O_2(^1\Sigma_g^+)$	$\longrightarrow$	$O_2 + h\nu$	[23b]
	$e + O$	$\longrightarrow$	$O^+ + 2e$	[24]
	$e + O_2$	$\longrightarrow$	$O^+ + O + 2e$	[25]
	$O^- + O_2$	$\longrightarrow$	$O_2^- + O$	[26a]
	$O^- + O_2$	$\longrightarrow$	$O_3 + e$	[26b]
( $M = [O_2]$ )	$e + O + M$	$\longrightarrow$	$O^- + M$	[27a]
	$e + O + M$	$\longrightarrow$	$O^- + h\nu$	[27b]
	$e + O_3$	$\longrightarrow$	$O^- + O_2$	[28a]
	$e + O_3$	$\longrightarrow$	$O_2^- + O$	[28b]
	$O_3 + \text{wall}$	$\longrightarrow$	<i>products</i>	[29]
( $M = [O_2]$ )	$O^- + O_2^+ + M$	$\longrightarrow$	$O_3 + M$	[30]
( $M = [O_2]$ )	$O^- + O(^1D) + M$	$\longrightarrow$	$O_3 + M$	[31]
	$h\nu + O_3$	$\longrightarrow$	$O(^1D) + O_2(^1\Delta_g)$	[32a]
	$h\nu + O_3$	$\longrightarrow$	$O(^3P) + O_2$	[32b]
( $M = [O_2], [O_3]$ )	$O(^1D) + M$	$\longrightarrow$	$O + M$	[33a]
	$O(^1D)$	$\longrightarrow$	$O + h\nu$	[33b]
	$O(^1D) + O_2$	$\longrightarrow$	$O + O_2(\Sigma_g^+)$	[34a]
	$O(^1D) + O_2$	$\longrightarrow$	$O + O_2(^1\Delta_g)$	[34b]
	$O(^1D) + O_3$	$\longrightarrow$	$2O_2$	[35a]
	$O(^1D) + O_3$	$\longrightarrow$	$O_2 + 2O$	[35b]
	$O(^1D) + O_3$	$\longrightarrow$	$O_2(^1\Delta_g) + O_2$	[35c]
( $M = [O_2], [O], [O_2(^1\Delta_g)]$ )	$e + O_2 + M$	$\longrightarrow$	$O_2^- + M$	[36a]
	$e + O_2$	$\longrightarrow$	$O_2^- + h\nu$	[36b]
( $M = [O_2], [e]$ )	$e + O_2^- + M$	$\longrightarrow$	$O_2 + M$	[37a]
	$e + O_2^-$	$\longrightarrow$	$O + O(^1D)$	[37b]
		$\longrightarrow$	$O + O$	[37c]
( $M = [O_2], [e]$ )	$e + O^- + M$	$\longrightarrow$	$O + M$	[38a]
	$e + O^+$	$\longrightarrow$	$O + h\nu$	[38b]

$(M = [O], [O_2], [O_2(^1\Delta_g)])$	$e + O_2(^1\Delta_g) + M \longrightarrow O_2^- + M$	[39]
	$e + O_2 \longrightarrow O_2(v) + e$	[40]
	$O_2(^1\Sigma_g^-) + O_3 \longrightarrow 2O_2 + O$	[41]
	$2O_2(^1\Delta_g) \longrightarrow O_2(^1\Sigma_g^-) + O_2$	[42a]
	$\longrightarrow 2O_2 + h\nu$	[42b]
	$O_2(^1\Sigma_g^-) + O_2 \longrightarrow 2O_2(^1\Delta_g)$	[43]
	$O_2^- + O^+ + M \longrightarrow O_3 + M$	[44a]
	$O_2^- + O^+ \longrightarrow O + O_2$	[44b]
	$O_2^- + O \longrightarrow O^- + O_2$	[45a]
	$\longrightarrow O_3 + e$	[45b]
$(M = [O_2])$	$O_2^- + O_2^+ + M \longrightarrow 2O_2 + M$	[46a]
	$O_2^- + O_2^+ \longrightarrow 2O_2$	[46b]
	$\longrightarrow O_2 + 2O$	[46c]
$(M = [O_2])$	$O_2^- + M \longrightarrow O_2 + M + e$	[47]
	$O_2^+ + O_3^- \longrightarrow O_2 + O_3$	[48a]
	$\longrightarrow 2O + O_3$	[48b]
	$O_2^- + O_3 \longrightarrow O_3^- + O_2$	[49]
	$O_2^- + O_2(^1\Delta_g) \longrightarrow 2O_2 + e$	[50]
	$O^- + O_3 \longrightarrow O_3^- + O$	[51]
$(M = [O_2])$	$O^- + O_2 + M \longrightarrow O_3^- + M$	[52]
$(M = [O_2])$	$e + O_3 + M \longrightarrow O_3^- + M$	[53]
	$O_3^- + O \longrightarrow 2O_2 + e$	[54a]
	$\longrightarrow O_2^- + O_2$	[54b]
	$e + O_2(^1\Delta_g) \longrightarrow O^+ + O + 2e$	[55]
	$O^+ + O_2 \longrightarrow O_2^+ + O$	[56]
$(M = [O], [O_2])$	$O^- + O^- + M \longrightarrow O_2 + M$	[57a]
	$O^- + O^- \longrightarrow 2O$	[57b]
	$O_2^- + O_2(^1\Sigma_g^+) \longrightarrow 2O_2 + e$	[58]
$(M = [O_2])$	$O^+ + O + M \longrightarrow O_2^+ + M$	[59]
	$O_3^- + O^+ \longrightarrow O_3 + O$	[60]



ภาคผนวก ๗.

俈คเตอร์การเปลี่ยนหน่วย (Converation factor)

$$1 \text{ scfh} = 0.45 \text{ l/min}$$

$$1 \text{ cm}^3 = 10^{-6} \text{ m}^3$$

$$1 \text{ scfh} = \frac{1}{0.02832} \text{ m}^3/\text{h}$$

## ประวัติผู้เขียน

ชื่อ นายธวัฒน์ชัย เทพนวลด

วัน-เดือน-ปีเกิด 21 มีนาคม 2515

วุฒิการศึกษา

ชื่อ นายธวัฒน์ชัย เทพนวลด	ชื่อสถาบัน มหาวิทยาลัยครินทร์วิโรฒ(ภาคใต้)	ปีที่สำเร็จการศึกษา 2536
(วิทยาศาสตร์-พิสิกส์)		

### ผลงานวิจัยและบทความ

- บทความ เรื่อง “การศึกษาระบบพลาสม่าแบบไม่สมดุลสำหรับการนำบัคน้ำดื่ม”  
การประชุมวิชาการวิทยาศาสตร์และเทคโนโลยีแห่งประเทศไทย ครั้งที่ 22 บทคัดย่อ F-03. ปี 2539.
- บทความ เรื่อง “การออกแบบและสร้างระบบพลาสม่าไโอลิฟไนโตรเจนที่ความดันบรรยายกาศ” วารสารสหกิจวิทยาศาสตร์ ปีที่ 20 ฉบับที่ 3 ก.ค. – ก.ย. 2541